

621.51-11  
E 65 e

1996-1929

TÜRKİYE BİLİMSEL ve TEKNİK  
ARAŞTIRMA KURUMU  
MÜHENDİSLİK ARAŞTIRMA GRUBU  
PROJE NO : MAG 597

EKSENEL KOMPRESÖRLER ÜZERİNDE  
DENEYSEL ARAŞTIRMA YAPMAK İÇİN BİR DENEY  
DÜZENİNİN TASARIMI KURULMASI VE GELİŞTİRİLMESİ

PROJE YÜRÜTÜCÜSÜ : Doç. Dr. O. Cahit ERALP  
YARDIMCI ARAŞTIRICI : Ö. Etka HATİP, B.Sc., M.Sc.

621.51-11  
E65e

TÜRKİYE BİLİMSEL ve TEKNİK  
ARAŞTIRMA KURUMU

MÜHENDİSLİK ARAŞTIRMA GRUBU

PROJE NO: MAG 597

EKSENEL KOMPRESÖRLER ÜZERİNDE  
DENEYSEL ARAŞTIRMA YAPMAK İÇİN BİR DENEY  
DÜZENİNİN TASARIMI KURULMASI VE GELİŞTİRİLMESİ

PROJE YÜRÜTÜCÜSÜ: Doç.Dr. O. Cahit ERAKP  
YARDIMCI ARAŞTIRICI: Ö.Etku HATİP, B.Sc., M.Sc.

15/72

## ÖNSÖZ

Çok kademeli eksenel kompresörler, modern uçak endüstrisinin temellerinden olan gaz türbinlerinin önemli bir parçası olduğu kadar; enerji üretim sistemleri, pneumatik taşıma, "pipe line", basınçlı hava sistemleri, havalandırma ve benzeri konularda geniş uygulama sahisi bulmaktadır. Bu konuda temel araştırmalara deneyisel veri ve deneyim ile yararlı olacak bir deney kompresörü, bu konuda yurdumuzda henüz başlamamış olan deneyisel çalışmalara da bir ölçüde öncülük edecektir. Bu çalışmalardan elde edilecek bilgi birikimi, ulusal uçak sanayii atılımında da faydalı olacaktır.

Araştırmacılar projeye destek sağlıyarak gerçekleştirilmesine yardımcı olan TÜBİTAK Mühendislik Araştırma Grubuna teşekkür ederler.

	<u>Sayfa</u>
<b>6. İMALAT TASARIMI VE USULLERİ, MONTAJ</b>	63
6.1 İmalat Tasarımı ve Usulleri	63
6.2 Montaj	69
<b>7. DENEY DÜZENİ VE PERFORMANS DENEYLERİ</b>	73
7.1 Deney Düzeni	73
7.2 Ölçüm Cihazları	75
7.3 Verilerin Değerlendirilmesi	79
7.4 Kademe Performans Parametrelerinin Hesaplanması	82
7.5 Performans Parametreleri	82
7.6 İzlenen Deney Planı	84
7.7 Deneyler ve Deney Sonuçları	85
<b>8. TARTIŞMA SONUÇ VE ÖNERİLER</b>	91
<b>ÖZET</b>	97
<b>SUMMARY</b>	98
<b>KAYNAKLAR</b>	
<b>EK 1 DENEY SONUÇLARI</b>	
<b>EK 2 İMALAT RESİMLERİ</b>	

## ABSTRACT

Çok kademeli eksenel kompresörlerin tasarımlında bilgi birikimi sağlayacak, bu konuda temel araştırmalara destek olacak deneysel çalışmalar olanak sağlayacak dört kademeli bir eksenel kompresör aerodinamik ve mekanik olarak tasarımlanmış ve imal edilmiştir. Bu kompresörün özelliği, imalat ve kullanım açısından kolay, ancak bir çok tasarım parametresinin değiştirilebilmesine olanak sağlıyor olmasıdır. Böylece kademe sayısı, kanatçıklar, sayı ve konumları, kanatçık açıları, giriş ve çıkış koşulları, ve kompresör hızı değiştirilebilmekte ve bu faktörlerin performansa etkilerinin incelenmesine olanak sağlanmaktadır. Ayrıca bir deney kompresörü olarak tasarımlanması nedeni ile ölçüm sistemlerinin kurulması ve uygulanmasına, endüstriyel amaçla imal edilmiş bir kompresöre göre çok fazla imkan sağlamaktadır.

İmal edilen kompresör üzerinde yapılan performans deneyleri, tasarıma uygun sonuçlar vermiştir. Çalışma noktasına isabet eden ve performansı etkileyen bir kanatçık ayrışması (stall) olayının hava alığı ve giriş kanallarından kaynaklandığı tesbit edilmiş ve bu konuda tedbirler alınmıştır.

## ABSTRACT

A multistage axial test compressor is designed and constructed to promote the knowhow in this field and to make an experimental study possible. The four stage compressor is designed to be of simple construction, suitable for various experiments, running without any difficulty; as well as the design and construction, permitting many of the design parameters to be varied during the experiments. As a result, the number of stages (maximum four), blades, their number and positioning, blade angles, inlet and exit flow conditions and the compressor speed could be varied, making a study of these parameters and their effect on the compressor performance possible. Since compressor is built as a test compressor, it is very convenient to set up an instrumentation, monitoring and data acquisition system, compared to an industrial compressor.

The performance tests carried out, show satisfactory results compared to the design point. At the operating point, a stall is observed at the first stage, probably onset due to distorted in flows from the bellmouth and inlet duct assembly. Measures are taken and being carried out.

## TABLOLAR

<u>Tablo No</u>	<u>Sayfa</u>
4.1 Serbest Vortex Kanatçıklar İçin Hava Açılarının Radyal Dağılımı	18
4.2 GYK Hava Açıları	19
4.3 Rotor Kanatçık Açıları	23
4.4 Stator Kanatçık Açıları	23
4.5 Giriş Yönlendirici Kanatçık (GYK) Açıları	24
4.6 C4 ve NACA 65 A10 Kanatçık Kalınlık Dağılımları	31
7.1 Basınç Ölçümleri İçin Gösterim	83

## ŞEKİLLER

<u>Şekil No</u>	<u>Sayfa</u>
4.1 Ortalama Yarıçapta Kademe Hesapları İçin Akış Şeması	11
4.2 Tasarımılanan Kompresörün, Kademe Hız Üçgenleri	16
4.3 Hava Açılarının Radyal Dağılımı	18
4.4 Kanatçık ve Açıklığı Kayıpları	26
4.5 Kambur Çizgisinin ve Kirişin Basit Geometrisi	30
4.6 Rotor Kanatçığı Profili	32
4.7 Stator Kanatçığı Profili	33
4.8 GYK Profili	34
5.1 Bileziklerin Değişik Birleşmelerle Takılması ile Elde Edilen Kademe Aralıkları	36
5.2 Kanatçık Dibi Bağlantısı İçin Basitleştirilmiş Bir Yaklaşım	41
5.3 Rotor Kanatçığı Mukavemet Analizi	42
5.4 Kaburgalar Üzerinde Tipik Yük Dağılımı	57
5.5 Basitleştirilmiş Kaburga Kesit Geometrisi	58
5.6 Kaburgaların Mukavemet Analizi	59
6.1 Rotor Kanatçık Modeli	64
6.2 Stator Kanatçık Modeli	64
6.3 GYK, Rotor ve Stator Kanatçıklarının Bakır Elektrodları	66
6.4 GYK İçin Enjeksiyon Kalıbı	66
6.5 Rotor Kanatçığı İçin Enjeksiyon Kalıbı	67
6.6 Stator Kanatçığı İçin Enjeksiyon Kalıbı	67
6.7 Rotor Kanatçıklarının Açılarının Ayarlanması İçin Geliştirilen Bağlama Aparatı	70
6.8 Tasarımılanan Eksenel Akışlı Kompresörün Montaj Resmi	72
7.1 Deney Düzeninin Genel Görünüsü	73
7.2 Motor ve Kopp Varyatör	74
7.3 Pitot Tüplerinin Radyal ve Çevresel Konumları	76
7.4 Kompresör Gövdesindeki Statik Basınç ve Sıcaklık Ölçüm Uçlarının Çevresel Konumları	77
7.5 Sıcaklık ve Basınç Ölçümlerinin Eksenel Durumları	78

<u>Şekil No</u>	<u>Sayfa</u>
7.6 Her Eksenel Konumdaki Statik Uçların Manometre Bağlantısı	80
7.7 Thermopile Bağlantısı	80
7.8 Kompresörün Performans Haritası	87
7.9 Kompresörün Boyutsuz Karakteristiği	88
7.10 Kademe Performansları	89
7.11 İlk Kademenin Karakteristiği	90

## SEMBOLLER

- a kanatçığın kamburunun maksimum olduğu noktanın kanatçık ucundan uzaklığı
- A kesit alanı
- c kiriş boyu
- $c_p$  sabit basınçta özgül sıcaklık katsayısı
- $c_D$  öteleme katsayısı
- $c_{Dp}$  şekli ötelenme katsayısı
- $c_L$  kaldırma katsayısı
- $c_{DS}$  ikincil akış için ötelenme katsayısı
- $c_{Da}$  çevresel kayıplar için ötelenme katsayısı
- d çap
- F kuvvet
- h halka genişliği
- i geliş açısı
- I atalet momenti
- k Özgül sıcaklık katsayılarının oranı
- M moment
- m kütle debisi
- N kademe sayısı
- n kanatçık sayısı
- P basınç
- R kompresörün tüm basınç oranı
- S dayanma sınırı
- s adım
- T sıcaklık, tork

$U$	ortalama yarıçaptaki rotor hızı
$V$	hız
$W$	açışal hız
$\rho$	yoğunluk
$\eta$	verim
$\alpha$	mutlak hava açısı
$\beta$	bağıl hava açısı
$\delta$	sapma açısı, eğilim
$\xi$	duruş açısı
$\theta$	kambur açısı
$\lambda$	tepki (reaksiyon) derecesi
$\lambda$	yapılan iş faktörü
$\epsilon$	dönüş açısı
$\mu$	sürtünme katsayısı
$\varpi$	basınç kayibi
$\sigma$	gerilim
$\phi$	akış katsayısı
$\psi$	kademe yüklenme katsayısı

### İndisler

$a$	eksenel yön
$\gamma$	kanatçık açısı
$t$	teğetsel yön
$S$	kademe
$d$	dış çapta
$m$	ortalama yarı çapta
1.	giriş
2.	çıkış

o durulma durumu

θ teğetsel yön

th teorik değer

## BÖLÜM 1

### GİRİŞ

#### 1.1 KAPSAM VE AMAÇ

Eksenel akışlı kompresörler, uçak jet motorlarında, elektrik enerjisi üretimiinde ve havalandırma sistemlerinde kullanılırlar. Eksenel akışlı bir kompresörden beklenen yüksek verim, birim giriş alanına düşen yüksek debi kapasitesi ve çok kademedede sağlanabilen yüksek basınç artışıdır. Geometrik olarak kompresör optimum uzunluk ve ağırlığa sahip olmalıdır. Mekanik tasarımlı ve imalatı güvenilir olmalıdır.

Eksenel kompresörler tasarım ve çalışma şartlarına santrifüj kompresörlerden daha hassastırlar ve halen çözülememiş bir dizi problemleri vardır. Bu doğrultuda, endüstri, araştırma merkezleri ve üniversitelerde teorik ve deneyel çalışmalar sürdürülmemekte ve sürdürülmelidir.

Son zamanlarda digital bilgisayar teknolojisindeki gelişmeler sonucu teorik hesaplama yöntemlerinde ilerlemeler olmuştur. Kuramsal olarak incelenmemiş problemlerin incelenmesinde, kuramsal sonuçların doğrulanmasında, tasarım parametrelerinin elde edilmesinde ve kuramsal çözümler için gerekli empirik eş-ilişkilerin türetilmesinde deneyel ve kuramsal hesaplama yöntemleri birlikte kullanılmalıdır.

Daha yüksek performans gereksinimi sonucu eksenel akışlı kompresörler üzerindeki araştırmalar önem kazanmıştır. Böylelikle kararsız akışların, ikincil akışların, girişteki akış bozukluklarının, sınır tabaka etkilerinin, kanatçık gövde arasındaki toleransların ve diğer tasarım parametrelerinin kompresör performansına etkisinin incelenmesi, konu hakkında bilgi birikimi sağlamak açısından zorunludur.

ODTÜ Makina Mühendisliği, Akışkanlar Mekaniği Laboratuvarında, bu konuda deneyel araştırmaları başlatmak üzere, çok amaçlı, eksenel akışlı bir deney kompresörüne ihtiyaç vardı. Bu çalışmada, böyle bir

deney kompresörü tasarılanarak imal edildi. Kademe sayısı, kademe ve kanatçık dizini aralıkları, kanatçık duruş açısı ve bu gibi parametrelerin kompresör performansına etkileri araştırılmak üzere değiştirilebilir bir şekilde yapıldı. Bunun yanı sıra kanat tipi ve sıklığı gibi bazı parametrelerde, bazı parçaların yeniden imalatı ile, değiştirilebilir olarak tasarımılandı. Tasarımlanan kompresör kullanılarak tasarım parametresinin performans üzerindeki etkileri ve parametrelerin birbirleri ile karşılıklı etkileşimleri aynı turbomakina üzerinde inceleneciktir. Sınır tabaka, bozuk ve dönel akışlarının giriş koşullarına etkisi, kararsız akışlar ve bu gibi konularda deneysel çalışmaların bu düzenek kullanılarak gerçekleştirilmesi planlanmaktadır.

Kompresörün performansı, içine yerleştirildiği kanallar sistemine bağlı olduğu için, giriş ve çıkış kanallarında akış koşulları değiştirebilecek bir deney düzeneği imal edilmiştir.

## BÖLÜM 2

### KAYNAK ARAŞTIRMASI

Tasarımdan beklenen performansın önceden tahmin edilebilmesi için profil kayiplarının ve sapmaların, iki boyutlu dizinler üzerinde yapılan deneylerle bulunması gereklidir. Bunun yanısıra, kademe ve tam karakteristikler, elde edilen dizin verileri temel alınarak yapılan tahminlerle çıkartılabilir. Bir dizi dengesiz dizin veri eş-ilişkileri son kırk yıldan bu yana çıkartılmaktadır. Howell'in eş-ilişkisi bunlardan ilk göze çarpanıdır [1]. Bu eş-ilişkide Howell, profil tutulma katsayısı ve dönmemi, geliş açısına bağlı olarak ifade etmiştir. Genel tasarım amaçları için ayıurma anındaki sapmayı, minimum kayıptaki sapmanın iki katı olarak tanımlayıp, nominal şartları, ayıurma döneminin % 80'indeki durum olarak tanımlamıştır. Bunun yanısıra nominal dönmemi, nominal çıkış açısı ve adım/kiriş oranının bir fonksiyonu olarak ortaya koymus-tur. Carter [2], optimum geliş açısını, dizinin çalıştığı maksimum kaldırma/tutulma oranına karşılık gelen açı olarak tanımlamıştır. Değişik adım/kiriş oranları için, optimum geliş açısına karşı gelen optimum kambur açılarının eğrilerini vermiştir.

Pekçok sayıda dizin, NACA tarafından denemmiş ve performans haritaları çizilmiştir [3,4]. Adım/kiriş oranı, kanatçık kamburu, hava sapmaları, belirlenmiş kanatçıklar için toplam basınç kayipları ve basınç dağılımları, çeşitli duruş açıları için çeşitli geliş açılarına bağlı olarak bu haritalardan okunabilir. Bu şekiller Horlock [4] tarafından da kullanılmıştır. Leiblein [5] alışılmış düşük hızlı kompresör dizinlerinin kayıp ve ayıurma karakteristiklerini incelemiştir. Genel bir kayıp eş-ilişkisi ortaya koyabilmek için "momentum kalınlığı"nı bir akış parametresi olarak tanımlamıştır. Emme yüzeyindeki hız dağılımının arastırılması, bu yüzeye bulunan geriye akışların, momentum kalınlığına çok etkisi olduğunu ortaya koymustur. "Wake" katsayısını hesap ederek ve iki boyutlu sıkıştırılamaz süreklilik ve momentum denklemlerini kullanarak, "Wake" kuvvetinden, tutulma ve toplam basınç kayipları katsayılarından "Wake"

"momentum kalınlığını" hesaplamıştır. Bu analizde Mach sayısının ve Reynolds sayısının etkileri göz önünde bulundurulmamıştır.

Üç boyutlu akış üzerinde ilk çalışmalar Von Karman ve Whittle tarafından yapılmıştır. Bu çalışmalarda eksenel hız dağılıminin "serbest vorteks" biçiminde olduğu (teğetsel hız ve yarıçapın çarpımının sabit kaldığı) ileri sürülmüş, böylelikle statik basınç değişiminin merkezkaç ivme ile dengelenip radyal denge durumunun sağlandığı ifade edilmiştir. Teğetsel hızın dağılımı çeşitli şekillerle belirlenebilir. Bunlar bir tablo halinde Ref. [4]'de verilmiştir. Hava açılarının radyal dağılım ifadeleri, Ref. [6] ve Ref. [16]'da türetilmiştir. Son zamanlarda yüksek yükseklik/kiriş oranlı (aspect ratio) kanatçıklar için ki bunlarda radyal denge durumu kanat sonuna doğru geçerliliğini kaybetmektedir, "actuator disc" teorisi adı altında yeni bir yöntem geliştirilmiştir [4].

Eksenel akışlı test düzeneğinin ölçüm teçhizatı Horlock tarafından etrafında anlatılmıştır. Dimmock [19] eksenel kompresörler performansını ölçüm yöntemleri ve ölçümlerin redaksiyonunu tanımlamıştır. Sonuçların düzenlenmesinden sonra değişik kompresörlerin birbirleriyle karşılaştırılması mümkün olabilmektedir. Wallis [13] eksenel fanların ticari ve araştırma-geliştirme deneylerini açıklamıştır.

Çeşitli yazarlar eksenel akışlı kompresörler üzerinde yaptıkları araştırmalarla kullandıkları deney metodlarını ve ölçüm cihazlarını anlatmışlardır [20,21,22,23,24].

Jackson ve Yohne [25] tasarım hatalarının kompresör performans parametrelerine ve ölçüm hatalarının performans parametrelerinin hesaplanmış değerlerine etkilerini incelemiştir. Sistematiğ ve açık bir hata analiz yöntemi Abernety ve arkadaşları [38] tarafından verilmiştir.

Dransfield ve Calvert [22], modern türbofan motorlarının orta sıkıştırma ünitesini temsil eden dört kademeli C141 kompresörünü araştırmalarında kullanmışlardır. Eralp [23], Peacock [26,27], Proteus Mark II kompresörünün üç kademeli sabit rotor yarıçaplı versiyonunu, düzensiz akış ve surge durumundaki kompresör performansının incelenmesinde kullanmışlardır. Colpin [28] VKI R-4 kompresörünü, giriş akışındaki bozulmanın kompresör performansına etkisini incelemek için kullanmıştır. Bu

çalışma sonucu üretilen kompresöre benzeyen düşük hızlı, üç kademeli eksenel akışlı bir araştırma kompresörünü Eralp [ 23 ] kullanmıştır. Yukarıda adı geçen kompresörlerin özellikleri Ref. [ 7 ]'de bulunabilir.

## BÖLÜM 3

### KOMPRESÖR TASARIMINA GENEL BAKIŞ

#### 3.1 GİRİŞ

Çok kademeli eksenel kompresörlerin tasarımında bilgi birikimi sağlamak amacı ile, bazı temel tasarım parametrelerinin değiştirilebilmesine planak sağlayacak bir eksenel kompresör, aerodinamik ve mekanik olarak tasarımılmış ve imal edilmiştir.

Tasarımlanan kompresör düşük hızlı olduğu için basit laboratuvar imkanlarında deney yapmaya uygundur. Dört kademe seçimi ile kompresör içindeki sınır tabakanın gelişimini incelemek mümkün olacaktır. Kademeler arası ve kademe içi açıklıkların ve kanat açılarının basitçe ayarlanabilir olması bu parametrelerin incelenmesine olanak sağlayacaktır. Ayrıca değişik sayıda ve kesitte kanatçıkların imali ve uygulanması ile kanat tipi ve sayısının performansa etkisi incelenebilecektir.

Bir eksenel kompresörün performansı, kompresörün geometrik özellikleri ile olduğu kadar, kompresörün bağlı olduğu sistemin özellikleri ile de yakından ilgilidir. Bu nedenle bir deney kompresörünün geometrik özelliklerinin ve giriş ve çıkış koşullarının mümkün olduğunca değiştirilebilir olması istenir.

#### 3.2 TASARIM ÖLÇÜTLERİ

- i) Geometrik Ölçülerin Küçük ve Hafif, Güç Gereksiniminin Sınırlı Olması:

Geometrik ölçülerin küçük olması ve hafiflik, imalat ve montajının bölümümüz imalat atölyesi imkanları ile yapılabilmesi için öngörülmüştür. Aynı zamanda deney düzeninin kurulacağı Akışkanlar Mekanığı Laboratuvarının şartlarına uygunluk göz önünde bulundurulmuştur. Çapın küçük olması

kanatçıklar üzerindeki gerilimlerin yüksek olmaması için gereklidir. Kompresörün çalışabilmesi için gereken güç laboratuvar imkanları içinde temin edilebilir olmalıdır. Ayrıca uzun süreli deneyler yapabilmek için çekilen gücü sınırlamak gereklidir.

ii) Konstrüksiyon ve imalatın Basit, Modüler ve Ucuz Olması:

İmalat ve konstrüksiyonun bölümümüz imkanları ile sınırlı olması basit ve ucuz olmasını gerektirmektedir. Turbomakina imalatı, bilhassa kanatçıkların imalatı açısından, nümerik kontrollü tezgahlar, elektroerozyon, elektrokimyasal işlemler gibi gelişmiş teknolojik metodlar gerektirmektedir ve bu tekniklerden yararlanma imkanı sınırlıdır. Kompresörün imalatı için temin edilen ödeneğin sınırlı olması, ucuzluk kriteri, konstrüksiyon ve imalatın basit olmasını gerektirmektedir. Montaj kolaylığı, bakım ve parametrelerin değiştirilebilme kolaylığı açısından zaman ve yöntem kolaylıklarını sağlama nedeni ile sistemin modüler olması öngörülmüştür.

iii) Geometrisi Üzerinde Değişiklikler Yapılmaya Uygun Olması:

Yapılan çalışmanın amaçlarından biri de tasarım parametrelerinin performansa olan etkisinin incelenmesi için birtakım geometrik parametrelerin kompresör üzerinde değiştirilebilir olması gereklidir. Birinci madde ile sınırlanmış dış boyutlar (çap, genel uzunluk), devir ve güç dışında performans açısından çok önemli olan kademe sayısı, kanatçık sayısı ve tipi, kanatçık húcüm açısı, kanat dizinleri arası mesafeler, kanatçık uç açıklıkları gibi parametrelerin incelenmesi bu konuda bilgi birikimi edinilmesi açısından çok önemlidir. Bu parametrelerin incelenmesi ile daha ilerde imal edilecek kompresörlerin tasarımını açısından bilgi birikimi sağlanacaktır. Değişik tipte kanat profillerinin denenmesi ile, kanat tiplerinin performansa etkisi incelenecektir. Kağıt üzerinde tasarım yapabilecek bilgi birikiminin sağlanması ve kullanılan empirik eşilişkilerin (korrelasyon) doğrulanması çok yararlı olacaktır. Her ne kadar bu parametreler düşük hızlı bir kompresör üzerinde denenmekte ise de bu başlangıç aşamasında yeterli olacaktır. Yukarıda açıklanan nedenlerle, kademe sayısı, kademeler arası mesafeler, kanat dizinleri arasındaki mesafeler, kanatçık sayısı, kanatçık tipi, kanatçık húcüm açısı gibi parametrelerin değiştirilebilir olmasının birer tasarım kriteri olması ön görülmüştür.

iv) Elektrik Motoru Tahrikli ve Deviri Ayarlanabilir Olması:

Deney düzeni laboratuvar içine, özel olarak yalıtılmamış bir bölmeye yerleştirilecektir. Elektrik motoru tahrikli olması, içten yanmalı motorlarla yapılacak bir tahrik sistemindeki meydana gelecek gürültü ve eksoz gazının dışarı atılması sorununu ortadan kaldırması açısından önemlidir. Elektrik motorunun her deney şartında değişen yükle devrinin yaklaşık olarak sabit kalması tercih sebebidir. Diğer bir alternatif olan türbin ve basınçlı hava sisteminin ise şu anda gerçekleştirilebilmesi imkan dışıdır.

Kompresörün her türlü çalışma şartındaki performansının (dağ eğrilerinin) çıkartılması amaçlandığından değişik devirlerde performans tesbiti yapılacaktır. Bunun için elektrik motorunun ya doğru akım veya alternatif akım "slip-ring" tipi olması veya mekanik olarak motor devrinin değiştirilebilmesine imkan vermesi gerekmektedir. Bu deney düzeneinde "Kopp" tipi, mekanik sürekli hız değiştirici kullanılarak 1450 d/d'lik elektrik motoru çıkışında yaklaşık 450-4300 d/d arası hız değişimine imkan verilmektedir.

v) Hem Araştırma, Hem de Eğitim Amacına Uygun Deneysel Çalışmalar Yapılabilen Bir Düzen Olması:

Üzerine yerleştirilecek cihazlarla değişik araştırmaların yanısıra eğitime dönük eksenel kompresör performans deneylerinin kolayca yapılabilmesi öngörülmüştür.

## BÖLÜM 4

### AERODİNAMİK TASARIM

#### 4.1 KOMPRESÖR ÖZELLİKLERİİN BELİRLENMESİ

Tasarımın yapılabilmesi için kompresörden beklenen aerodinamik ve geometrik özellikler, tasarım parametreleri göz önünde bulundurularak, belirlenmiştir. Nominal tasarım hızını belirleyici faktör elde bulunan mekanik hız varyatörü olmuştur. Bu varyatörün çıkış devri 450 d/d ile 4200 d/d arasındadır ve nominal tasarım hızı 3000 d/d olarak belirlenmiştir. Buna göre tasarım hızının % 20 ile % 120'si arasında hız değişimi sağlanmıştır. Varyatör giriş hızı 1500 dev/dak ve gücü 12 kW'tır. Böylece kompresörün maksimum güç sınırı da belirlenmiş olmaktadır.

Kademe sayısı, kompresör boyunca sınır tabakanın gelişimini tamamlamış (1) olması istendiğinden dört olarak seçilmiştir. Kompresör kademelerinin düşük yüklenmeli (lightly loading) olması gerek güç ve gerekse imilat açısından gereklidir. Buna göre her kademedede % 1 basınç artışı düşündürse kompresörün toplam basınç oranı 1.04 olarak öngörülebilir.

Geometrik boyutlarının küçük olmasının, tasarım parametrelerinden biri olması nedeniyle ve elde bulunan kanatçık (1) Howell modellerinin kanat boyları göz önünde bulundurularak iç çap 0.28 m dış çap 0.4 m olarak belirlenmiştir. Kullanılabilen güç, iç/dış çap oranı, nominal dönme hızı ve düşük yükleme kriterleri göz önünde bulundurularak 2.5 kg/s civarında hava debisi olması öngörülmüştür.

Ulaşılması istenen hedef verim, öngörülen basınç oranları için, 0.90 olarak literatürde geçmektedir. Ayrıca kademenin reaksiyon derecesinin 0.5 olması istenmiştir.

Giriş termodinamik şartları standart olarak  $288^0\text{K}$  ve 101.3 kPa olarak alınmıştır.

## 4.2 ORTALAMA YARIÇAPTA KADEME HESAPLAMALARI

### 4.2.1 Eksenel Hız

Süreklik denkleminden eksenel hız

$$V_a = \frac{\dot{m}}{\rho A} \quad (4.1)$$

olarak bulunabilir.

Burada A iç ve dış çapların belirlediği hava geçiş alanıdır. Tasarımlanan kompresör için:

$$A = \frac{\pi}{4} (d_o^2 - d_i^2) = \frac{\pi}{4} (0.4^2 - 0.28^2) \text{ m}^2$$

$$A = 0.0641 \text{ m}^2$$

(4.1) eşitliğinde geçen hava yoğunluğu , değerini bulmak için Şekil (4.1)'deki akış şemasında gösterildiği gibi bir iterasyon yapılır. Bu iterasyonun sonucunda elde edilen değerler şunlardır:

$$V_a = 32.4 \text{ m/s}$$

$$\rho = 1.204 \text{ kg/m}^3$$

$$P_1 = 99368 \text{ Pa}$$

$$T_1 = 287.5 \text{ K}$$

Burada  $P_1$  ve  $T_1$  kompresör girişindeki statik şartlardır.

### 4.2.2 Kademe Sıcaklık Artışı

Kompresörün tem basıncı oranı aşağıdaki ifade ile verilmiştir.

$$R = [1 + \frac{N\Delta T_{OS}}{T_{o1}}]^{n_s k / (k-1)} \quad (4.2)$$

buna göre

$$T_{OS} = (R(k-1)/n_s k - 1) T_{o1} \quad (4.3)$$

(BAŞLA)

$m, R, \text{Kademeli Sayısı}, N, \eta_1, D_1, D_0$

$R_f \leftarrow P_0, T_0$

$V_a \leftarrow P_f, m, A$

$T \leftarrow T_0, V_a, c_p$

$P \leftarrow T$

$$H \leftarrow \frac{P^2}{\rho_e}$$

$\Delta T_{0s} \leftarrow R, \text{Kademeli Sayısı}, \eta_1, T_0, U \leftarrow \Sigma m, N$

$\alpha_1, \alpha_2 \leftarrow \begin{cases} \Delta T_{0s} \\ \lambda \\ U \\ V_a \end{cases}$

$\alpha_1, \alpha_2, \beta_1, \beta_2 \text{ değerlerini ayırla}$

$\Delta T_{0s}, m, R, \beta_1, \beta_2 \text{ değerlerini düzelte}$

$H \leftarrow \begin{cases} \text{Bir önceki değerlerle} \\ \text{nijumlu mu?} \end{cases}$

$\hat{m}, R, \eta_s, \lambda$

(BITİR)

(BAŞLA)

$V_1 \leftarrow V_a$   
 $V_2 \leftarrow U_d (\tan \alpha_1 - \tan \alpha_2)$

$r = r_h$

$\alpha_1(r), \alpha_2(r) \leftarrow \begin{cases} U \\ V_1 \\ V_2 \\ r/r_m \end{cases}$

$\beta_1(r), \beta_2(r)$

$r = r + 10\%$   
 $H \leftarrow \begin{cases} r \\ F \\ E \end{cases}$

(BITİR)

Şekil 4.1 Ortalama Yarıçapta Kademe Hesapları için Akış Şeması

Burada R tüm basınç oranı ve N kademe sayısıdır. Sayısal değerler yerlerine konulursa kademedeki sıcaklık artışı:

$$\Delta T_{OS} = [1.04^{(0.4/0.9 \times 1.4)} - 1] \frac{288}{4} \text{ K}$$

$$\Delta T_{OS} = 0.9 \text{ K}$$

olarak bulunur.

#### 4.2.3 Kademenin Ortalama Çapta Hava Açılarının Hesaplanması

Aşağıdaki denklemler (45) hava açılarının hesaplanması için kullanılmıştır.

$$\Delta T_{OS} = \frac{\lambda V_a U}{C_p} (\tan\beta_1 - \tan\beta_2) \quad (4.4)$$

$$= \frac{\lambda - 1}{\lambda} + \frac{V_a}{2\lambda U} (\tan\beta_1 + \tan\beta_2) \quad (4.5)$$

$$\frac{U}{V_a} = \tan\alpha_1 + \tan\beta_1 \quad (4.6)$$

$$\frac{U}{V_a} = \tan\alpha_2 + \tan\beta_2 \quad (4.7)$$

(4.4) ve (4.5) eşitliklerinde yapılan iş faktörü  $\lambda$  Howell ve Bonham'ın verdiği şekilde kullanılır (8). (4.5) eşitliğinin türetilmesi Ref. (46)'da gösterilmiştir. (4.6) ve (4.7) eşitlikleri ise kademe hız üçgenlerinin geometrisinden çıkarılmıştır.

Ortalama yarıçapta kanatçık hızı

$$U = \frac{2\pi}{60} \times \Omega \times r_m \quad (4.8)$$

olarak verilmiştir.

Burada  $\Omega$  d/d olarak dönüş hızı,  $r_m$  ortalama yarıçaptır. Buna göre tasarımlanan kompresörün ortalama kanatçık hızı

$$U = \frac{2\pi}{60} \frac{\text{rad}}{\text{s}} \times 3000 \frac{\text{d}}{\text{d}} \times 0.17 \text{ m}$$

$$U = 53.4 \text{ m/s}$$

Sayısal değerlerin (4.4), (4.5), (4.6), (4.7) eşitliklerinde yerleri konmasıyla;

$$\tan\alpha_1 + \tan\beta_1 = 1.648$$

$$\tan\alpha_2 + \tan\beta_2 = 1.648$$

$$\tan\beta_1 - \tan\beta_2 = 0.545$$

$$\tan\beta_1 - \tan\beta_2 = 1.714$$

olarak dört bilinmeyenli dört denklem elde edilir. Bu denklem sisteminin çözümü sonucunda hava açıları;

$$\alpha_1 = 27.4^\circ$$

$$\alpha_2 = 46.8^\circ$$

$$\beta_1 = 48.5^\circ$$

$$\beta_2 = 30.5^\circ$$

olarak bulunur.

Ortalama yarıçaptaki bu kanat açıları kolaylık için şu şekilde düzeltilmişdir:

$$\alpha_1 = 30^\circ$$

$$\alpha_2 = 50^\circ$$

$$\beta_1 = 50^\circ$$

$$\beta_2 = 30^\circ$$

Dönmeye hızını sabit tutarsak, eksenel hız  $V_a$  düzeltilen açılara göre şöyle düzeltilir,

$$\frac{U}{V_a} = \tan\alpha_1 + \tan\beta_1 = \tan 30^\circ + \tan 50^\circ$$

$$\frac{U}{V_a} = 1.769$$

veya

$$V_a = \frac{53.4 \text{ m/s}}{1.769} = 30.2 \text{ m/s}$$

olarak bulunur.

Böylelikle birinci kademe sıcaklık artışı (4.4) eşitliğinden;

$$\Delta T_{os} = \frac{0.96 \times 30.2 \text{ m/s} \times 53.4 \text{ m/s}}{1005 \text{ (kJ/kgK)}} (\tan 50^\circ - \tan 30^\circ)$$

$$= 0.95 \text{ K}$$

olur.

Reaksiyon derecesi ise; (4.5) eşitliğinden;

$$= \frac{0.95-1}{0.96} + \frac{30.2 \text{ m/s}}{2 \times 0.96053.4 \text{ m/s}} (\tan 50^\circ + \tan 30^\circ)$$

$$= 0.48$$

olarak bulunur.

Düzeltilmiş eksenel hız için:

Statik sıcaklık,

$$T = T_0 - \frac{V^2}{2C_p}$$

denkleminden

$$T = 288 \text{ K} - \frac{(30.2 \text{ m/s})^2}{2 \times 1005 \text{ kJ/kgK}} = 287.5 \text{ K}$$

olarak

Statik basınç ise,

$$\frac{P}{P_0} = \left(\frac{T}{T_0}\right)^{k/(k-1)}$$

eşitliğinden

$$P = \left(\frac{287.5 \text{ K}}{288 \text{ K}}\right)^{3.5} \times 101.3 \text{ kPa} = 100.7 \text{ kPa}$$

olarak bulunur.

Buna göre havanın yoğunluğu:

$$\rho = \frac{100.7 \times 10^3 \text{ Pa}}{(287 \text{ kJ/kgK}) \times 287.5 \text{ K}} = 1.22 \text{ kg/m}^3$$

olarak bulunur.

Böylelikle düzeltilmiş açılarla göre debi

$$\dot{m} = 1.22 \text{ kg/m}^3 \times 0.0641 \text{ m}^2 \times 30.2 \text{ m/s}$$

$$= 2.33 \text{ kg/s}$$

olarak bulunur.

Tüm basınç oranı ise

$$R = [1 + \frac{4 \times 0.95 \text{ K}}{288 \text{ K}}]^{(0.9 \times 1.4)/(1.4 - 1)}$$

$$= 1.042$$

olarak bulunur.

Böylelikle ortalama yarıçapta kademe değerleri hesaplanarak, aşağıda verilmiştir.

Hava debisi :  $\dot{m} = 2.33 \text{ kg/s}$

Tüm basınç oranı :  $R = 1.043$

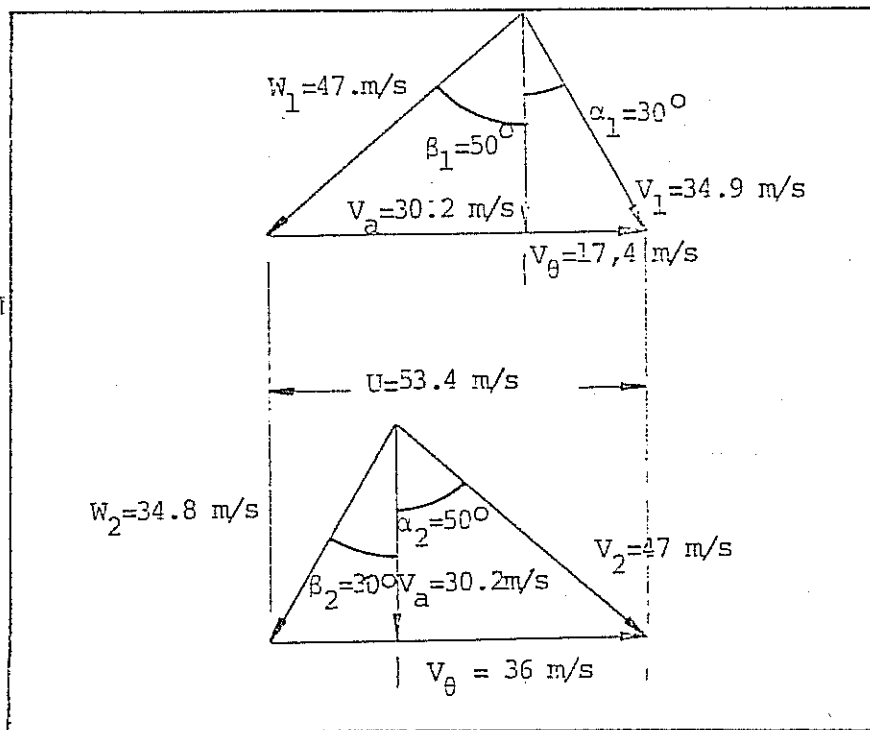
Reaksiyon derecesi :  $\Lambda = 0.48$

Hava açıları :  $\alpha_1 = \beta_2 = 30^\circ$

$\alpha_2 = \beta_1 = 50^\circ$

#### 4.3 HAVA AÇILARININ RADYAL DAĞILIMI

Hava açılarının radyal dağılımı için "serbest vorteks" metodu öngörülü müştür. Bu metodla tasarımlanan kanatçıklarda kanat dönükükleri verilerin hiçbir konumda fazla değildir. Serbest vorteks tasarımını için aşağıdaki verilerin belirlenmiş olması gereklidir.



Şekil 4.2 Tasarımlanan Kompresörün Kademe Hız Üçgenleri

i) Eksenel hızın yarıçap'a göre dağılımı:

$$V_a = 30.2 \text{ m/s} = K_1$$

olarak sabittir.

ii) Özgül iş'in yarıçap'a göre dağılımı:

$$U_d = \frac{r_d}{r} V_a (\tan \alpha_2 - \tan \alpha_1) = K_2$$

sayısal değerleri yerine koyalım olsak

$$K_2 = 53.4 \text{ (m/s)} \times 1 \times 30.2 \text{ (m/s)} \times (\tan 50^\circ - \tan 30^\circ)$$

$$K_2 = 991 \text{ m}^2/\text{s}^2$$

iii) Teğetsel hızının yarıçapa göre dağılımı:

Serbest vorteks tasarımına göre

$$\frac{r}{r_d} V_\theta \quad \text{sabittir}$$

$V_0 = V_a \tan \alpha_1$  olduğundan ve eksenel hızın radyal dağılımının sabit olduğu kabul edildiğinden

$$\frac{r_i}{r_d} \tan \alpha_1 = K_3$$

olarak sabittir.

Bu üç şart, kademe reaksiyon derecesi ve hız üçgenlerinin geometrisi kullanılarak aşağıdaki ifadeler elde edilir.

$$\tan \alpha_1 = \frac{U^2 \{1 - [2(\lambda - \frac{\lambda-1}{r_d} - 1)]\} - K_2}{2U \frac{r}{r_d} K_1} \quad (4.9)$$

$$\tan \beta_1 = \frac{U^2 \{2(\frac{r}{r_d})^2 - [1 - (2(\lambda - \frac{\lambda-1}{\lambda}) - 1)]\} + K_2}{2U \frac{r}{r_d} K_1} \quad (4.10)$$

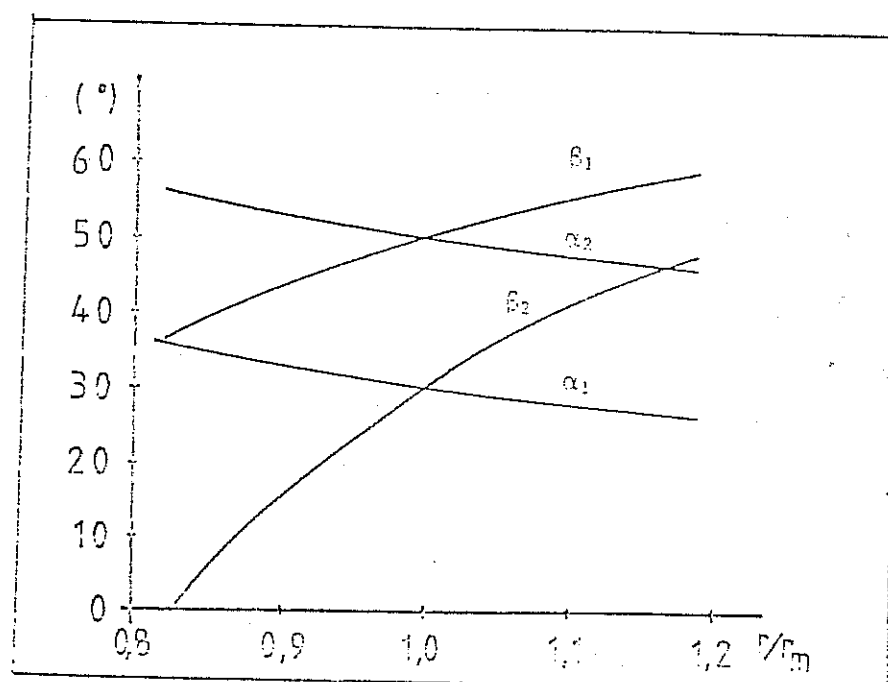
$$\tan \alpha_2 = \frac{U^2 \{1 - [2(\lambda - \frac{\lambda-1}{\lambda}) - 1]\} + K_2}{2U \frac{r}{r_d} K_1} \quad (4.11)$$

$$\tan \beta_2 = \frac{U^2 \{2(\frac{r}{r_d})^2 - [1 - 2(\lambda - \frac{\lambda-1}{\lambda}) - 1]\} - K_2}{2U \frac{r}{r_d} K_1} \quad (4.12)$$

yarıçap  $r$ 'nin fonksiyonu olan bu ifadeler kullanılarak Tablo 4.1 elde edilmiştir.

Tablo 4.1 Serbest Vortex Kanatçıklar İçin Hava Açılarının Radyal Dağılımı

$r(m)$	0.14	0.15	0.16	0.17	0.18	0.19	0.20
$r/r_d$	0.824	0.882	0.941	1	1.059	1.118	1.176
1	35.3	33.5	31.8	30	28.8	27.5	26.4
1	37.2	42.3	46.6	50	53.2	55.7	58.0
2	55.5	53.6	51.8	50	48.5	47.0	45.5
2	0.7	12.1	22.0	30	37.0	42.6	47.1



Şekil 4.3 Hava Açılarının Radyal Dağılımı

#### 4.3.1 GYK'nın Hava Açıları Hesabı

GYK'nın gelen hava giriş açısı 0 derecedir. GYK'nın serbest vortek tasarımlına göre hesaplanması temelde şu formule dayanır;

$$\tan \alpha = \frac{r_d}{r} \tan \alpha_m \quad (4.13)$$

hava giriş salt açısı rotor için  $30^0$  olduğundan yukarıdaki eşitlik kullanılarak Tablo 4.2 elde edilir.

Tablo 4.2 GYK Hava Açıları

$r(m)$	0.14	0.15	0.16	0.17	0.18	0.19	0.2
$r/r_d$	0.824	0.882	0.941	1	1.059	1.118	1.176
$\alpha [^0]$	35.0	33.2	31.5	30	28.6	27.3	26.1

#### 4.4 KANATÇIK TASARIMI

Kademe içinde akışın kinematiği incelenerek ortalama yarıçaptaki dönme açıları şu şekilde bulunur.

$$\text{rotor için } \beta_1 - \beta_2 = 50^0 - 30^0 = 20^0$$

$$\text{stator için } \alpha_2 - \alpha_1 = 50^0 - 30^0 = 20^0$$

Howell (1) tarafından verilen tasarım dönme eğrilerinden rotor ve stator için  $s/c = 1$  değeri bulunur. Boy/kiriş oranı ise Horlock, Shaw, Pollard (36) tarafından ileri sürülen görüşlere dayanılarak rotor ve stator için  $h/c = 2$  olarak seçilmiştir. Kanat yüksekliği 60 mm olduğu için tasarım yarıçapı olan ortalama yarıçapta

$$c = 30 \text{ mm}$$

$$s = 30 \text{ mm}$$

olarak bulunur.

Kanatçık sayıları ise;

$$n = \frac{2\pi r_m}{s}$$

İfadesinde sayısal değerler yerine konularak 35.6 bulunur.

Resonant kuvvet frekansları oluşmaması için, rotor ve stator kanatçık sayılarının ortak çarpanlar olmamasına dikkat edilmelidir. Dinamik dengeleme olayı da göz önünde bulundurularak rotorlar için çift sayılar statorlar için asal sayılar tercih edilmelidir. Buna göre hesaplanan sayıya yakın olarak rotor kanatçıklarının 38, stator kanatçıklarının 37 olmasına karar verilmiştir. Adım s ve kanat sıkılık oranı s/c yeni kanatçık sayılarına göre

$$\begin{aligned} \text{rotor için } s &= 0.028 \text{ m} & s/c &= 0.937 \\ \text{stator için } s &= 0.029 \text{ m} & s/c &= 0.962 \end{aligned}$$

olarak düzelttilmiştir.

#### 4.5 GELİŞ VE SAPMA AÇILARI

Düşük hızlı kanatçık dizinleri için geliş açısı değişimleri minimum kayıp geliş açısının  $\pm 5^\circ$  civarında olması halinde kayıp çok fazla değişmemektedir, böylece tasarım yarıçapında geliş açısının  $0^\circ$  olarak seçilmiştir.

Howell sapma açısı için aşağıdaki ifadeyi vermiştir;

$$\delta = m \theta \sqrt{s/c} \quad (4.14)$$

burada

$$m = 0.23 \left( \frac{2a}{c} \right)^2 + 0.1 \left( \frac{\alpha_2}{50} \right)$$

Dairesel yay kanatçıklar için  $\frac{2a}{c} = 1$  dir.

Sayısal değerleri yerlerine koyacak olursak

$$m = 0.23 \times 1 + 0.1 \times \left( \frac{50}{50} \right) = 0.33$$

olarak bulunur.

Ortalama yarıçapta hesaplamaların sonucu şu sonuçlar bulunmuştur.

Rotor için

Sapma açısı	$\delta = 7.8^0$
Kanatçık çıkış açısı	$\alpha_{2V} = 22.2^0$
Kambur açısı	$\theta = 27.8^0$
Duruş açısı	$\xi = 36.1^0$

Stator için

Sapma açısı	$\delta = 8^0$
Kanatçık çıkış açısı	$\alpha_{2V} = 22^0$
Kambur açısı	$\theta = 28^0$
Duruş açısı	$\xi = 36^0$

#### 4.6 GYK'NIN KANATÇIK TASARIMI

GYK'nın dönmesi

Rotor ve stator kanatçıklarında yapılan analiz göz önünde bulundurularak kanatçık sayısı 33 olarak belirlenmiştir. Adım s ve kanatçık sıklık oranı s/c buna göre

$$s = 0.0324 \quad \text{ve} \quad s/c = 1.079$$

olarak düzeltilmiştir.

GYK'na hava geliş açısı 0 derece olarak belirlenmiştir.

Aslında birer türbin kanatçığı olan GYK'larda sapma

$$\delta = 0.19 \quad (\text{s/c}) \quad (4.15)$$

olarak verilmiştir.

Buna göre yapılan hesaplamalar sonucu

Sapma açısı	$\delta = -7.7^0$
Kanatçık çıkış açısı	$\alpha_{2V} = 37.7^0$
Kambur açısı	$\theta = 37.7^0$
Duruş açısı	$\xi = -18.8$

olarak bulunmuştur.

Kanatçık açılarının radyal dağılımları Tablo 4.3, Tablo 4.4 ve Tablo 4.5'de verilmiştir.

## 4.7 TASARIM NOKTASINDA VE TASARIM YARIÇAPINDA KANATÇIK PERFORMANSI

### 4.7.1 Rotor Kanatçıkları

Kanatçık performansını belirlemek için ortalama hava açısı,  $\alpha_m$ 'nin, belirlenmesi gereklidir.

$$\alpha_m = \tan^{-1} \left[ \frac{1}{2}(\tan\alpha_1 + \tan\alpha_2) \right]$$

olarak verilmiştir.

Ortalama yarıçapta

$$\alpha_m = \tan^{-1} \left[ \frac{1}{2}(\tan 50^\circ + \tan 30^\circ) \right] = 41.5^\circ$$

Tasarım noktası için şekli ötelenme (profile drag) katsayısı  $C_{DP} = 0.017$  olarak verilmiştir. Diğer kayıpların da hesaplanabilmesi için kaldırma katsayısı aşağıdaki ifadelerden hesaplanır.

$$C_L = 2x\left(\frac{S}{C}\right)x(\tan\alpha_1 - \tan\alpha_2)x \cos\alpha_m - C_{DP} \tan\alpha_m \quad (4.16)$$

Ortalama yarıçapta tasarım noktası için sayısal değerleri yerine koyacak olursak

$$C_L = 2x0.937x(\tan 50^\circ - \tan 30^\circ)x \cos 41.5^\circ - 0.017 \times \tan 41.5^\circ$$

$$C_L = 0.847$$

İkincil akış için ötelenme katsayıısı

$$C_{DS} = 0.018 C_L^2 \quad (4.17)$$

olarak verilmiştir.

Böylece

$$C_{DS} = 0.018 \times (0.847)^2 = 0.0129$$

Tablo 4.3 Rotor Kanatçık Açıları (Kanatçık Sayısı: 38)

r	0.14	0.15	0.16	0.17	0.18	0.19	0.2
$r/r_d$	0.824	0.582	0.941	1	1.059	1.118	1.176
$\alpha_1$	37.1	42.2	46.6	50	53.0	55.6	57.8
$\alpha_2$	0.5	11.9	21.7	30	36.8	42.3	46.9
s/c	0.772	0.827	0.882	0.937	0.992	1.047	1.102
$\epsilon$	36.5	30.3	24.7	20	16.2	13.3	11.0
i	-3	-2	-1	0	1	2	3
$\delta$	10.1	9.7	8.9	7.8	6.6	5.4	4.1
$\beta_1$	40.1	44.2	47.4	50	52.0	53.6	45.8
$\beta_2$	-9.5	2.2	12.8	22.2	30.2	37.0	42.8
$\xi$	15.3	23.2	30.1	36.1	41.1	45.3	48.8
$\theta$	49.6	42.0	34.6	27.8	21.8	16.6	12.1

Tablo 4.4 Stator Kanatçık Açıları (Kanatçık Sayısı: 37)

r	0.14	0.15	0.16	0.17	0.18	0.19	0.2
$r/r_m$	0.824	0.882	0.941	1	1.059	1.118	1.176
$\alpha_1$	55.3	53.5	51.7	50	48.4	46.8	45.4
$\alpha_2$	35.0	33.2	31.5	30	28.4	27.3	26.1
s/c	0.792	0.849	0.905	0.962	1.019	1.075	1.132
$\epsilon$	20.3	20.3	20.2	20.0	19.8	19.5	19.2
i	0	0	0	0	0	0	0
$\delta$	7.4	7.6	7.8	8.0	8.1	8.2	8.3
$\beta_1$	55.3	53.5	51.7	50.0	48.4	46.8	45.4
$\beta_2$	27.6	25.6	23.7	22.0	20.5	19.1	17.9
$\xi$	41.5	39.5	37.7	36.0	34.4	33.0	31.6
$\theta$	27.7	27.9	28.0	28.0	27.9	27.7	27.5

Tablo 4.5 Giriş Yönlendirici Kanatçık Açıları (Kanatçık Sayısı: 33)

$r$	0.14	0.15	0.16	0.17	0.18	0.19	0.2
$r/r_m$	0.824	0.882	0.941	1	1.059	1.118	1.176
$\alpha_1$	0	0	0	0	0	0	0
$\alpha_2$	35.0	33.2	31.5	30	28.6	27.3	26.1
$s/c$	0.884	0.948	1.011	1.074	1.137	1.2	1.164
$\epsilon$	-35.0	-33.2	-31.5	-30	-28.6	-27.3	26.1
$i$	0	0	0	0	0	0	0
$\delta$	-7.1	-7.3	-7.5	-7.7	-7.9	-7.3	-7.1
$\beta_1$	0	0	0	0	0	0	0
$\beta_2$	42.1	40.2	39.0	37.7	36.5	35.4	33.6
$\xi$	-21.1	-20.2	-19.5	-18.8	-18.2	-17.7	-16.8
$\theta$	42.1	40.2	39.0	37.7	36.5	35.4	33.6

olarak bulunur.

Çevresel kayıplar için öteleme katsayısı ise

$$C_{DA} = 0.020 \times (s/c) \times (c/h) \quad (4.18)$$

dir. Buna göre,

$$C_{DA} = 0.020 \times (0.937) \times 0.9$$

$$= 0.0094$$

olur.

Böylelikle öteleme katsayıısı

$$\begin{aligned} C_D &= C_{DP} + C_{DA} + C_{DS} \\ &= 0.017 + 0.0129 + 0.0094 = 0.0393 \end{aligned} \quad (4.19)$$

olarak bulunur.

Kanatçık dizininin kayıp katsayıısı

$$\begin{aligned} \frac{\bar{w}}{\frac{1}{2} \rho V_1^2} &= \frac{C_D}{(s/c) \cos^3 \alpha_m / \cos^2 \alpha_1} = \frac{0.0393}{0.937 \times (\cos^3 41.5^\circ) / \cos^2 50^\circ} \\ &= 0.0412 \end{aligned} \quad (4.21)$$

olarak bulunabilir.

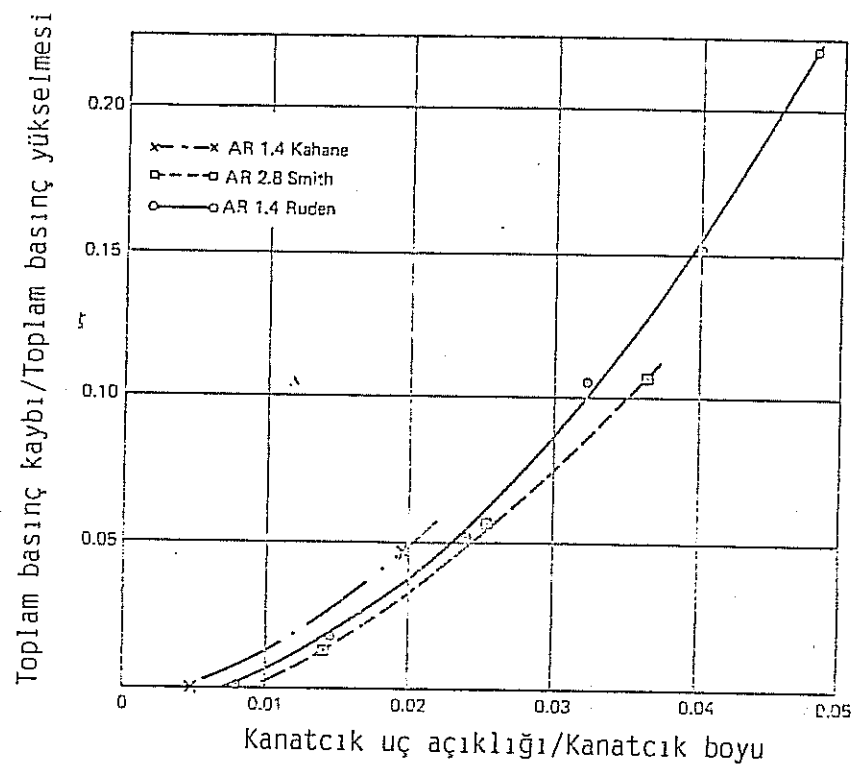
Dizindeki teorik basınç artış katsayıısı ise;

$$\begin{aligned} \frac{\Delta P_{th}}{\frac{1}{2} \rho V_1^2} &= 1 - \frac{\cos^2 \alpha_1}{\cos^2 \alpha_2} \\ &= 1 - \frac{\cos^2 50^\circ}{\cos^2 30^\circ} = 0.449 \end{aligned} \quad (4.21)$$

şeklinde hesaplanabilir.

Kanatçık açıklığı ise Şekil 4.4'den (13) okunan  $\xi = 0.02$  katsayıısı kullanılarak hesaplanmıştır. Buna göre,

Kanatçık uç açılığı kayıpları =  $0.02 \times \frac{\Delta P_{th}}{\frac{1}{2} \rho V_1^2} = 8.98 \times 10^{-3}$   
 olarak bulunabilir.



Şekil 4.4 Kanatçık ve Açıklığı Kayıpları (13)

Bu bilgilerle rotor dizininin verimi şu ifade ile hesaplanır.

$$n_{rotor} = 1 - \frac{\frac{\bar{\omega}}{\frac{1}{2} \rho V_1^2} + \xi \frac{\Delta P_{th}}{\frac{1}{2} \rho V_1^2}}{\frac{\Delta P_{th}}{\frac{1}{2} \rho V_1^2}} \quad (4.22)$$

sayısal değerler yerleştirilerek rotor verimi

$$\eta_{\text{rotor}} = 1 - \frac{0.0412 + 0.00898}{0.449}$$

$$\eta_{\text{rotor}} = 0.89$$

olarak bulunur.

#### 4.7.2 Stator Kanatçıkları

Stator kanatçıklarının tasarım noktasındaki hava açısı, profil drag kayıp katsayısı, teorik basınç artış katsayısı rotor dizininkilere eşittir.

Kaldırma katsayısı (4.16) eşitliğinden,

$$C_L = 2 \times 0.962 \times (\tan 50^0 - \tan 30^0) \times \cos 41.5^0 - 0.17 \tan 41.5^0$$

$$C_L = 0.870$$

olarak bulunur.

Buna göre (4.17) eşitliğinden

$$C_{DS} = 0.018 \times (0.870)^2$$

$$C_{DS} = 0.0136$$

(4.18) eşitliğinden

$$C_{DA} = 0.02 \times 0.962 \times 0.5$$

$$C_{DA} = 0.00962$$

Böylece ötelenme katsayısı

$$C_D = 0.017 + 0.0136 + 0.00962$$

$$C_D = 0.0402$$

olur.

Dizindeki basınç kaybı (4.20) eşitliğinden

$$\frac{\bar{w}}{\frac{1}{2} \rho V_1^2} = \frac{0.0402}{0.962 \times \frac{\cos^3 41.5^\circ}{\cos^2 50^\circ}}$$

$$\frac{\bar{w}}{\frac{1}{2} \rho V_1^2} = 0.0411$$

olarak bulunur.

Kanat uç açıklığı kayıpları Şekil 4.4'den okunan katsayı kullanılarak  $8.98 \times 10^{-3}$  olarak bulunmuştur.

Böylece (4.15) eşitliğinden stator verimi;

$$\eta_{stator} = 1 - \frac{0.0411 + 8.98 \times 10^{-3}}{0.449}$$

$$\eta_{stator} = 0.89$$

olur.

Kademe verimi pratik sıcaklık sınırları içinde kanatçık verimine eşit olduğu için, amaçlanan kademe verimine teorik olarak erişilmiş demektir.

#### 4.8. KADEME BASINÇ ARTIŞI

Daha önceki bölümlerde kademe verimi ve kademe sıcaklık artışı sırası ile  $0.89$  ve  $0.95^\circ K$  olarak hesaplanmıştı. Buna göre kademe basınç artışı

$$R_s = [1 + \frac{\eta_s}{T_{01}}]^{3.5}$$

$$= [1 + \frac{0.89 \times 0.95}{2.88}]^{3.5}$$

$R_s = 1.0103$  olarak bulunur.

#### 4.9 KANATÇIK SEÇİMİ VE KANATÇIK ŞEKLİNİN ÇIKARILMASI

Bir kanatçık dizininin temel gerekleri, tasarımlanan dönmemi, minimum kayıpla sağlamak, gerekli kanatçık kinematiğini (hız üçgenlerini) elde etmek

ve en geniş çalışma alanını sağlamaktır.

Kanatçık verilerini elde etmek için Howell'in (1) Carter'in (2) korelasyonları veya "NACA Cascade" verileri (3,4) kullanılabilir.

Bir kanatçık, çeşitli radyal pozisyonlarda ki kanatçık eleman profillerinden meydana getirilir. Kompresör kanatçığının temel şekli iki aşama izlenerek yapılır.

- 1) Ana çizginin elde edilmesi
- 2) Kanatçık kalınlığının bu ana çizgi üzerine uygulanması

Ana çizgiler geometrik şekiller üzerine kurulur. Bunlar dairesel ve parabolik yaylar veya daha karmaşık eğriler veya önceden tanımlanmış yük dağılımları ve istenilen kambur açısı göz önünde bulundurularak çıkarılmış eğrilerdir.

Kalınlık dağılımı düşük Mach sayısı uygulamaları için kullanılan C4 veya NACA 65 verileri (1,13,35), ile elde edilebilir. Bu tip kanatçıkların dağılımları Tablo 4.6'da verilmiştir.

Dairesel yay kanatçıklarında, dairenin yarı çapı ve maksimum kamburu, kambur çizgisinin basit geometrisinden çıkarılabilir (Şekil 4.5).

$$R = \frac{c}{2 \sin \frac{\theta}{2}}$$

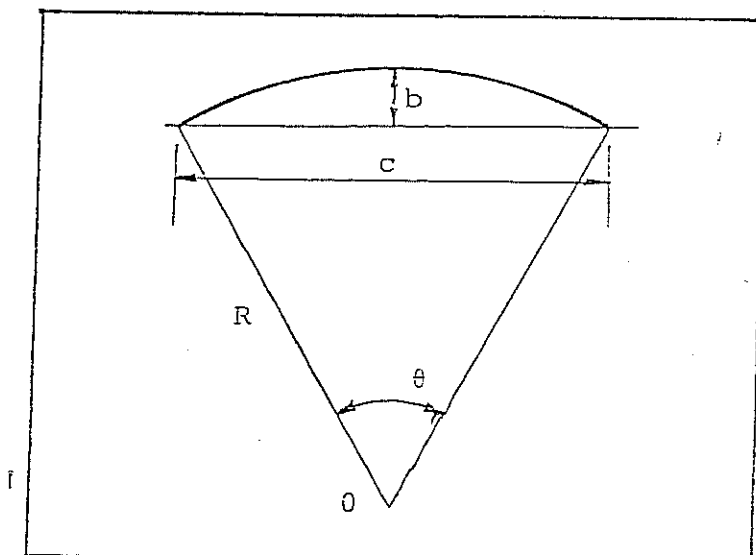
ve

$$b = R(1 - \cos \frac{\theta}{2})$$

burada c kanatçık kirişi ve  $\theta$  kambur açısıdır.

Kanatçık şeklini çıkarmak için aşağıdaki yöntem izlenmiştir.

- i) Kanatçık profilinin geometrik merkez noktası, O, seçilir.
- ii) R ve b değerleri, 4.17 ve 4.18 eşitlikleri kullanılarak, kanatçık profilinin çizileceği radyal konum için hesaplanır.
- iii) Belirlenen radyal konumdaki duruş açısı ile, belirlenen O noktasından bir doğru çizilir.
- iv) Bu çizgi kiriş çizgisinin maksimum miktarı olan b kadar kaydırılır, ki bu çizgi kirişin yerleştirileceği çizgidir.

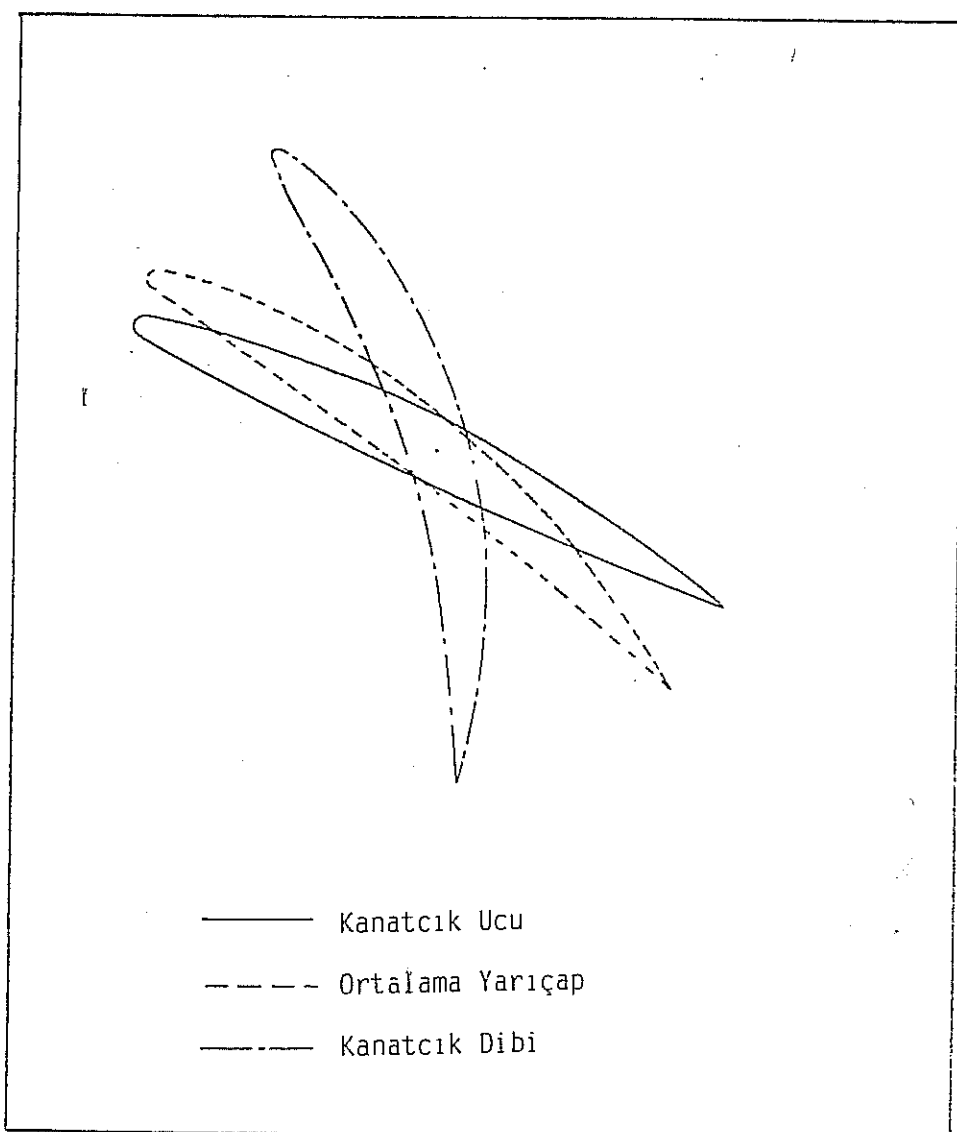


Şekil 4.5 Kambur Çizgisinin ve Kirişin Basit Geometrisi

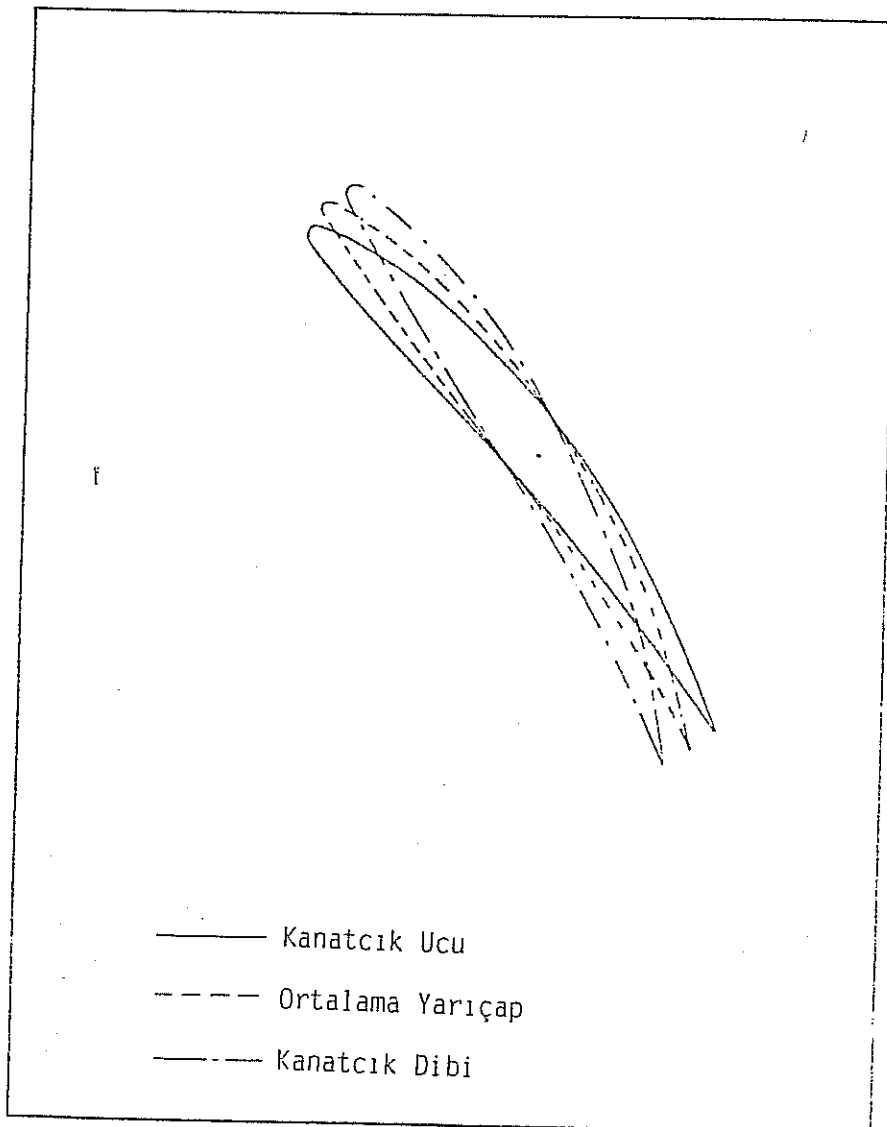
- v) Bir önceki adımda çizilen çizgiye, "O" noktasından geçen bir dik çizilerek, kirişin orta noktası elde edilir.
- vi) R yarıçaplı ve bir önceki adımda çizilen dik çizgi üzerinde kanatçık kamburunun eğim merkezi işaretlenir.
- vii) Kanatçık kambur çizgisi R yarıçaplı bir yay olarak çizilir.
- viii) Kanatçık profili, bu ana çizgi etrafında şekillendirilir.
- ix) Kanatçık giriş ve çıkış kenarlarındaki yarıçaplar verilir.
- x) İşleme ikinci adımdan itibaren, bütün kanatçık boyu taranıncaya kadar, bir başka radyal pozisyonda devam edilir.

Tablo 4.6 C4 ve NACA 65A10 Kanatçık Kalınlık Dağılımları

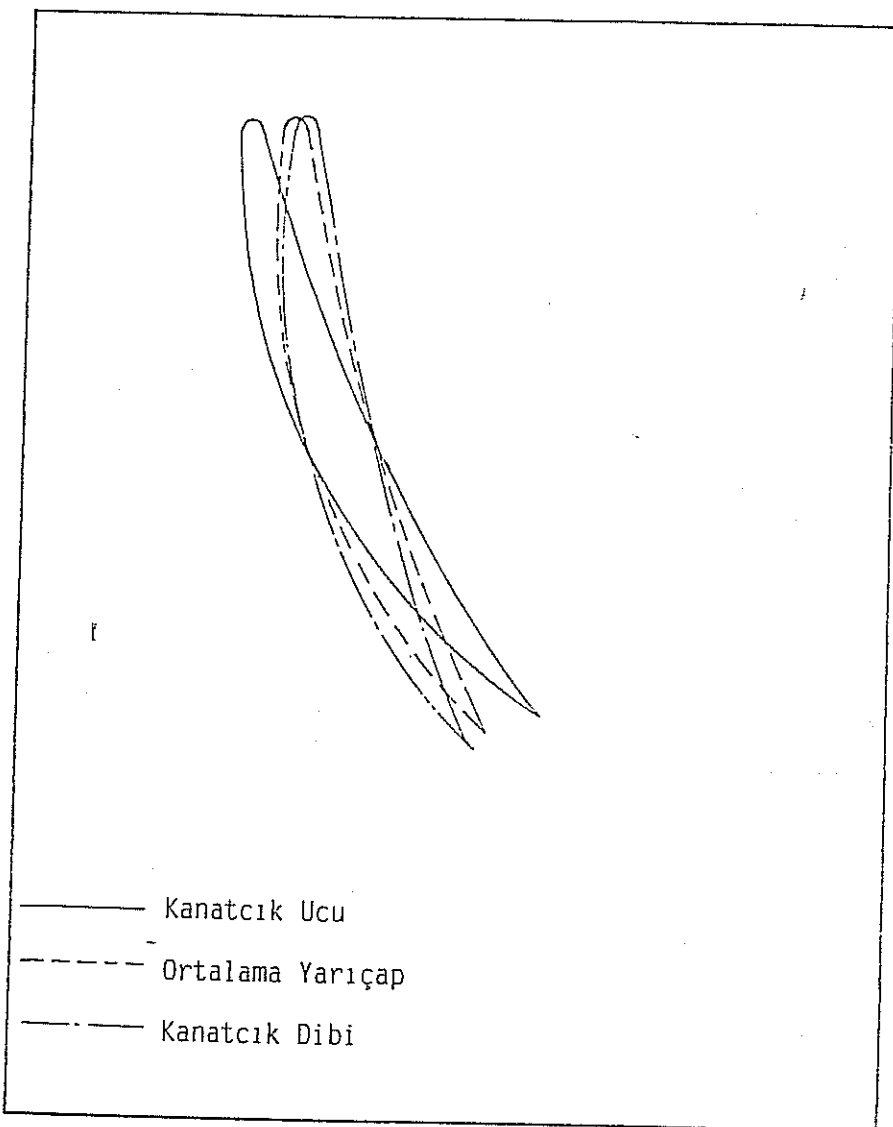
x (% C)	$\pm y$ (% C)	
	NACA 65.A10	C4
0	0	0
1.25	1.169	1.65
2.5	1.574	2.27
5.0	2.177	3.08
5.7	2.647	3.62
10	3.040	4.02
20	4.143	4.83
30	4.760	5.00
40	4.996	4.89
50	4.812	4.57
60	4.146	4.05
70	3.156	3.37
80	1.987	2.54
90	0.810	1.60
100	0	0
LE radius	0.687	1.2
TE radius	-	0.6



Şekil 4.6 Rotor Kanatçığı Profili      (NACA 65-010 Base Profile)



Şekil 4.7 Stator Kanatçığı Profili (NACA 65-010 Base Profile)



Şekil 4.8 GYK Profili

NACA 65-010 Base Profile

## BÖLÜM 5

### MEKANİK TASARIM

#### 5.1 MEKANİK TASARIM KRİTERLERİ

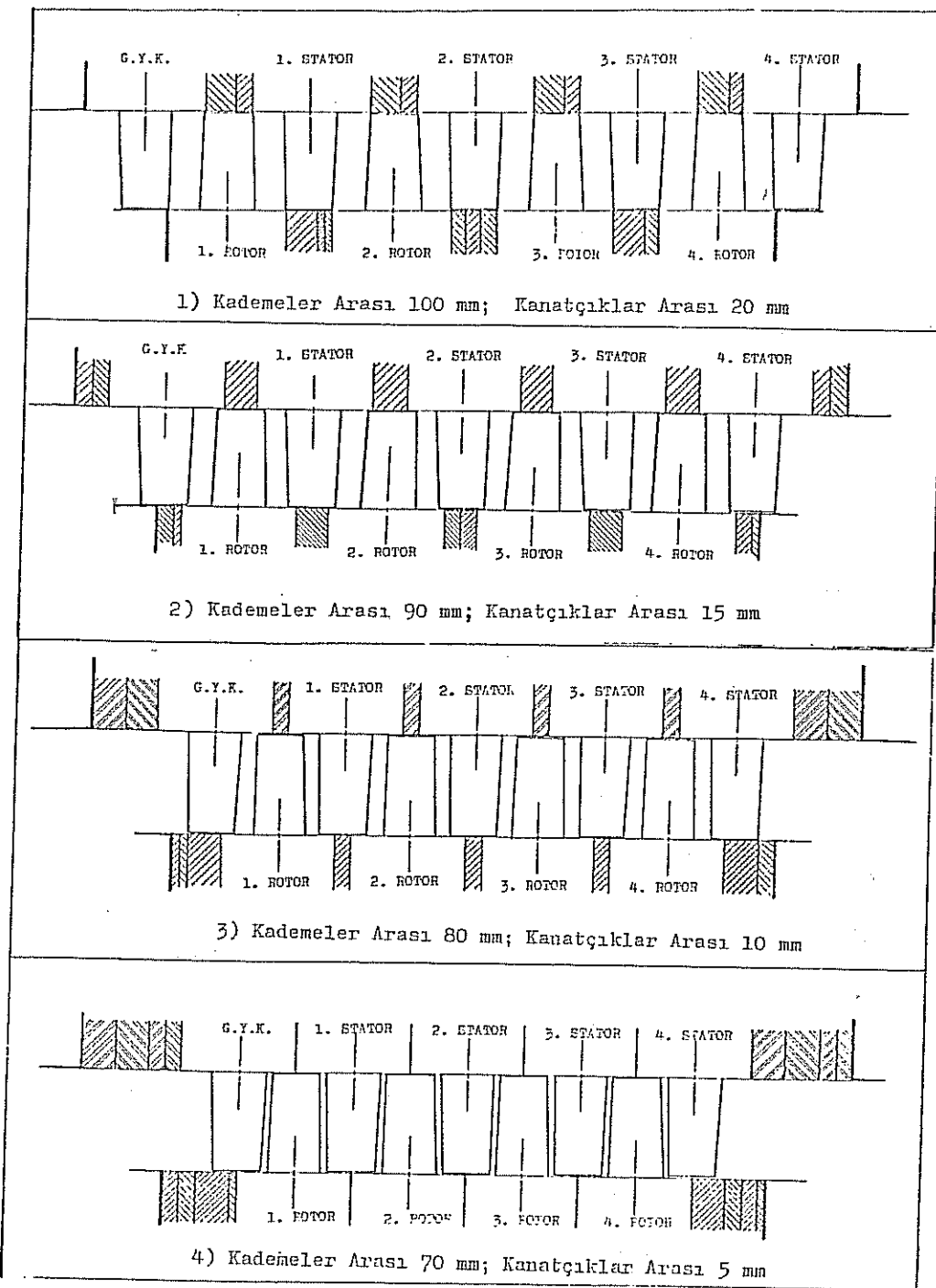
Mekanik tasarımında kompresörün basitliği, küçüklüğü, düşük hızlarda çalışması, düşük gerilimlere maruz kalması, mekanik dengesizlikler, toleranslar, piyasada bulunan ve ucuz malzeme, işleme imkan ve kolaylıklarını göz önüne alınarak yapılmıştır. Esas olarak Geometrik tasarım ve Mukavemet tasarımını olarak iki kısımda incelenebilir.

#### 5.2 GEOMETRİK TASARIM

Kompresörün geometrik ve mukavemet tasarımı tasarım kriterlerine ve aerodinamik tasarım sonuçlarına dayandırılmıştır. Kompresörün göbek/uç oranı kompresör boyunca sabit olarak tesbit edilmiştir. Kompresör kanalları için 0.28 m iç çap, 0.4 m dış çap, tasarım kriterleri ve kanatçık boyu göz önünde bulundurularak belirlenmiştir. Nominal kademe sayısı 4'tür. Fakat bu sayı, kademe bilezikleri yerine boş bilezikler takılarak azaltılabilir. Rotor ve stator kanatçıkları, ayarlandıktan sonra kanatçık bileziklerine somunlar vasıtası ile tesbit edilir ve bu bilezikler de kompresör gövdesine "tutucu bilezikler" vasıtası ile sabitlenir.

Kademeler arası açıklığın değiştirilebilmesi düşünülerek, değişik açıklıklar için değişik kalınlıklarda ara bilezikler tasarlanmıştır. Değişik kombinezonlarda montajın, imal edilmiş bilezik ve parçalar kullanılarak diziliş yöntemi ve geometrisi Şekil (5.1)'de gösterilmiştir.

Rotor bilezikleri bir tamburun üzerine dizilmiştir ve bu ön ve arka rotor göbekleri tarafından sıkılmıştır. Rotorun yataklanması bu göbekler vasıtası ile yapılmıştır. Kompresör şaftının uzunluğunu rotor tamburunun uzunluğu belirlemiştir. Rotor bileziklerinin birbirlerine göre dönmesi, şaftın arkasındaki somun sıkılması sonucu rotor bileziklerinde meydana



Şekil 5.1 Bileziklerin Değişik Birleşmelerle Takılması ile  
Elde Edilen Kademe Aralıkları

gelen sıkışma ve sürtünme kuvveti ile engellenmiştir. Stator bileziklerinin kalınlıkları da rotorlar ile aynı yöntemde tesbit edilmiştir. Stator bilezikleri birbirlerine dairesel set ve yivelerle oturtulmuştur. Kompresör gövdesinin giriş ve çıkış parçaları, gövde bileziklerini sekiz bağlama çubuğu vasıtası ile tutmaktadır. Rotor rulman yuvalarıda bu parçalara oturtulmuştur.

### 5.3 MUKAVEMET HESAPLARI

Mukavemet hesapları, malzemelerin mekanik özellikleri, geometrik ve aerodinamik tasarım verileri göz önünde bulundurularak ve kompresörün dönen ve sabit parçalarının kritik kesitleri analiz edilerek yapılmıştır.

#### 5.3.1 Kompresörde Kullanılan Malzemelerin Mekanik Özellikleri

##### 5.3.1.1 Aluminyum Alaşımı

Aluminyum alaşım döküm, giriş ve çıkış parçaları, gövde ve stator bilezikleri, rotor göbek ve bilezikleri imalatında kullanılmıştır. Kullanılan aluminyum, X-ışını floresansı metodu (44) ile yapılan analizinde aşağıdaki elementler bulunmuştur.

Zn	0.8 %
Cu	4.9 %
Ni	2.5 %
Fe	1.8 %
Al	90 %

Çekme dayanımı deneyi sonucunda kopma gereliminin 92.5 MPa olduğu tesbit edilmiştir. Diğer gerekli mekanik özellikler ise Metal's Handbook'tan alınmıştır (45).

##### 5.3.1.2 Plastikler

Kanatçık malzemesi olarak Nylon 6, cam takviyeli Nylon 6 ve cam takviyeli Noryl denenmiştir. Bu malzemeler içinde gerek dökümde verdiği sonuç ve gerekse sağlamlık olarak cam takviyeli Noryl GRN20 seçilmiştir. Bu malzemenin mekanik özellikleri şunlardır:

Çekme Dayanımı	90 MPa
Çekme Elastisite Modülü	65900 MPa
Esneme Elastisite Modülü	6000 MPa
Özgül Ağırlık	1.27

### 5.3.1.3 Çelik

Ç1040 çeliği bağlama çubukları, şaft ve rotor tamburu için kullanılmıştır. Ç1040'ın gereken mekanik özellikleri aşağıdadır (45).

Akma Dayanımı	293 MPa
5 cm'de Uzama	1.8 %
Yoğupluğu	7.81 kg/dm <sup>3</sup>

### 5.3.2 Aerodinamik Veriler: Kanatçıkların ve Kanatçık Dizinlerinin Yüklenmeleri

Bir kanatçık elemanın üzerindeki teğetsel ve eksenel kuvvetler aşağıdaki ifadelerle hesaplanır;

$$F_t = sh\rho V_a^2 (\tan \alpha_1 - \tan \alpha_2)$$

$$F_a = sh\rho V_a^2 (\tan^2 \alpha_1 - \tan^2 \alpha_2)$$

Burada s (adık) (kanatçık tipine göre değişmektedir.)

h (kanatçık yüksekliği) = 0.06 m

$\rho$  (hava yoğunluğu) = 1.2 kg/m<sup>3</sup>

$V_a$  (eksenel hız) = 30.2 m/s

olarak verilmiştir

#### 5.3.2.1 Giriş Yönlendirici Kanatçık (GYK) Dizini

GYK dizini için sayısal değerler

$$s/c = 1.074; \quad \alpha_1 = 0; \quad \alpha_2 = 30^\circ \text{ olarak verilmiştir.}$$

Böylece;

$$F_t = 1.074 \times 0.03 \text{ cm} \times (0.06) \text{ m} \times 1.2 \text{ kg/m}^3 \times (30.2 \text{ m/s}) \times (-\tan 30^\circ)$$

$$= -1.22 \text{ N/kanatçık}$$

ve 33 GYK için toplam teğetsel kuvvet

$$F_t = 40.3 \text{ N olur.}$$

Eksenel kuvvet ise,

$$F_a = 1.071 \times 0.03(\text{m}) \times 0.06(\text{m}) \times 1.2(\text{kg/m}^3) \times (30.2 \text{ m/s})^2 \times (-\tan^2 30^\circ)$$

$$= -0.705 \text{ N/kanatçık}$$

ve toplam eksenel kuvvet,

$$F_a = 23.3 \text{ N olarak hesap edilir.}$$

### 5.3.2.2 Rotor Dizini

Bir rotor dizini için,

$$s = 0.028 \text{ m}; \alpha_1 = 50^\circ; \alpha_2 = 30^\circ \text{ olarak verilmiştir.}$$

Böylelikle,

$$F_t = 0.028 \text{ m} \times 0.06 \text{ m} \times 1.2 \text{ kg/m}^3 \times (30.2 \text{ kg/m})^2 \times (\tan 50^\circ - \tan 30^\circ)$$

$$= 1.13 \text{ N/kanatçık}$$

Rotor kanatçıkları 38 adet olduğu için toplam teğetsel kuvvet,

$$F_t = 42.9 \text{ N olur.}$$

Eksenel kuvvet,

$$F_a = 0.028 \text{ m} \times 0.06 \text{ m} \times 1.2 \text{ kg/m}^3 \times (30.2 \text{ m/s})^2 \times (\tan^2 50^\circ - \tan^2 30^\circ)$$

$$= 2.0 \text{ N/kanatçık}$$

ve toplam eksenel kuvvet ise,

$$F_a = 76.0 \text{ N olur.}$$

### 5.3.2.3 Stator Dizini

Bir stator dizini için,

$s = 0.029 \text{ m}$ ; giriş ve çıkış açıları, sırasıyla;  $50^\circ$  ve  $30^\circ$  olarak verilmiştir. Bu değerler kullanılarak,

$$F_t = 0.029(\text{m}) \times 0.06(\text{m}) \times 1.2(\text{m}) \times (30.2 \text{ m/s})^2 \times (\tan 50^\circ - \tan 30^\circ)$$

$$= 1.17 \text{ N/kanatçık}$$

$$F_a = 0.029(\text{m}) \times 0.06(\text{m}) \times 1.2(\text{m}) \times (30.2 \text{ m/s})^2 \times (\tan^2 50^\circ - \tan^2 30^\circ)$$

$$= 2.07 \text{ N/kanatçık}$$

olarak bulunur.

37 adet stator kanatçığı olduğu için,

$$F_t = 43.3 \text{ N}$$

$$F_a = 76.6 \text{ N} \text{ olur.}$$

### 5.3.2.4 Rotor Hızı

Mukavemet hesaplarında rotor hızı, varyatörün maksimum çıkışı olan, 4500 rpm olarak alınmıştır.

$$N_{\max} = 4500 \text{ rpm} = 471 \text{ rad/s}$$

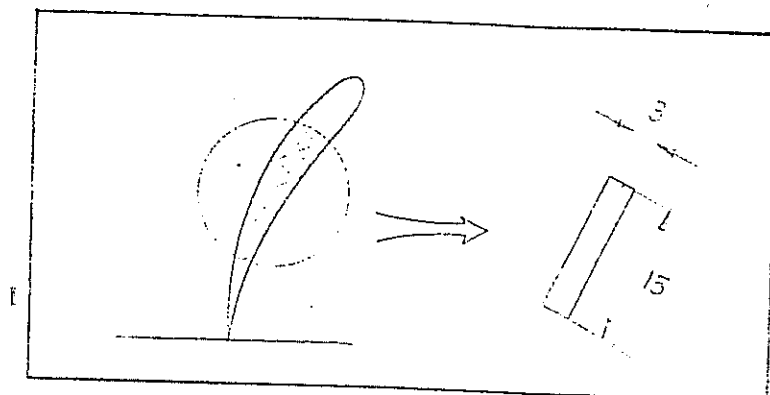
### 5.4.3 Dönen Kısımlar

#### 5.4.3.1 Rotor Kanatçıkları

Eksenel kompresör kanatçıkları üzerinde üç ana tip gerilim vardır. (i) Merkezkaç çekme gerilimi, (ii) Eğme gerilimi, (iii) Merkezkaç eğme gerilimi. Üçüncü gerilim değişik yarıçaplardaki kanatçık kesitlerinin ağırlık merkezinin (centroids) aynı radyal çizgi üzerinde olması yüzünden etkisizdir.

Merkezkaç çekme geriliminin en fazla olduğu kesit kanatçık dibi kesiti-  
dir ve aşağıdaki şekilde ifade edilebilir.

Kanatçık dibi bağlantı kesiti kritik bir kesittir ve bir dikdörtgen olarak basitleştirilebilir. Kanatçık bu kesitte ankastre olarak bağlanmış bir çubuk olarak kabul edilebilir (Şekil 5.2).



Şekil 5.2 Kanatçık Dibi Bağlantısı İçin Basitleştirilmiş Bir Yaklaşım

Bu önkabulle tasarım güvenli taraftadır, çünkü kamburlu ve eğik kanatçık kesitlerinin atalet momenti dikdörtgen çubuktan daha yüksektir.

Kanatçık kökünde eğme momenti ve kesme kuvveti ;

$$M = \frac{L'h^2}{2} \quad (5.4)$$

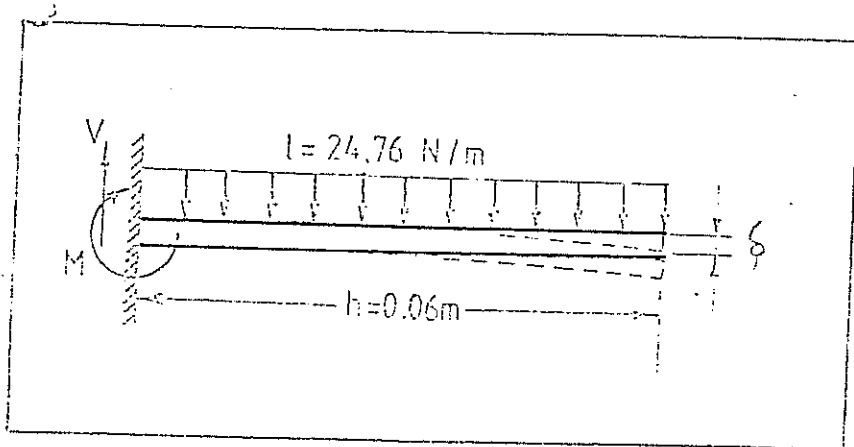
$$V = L'h \quad (5.5)$$

olarak verilmiştir. Burada  $L'$  birim yüksekliğe düşen kanatçık kaldırma kuvvetidir.

Sayısal değerleri yerine koyarsak kanatçık dibindeki eğme momenti ;

$$M = \frac{24.76 \text{ (N/m)} \times (0.06 \text{ m})^2}{2}$$

$$M = 0.0446 \text{ N-m}$$



Şekil 5.3 Rotor Kanatçığı Mukavemet Analizi

Kesme kuvveti

$$V = 24.76 \text{ (N/m)} \times (0.06 \text{ m})$$

$$V = 1.48 \text{ N}$$

olarak bulunur.

Kesme kuvveti, kanatçık malzemesinin rahatlıkla taşıyabileceği bir kuvvet olduğundan kritik değildir.

Eğme momentinden doğan eğme gerilimi

$$\sigma_b = \frac{Ma}{I}$$

olarak ifade edilir.

Burada,  $I = \frac{ab^3}{12}$  dir. a ve b değerleri Şekil 5.2'de gösterilmiştir.

Sayısal değerler yerleştirildiğinde eğme gerilimi

$$\sigma_b = \frac{0.0446 \text{ (N-m)} \times 1 \times 10^{-3}(\text{m})}{(1/12) \times (2 \times 10^{-3})^3 \times (15 \times 10^{-3})(\text{m}^4)}$$

$$\sigma_b = 4.46 \times 10^6 \text{ N/m}^2$$

olarak bulunur.

Merkezkaç gerilimi ve eğme geriliminin bileskesi

$$\sigma_b = \sigma_c + \sigma_b$$

$$\sigma_b = (2.87 \times 10^6 + 4.46 \times 10^6) \text{ N/m}^2$$

$$\sigma_b = 7.33 \times 10^6 \text{ N/m}^2 \text{ olur.}$$

Bu değer güvenlik katsayısı, 3 ile çarpıldığında sonuç malzemenin mukavemetinden fazla olduğu için, kanatçıkların eğme ve merkezkaç gerilimlerine karşı güvenli olduğu sonucuna varılabilir.

Eğme momentinden dolayı maksimum eğilme (kanatçık ucundaki eğilim)

$$\delta = \frac{Lh^4}{8EI} \quad (5.6)$$

olarak verilir. Değerler yerine konacak olursa

$$\delta = \frac{24.76 \text{ (N/m)} \times (0.06 \text{ m})^4}{8 \times 6.5 \times 10^9 \text{ (N/m}^2\text{)} \times 1 \times 10^{-11} \text{ (m}^4\text{)}}$$

$$\delta = 6.17 \times 10^{-4} \text{ m} = 0.62 \text{ mm olarak bulunur.}$$

Stator ve GYK üzerindeki gerilimler akışkanın momentum değişiminden meydana gelen eğme gerilimleridir. rotor kanatçıkları üzerinde bulunan merkezkaç gerilimler bu iki tip kanatçık üzerinde yoktur.

Rotor kanatçıklarının rotorla olan bağlantıları bir diğer kritik kesitdir. Bu civataların malzemesi Ç1040'dır. Civataların dayanım sınırı şu ifade ile hesaplanır.

$$S_e = k_a k_b k_e S'_e$$

Burada,

$$S_e = \frac{S_u}{2} = \frac{523.6 \text{ (MPa)}}{2} = 261.8 \text{ MPa}$$

$k_a$  (yüzey faktörü) = 0.73  
 $k_b$  (boyut faktörü) = 0.85  
 $K_f$  (redüksiyon faktörü) = 3.8 (çekme civataları için)  
olarak alınmıştır.

Böylelikle dayanım sınırı,

$$S_e = 0.73 \times 0.85 \times \frac{1}{3.8} \times \frac{523.6}{2} \text{ MPa}$$

$$S_e = 42.75 \text{ MPa}$$

olarak bulunmuştur.

Kanatçık dip civatası Üzerine gelen merkezkaç kuvvet

$$F_c = m_b \times w^2 \times r_{eq}$$

ifadesi ile bulunur.

Burada  $m_b$ :kanatçık kütlesi: 12.5 gr

$w$  :maksimum açısal hız : 417 m/s

$r_{eq}$ :kanatçık kütlesinin tümünün konumladığı  
düşünülen eşdeğer yarıçap: 0.15 m

Bu değerleri yerlerine koyacak olursak

$$\begin{aligned}
F_c &= 12.5 \times 10^3 \text{ (kg)} \times 417^2 \text{ (rad/s)} \times 0.15 \text{ (m)} \\
&= 326 \text{ N}
\end{aligned}$$

$$\sigma_{all} = \frac{S_e}{n} = \frac{F_c}{A} \quad \text{olduğuna göre,}$$

$$A = \frac{nF_c}{S_e} \quad \text{olur.}$$

Böylece  $n = 3$  için,

$$A = \frac{3 \times 326 \text{ N}}{42.75 \times 10^6 \text{ Pa}} = 2.2 \times 10^{-5} \text{ m}^2 \text{ dir.}$$

Güvenli dış dibi çapı ise,

$$d_r = \sqrt{\frac{A}{\pi}} = \sqrt{\frac{2.2 \times 10^{-5}}{\pi}} = 2.7 \times 10^{-3} \text{ m}$$

$$d_r = 2.7 \text{ mm}$$

olarak bulunur.

Kanatçık dibi civataları olarak dış dibi çapı 4 mm olan M6 civatalar kullanılarak güvenli bir seçim yapılmıştır. Stator ve GYK'lar merkezkaç gerilimlerine maruz kalmadıkları için daha az kritiktirler, böylece rotor kanatçıklarının mukavemetinin doğrulanması, bu tip kanatçıkların mukavemetleninin de doğrulanması demektir.

### 5.3.3.2 Rotor Bilezikleri ve Rotor Tamburu

Rotor bilezikleri üzerindeki gerilimler dönmeden doğan çekme gerilimleri ve rotor bileziklerinin göreceli dönmelerini önleyici sıkıştırmadan ötürü normal gerilimlerdir.

Kritik bilezikler rotor kanatçıklarını taşıyan bileziklerdir. Rotor kanatçıklarında oluşan kuvvetler, kanatçık tutucu bilezikleri üzerine yayılı yük olarak alınmıştır. Mukavemetin arttırılması için bu bilezikler ve bunlara bitişik olanların yerleşme yüzeyleri eğimli olarak tasarlanmıştır. Kanatçık taşıyıcı bilezikler üzerindeki toplam çekme gerilimi:

$$\sigma_t = \sigma_u + \sigma_s \quad (5.8)$$

dir.

Burada  $\sigma_u$  bileziğin üzerinde kanatçıklar yokken uygulanan merkezkaç kuvveti ve  $\sigma_s$  rotor kanatçıklarından doğan yayılı merkezkaç kuvvetidir. Stodola (39) bu gerilimleri şu şekilde tanımlamıştır:

$$\sigma_u = \rho(wr)^2 \quad (5.9)$$

ve

$$\sigma_s = \frac{r}{t} \left( \frac{F_c}{2\pi r b} \right) \quad (5.10)$$

Bu iki denklemde;

$\rho$  : malzeme yoğunluğu :  $2700 \text{ kg/m}^3$

$w$  : maksimum açısal hız :  $417 \text{ rad/s}$

$r$  : rotor yarıçapı :  $0.14 \text{ m}$

$t$  : bilezik kalınlığı :  $0.01 \text{ m}$

$b$  : bilezik eni :  $0.032 \text{ m}$

ve

$F_c$ : kanatçıklardan gelen merkezkaç kuvveti.

Rotor kanatçığının, civata somun ve rondela ile birlikte ağırlığı ortalama  $12.5 \text{ g}$  olarak ölçülmüştür. Kanatçığun kütlesinin  $r=0.15 \text{ (m)}$  yarıçapta yoğunlaştığı kabul edilecek olursa;

$$F_c = 38(\text{kanatçık}) \times 0.0125(\text{kg/kanatçık}) \times 417^2(\text{rad/s})^2 \times 0.15(\text{m})$$

$$F_c = 15806 \text{ N}$$

olarak bulunur.

(5.9) eşitliğinden kanatçıklar olmadan merkezkaç kuvveti:

$$\sigma_u = 2700(\text{kg/m}^3) \times (417(\text{rad/s}) \times 0.14(\text{m}))^2$$

$$\sigma_u = 1.17 \times 10^7 \text{ N/m}^2$$

(5.10) eşitliğinden,

$$\sigma_s = \frac{0.14}{0.01} \left( \frac{15806 \text{ N}}{2 \times 0.14(\text{m}) \times 0.032(\text{m})} \right)$$

$$\sigma_s = 7.86 \times 10^6 \text{ N/m}^2$$

olarak bulunur.

Böylelikle kanatçık tutucu bileziğin üzerindeki toplam gerilim:

$$\sigma_t = (1.17 \times 10^7 + 7.86 \times 10^6) \text{ N/m}^2$$

$$\sigma_t = 1.96 \times 10^7 \text{ N/m}^2$$

olarak hesap edilir.

Güvenlik katsayısı 3 olarak alındığında, kabul edilebilir gerilim,

$$\sigma_{all} = 3 \times 1.96 \times 10^7 \text{ N/m}^2 = 5.86 \times 10^7 \text{ N/m}^2$$

olur ve bu değer aluminyumun çekme geriliminden düşüktür.

Rotor tamburu üzerindeki gerilimler,

$$= 7800 \text{ kg/m}^3 \text{ (çelik için)}$$

değeri yerine konularak, (5.9) eşitliğinden;

$$= 7800(\text{kg/m}^3) \times (471(\text{rad/s}) \times 0.12(\text{m}))^2$$

$$= 2.49 \times 10^7 \text{ N/m}^2$$

olarak bulunur.

Güvenlik katsayısı 3 için, kabul edilebilir gerilim:

$$\sigma_{all} = 3 \times 2.49 \times 10^7 = 7.5 \times 10^7 \text{ N/m}^2$$

dir ki bu değer Ç1040'ın çekme dayanımından düşüktür.

### 5.3.3.3 Ön ve Arka Rotor Göbekleri

Ön ve arka rotor göbekleri, merkezkaç çekme gerilimleri ve rotor bileziklerinin sıkıştırılmasından doğan normal gerilimler göz önünde bulundurularak analiz edilmiştir. Analizin basite indirgenebilmesi için bu parçalar iç çaptan sabitlenmiş, dış çapı serbest, ve belirlenmiş bir çaptan yüklenen düz dairesel plakalar olarak basitleştirilmiş, ve Roark'ın (40) bu durum için ileri sürdüğü gerilim ifadelerinden faydalانılmıştır. Havanın her rotor kademesine uygulandığı, 42.9 N'luk tegetsel kuvvetin etkisiyle, rotor bileziklerinin birbirlerine göre dönmesini engelleyecek gerekli sıkıştırma kuvveti:

$$f = \frac{42.9(\text{N}) \times 4(\text{kademe})}{1.05}$$

olarak verilmiştir.

Burada 1.05 Al-Al kuru sürtünme katsayısıdır.

Böylece  $f = 163.4 \text{ N}$  olarak bulunur.

Rotor ön ve arka göbeklerinin geometrilerine ve yükleme durumlarına göre maruz kaldıkları momentler, Roark'ın verdiği formüllerden en uygunu olan aşağıdaki ifade ile hesaplanmıştır.

$$M = \frac{-wxa}{C_8} \left( \frac{r_0 \times C_g}{b} - L_g \right)$$

Burada  $a$ (dış yarıçap) = 0.14 m

$b$ (iç yarıçap) = 0.15 m

$r_0$ (yaylı yükün uygulandığı yarıçap) = 0.13 m

$$w(\text{yayılı yük}) = \frac{163.4 \text{ (N)}}{2\pi \times 0.13} = 200 \text{ N/m}$$

Bu değerler için verilen parametreler ise:

$$C_8 = 0.669$$

$$C_g = 0.164$$

$L_g = 0.0672$ 'dir.

Böylece,

$$M = \frac{-200 \times 0.14}{0.669} \left( \frac{0.13 \times 0.164}{0.015} - 0.0672 \right)$$

$$= -56.68 \text{ (N-m)}/\text{m}$$

Bu durum için gerilim;

$$\sigma = \frac{6M}{t^2}$$

olarak verilmiştir.

Yorulma tasarımlı kriterine göre,

$$\sigma = k_a k_b k_c k_d k_e k_f \times 0.5 \sigma_u$$

olarak hesap edilir.

Burada:

$$k_a \text{ (yüzey faktörü)} = 0.85$$

$$k_b \text{ (boyut faktörü)} = 0.75$$

$$k_c \text{ (güvenilirlik faktörü)} = 0.814 \text{ (% 99 güvenilirlik için)}$$

$$k_d \text{ (sıcaklık faktörü)} = 1$$

$$k_e \text{ (gerilim yoğunluğu faktörü)} = 0.735$$

olarak alındığında kopma gerilimi 92.5 MPa olan malzeme için :

$$\sigma = 0.85 \times 0.75 \times 0.814 \times 1 \times 0.735 \times 0.5 \times 92.5$$

$$\sigma = 17.6 \text{ MPa}$$

bulunur.

Bu değer kullanılarak, güvenlik katsayısı 3 için, kalınlık:

$$t = \sqrt{\frac{6M \cdot n}{\sigma_e}} = \sqrt{\frac{6 \times 56.68 \times 3}{1.76 \times 10^6}} = 7.6 \times 10^{-3} \text{ m}$$

$$t = 7.6 \text{ mm}$$

olarak hesaplanır.

Rotor ön ve arka göbeklerinin kalınlıkları 15 mm olup güvenlidir.

#### 5.3.3.4 Kompresör Mili

Yataklamanın özelliğinden dolayı mil eğme momenti taşımamakta, sadece eksenel yük ve burulmaya maruz kalmaktadır. Mukavemet tasarımını, varyatörün maksimum hızı (417 rad/s) ve elektrik motorunun gücü (15 kW) kullanılarak hesaplanmıştır. Buna göre motorun uyguladığı tork:

$$T = \frac{15000 \text{ (W)}}{417 \text{ rad/s}} = 31.85 \text{ N-m'dir.}$$

Yorulma tasarımını kriterleri olarak:

$k_a$  (işlenmiş yüzey için) = 0.8

$k_b$  ( $8 < d < 50$  mm için) = 0.85

$k_c$  (% 95 güvenilirlik için) = 0.868

$k_d$  (düşük çalışma sıcaklıklar için) = 1

$k_f$  (diş açılmış kesit için) = 0.333

alınmıştır. Böylece 293 MPa kopma dayanımı olan şaft malzemesi için:

$$S_e = 0.8 \times 0.85 \times 0.868 \times 1 \times 0.333 \times 0.5 \times 293 \text{ MPa}$$

$$S_e = 28.8 \text{ MPa}$$

Güvenlik katsayısı 3 için mil çapı;

$$d = \sqrt[3]{\frac{16 T_n}{\pi S_e}} = \sqrt[3]{\frac{16 \times 31.85 \times 3}{\pi \times 28.8 \times 10^6}} = 0.026 \text{ mm}$$

olarak hesap edilmiştir.

#### 5.3.3.5 Kamalar

Kademeli milin üç yerine kamalar konulmuştur. Milin 42 mm çaplı kademe-sinde yerleştirilen kama, kama standartı TS 147/2 den, 12 mm ene ve 8 mm derinliğe sahip olan kama olarak seçilmiştir. Kama malzemesi akma gerilimi 180 MPa olan Ç1010 çeliğidir.

Kabul edilebilir kesme gerilimi;

$$S_s = \frac{S_y}{2n} = \frac{180}{2 \times 3} = 30 \text{ MPa}$$

kama üzerindeki kesme kuvveti;

$$F = \frac{T}{r} = \frac{31.85 \text{ (N-m)}}{0.021(\text{m})} = 1517 \text{ N},$$

ve gerekli kama uzunluğu ise;

$$l = \frac{F}{S_{all} t/2} = \frac{1517 \text{ (N)}}{30(\text{MPa}) \times (12 \times 10^{-3} \text{ (m)}) \times 0.5} = 8.4 \times 10^{-3} \text{ m}$$

olarak bulunur.

Buna göre mil kaplini için,

A12x8x4 kama seçilmişdir.

Aynı işlemler 8 mm en ve 7 mm derinliğe sahip ön ve arka göbek kamaları için yapılmış, her ikisi için de

A8x8x32 kama kullanılmıştır.

### 5.3.3.6 Mil Civatası Sıkma Torku

Mil civatasının sıkılması sırasında aşılmaması gereken tork rotor arka göbeğinin mukavemetinden hesaplanmıştır. Aluminyumun kabul edilebilir yüklemesi daha önceki bölümlerde  $5.87 \times 10^6 \text{ N/m}^2$  olarak bulunmuştur. Buna göre kesme gerilimi:

$$S_s = \frac{S_{all}}{2} = \frac{5.87 \times 10^6 \text{ (N/m}^2\text{)}}{2}$$

$$S_s = 2.93 \times 10^6 \text{ N/m}^2 \text{ dir.}$$

Sıkıştırılmanın sağlandığı arka göbekte kesme alanı 80 mm çaptadır böylece;

$$\begin{aligned} A_g &= \pi d t = \pi \times 0.080 \times 0.015 \\ &= 3.77 \times 10^{-3} \text{ m}^2 \end{aligned}$$

olarak hesaplanır.

Böylelikle kesme kuvveti;

$$F_s = S_s \times A_s = 2.93 \times 10^6 \times 3.77 \times 10^{-3} = 11058 \text{ N}$$

olarak bulunur.

Civatanın sıkıştırma torku aşağıdaki ifadeden hesap edilir.

$$T = \frac{Fd_m}{2} \left( \frac{1 + \mu d_m \sec \alpha}{\mu d_m - \mu l \sec \alpha} \right)$$

Burada:

$$F \text{ (sıkıştırma kuvveti)} = 11058 \text{ N}$$

$$d_m \text{ (dişin ortalama çapı)} = 21 \text{ mm}$$

$$l \text{ (adım/2)} = 0.5 \text{ mm}$$

$$\mu \text{ (sürtünme katsayısı)} = 0.25$$

$$\alpha \text{ (diş açısı/2)} = 30^\circ \text{ dir.}$$

Böylece aşılmaması gereken sıkıştırma torku:

$$T_{\max} = 40.6 \text{ N-m}$$

olarak hesap edilir.

İ

#### 5.3.4 Rulmanların Seçimi

Rotor ön göbek rulmanın bilyalı yatak; arka göbek rulmanın, oynar yataklı bilyalı olması öngörülümüştür. Arka göbek rulmanın oynar yataklı olması ön ve arka yataklar arasında olabilecek eksen kaçıklıklarını telafi etmek içindir.

Yataklar üzerine düşen eksenel yük 300 N'dur. Radyal yük ise,

$$F_R = W_{\text{rotor}} + W_{\text{balanssızlık}}$$

olarak ifade edilir.

Rotorun ağırlığı 50 kg'dır. Giderilemeyen balanssızlıktan doğan dinamik kuvvet ise 50 kg olarak alınmıştır. Buna göre radyal yük:

$$F_R = (50 + 50)(kg) \times 9.81 \text{ N/kg}$$

$$= 981 \text{ N}$$

olarak bulunur.

Rulmanın nominal ömrünün 3000 milyon devir olması istenmektedir, diğer bir deyişle,

$$L_{10h} = 3000 \text{ 'dir.}$$

Fakat,

$$L_{10h} = \frac{10^6}{60n} \left(\frac{C}{P}\right)^{1/p}$$

olarak verilmiştir.

Burada;

$n$  çalışma hızı (rpm)

$p = 3$  (bilyalı yataklar için)

Böylelikle,

$$\frac{C}{P} = \left( \frac{3000 \times 60 \times 3000}{10^6} \right)^{1/3}$$

$$\frac{C}{P} = 8.14$$

bulunur.

Burada,  $C$  dinamik yük sayısı,

ve  $P$  eşdeğer dinamik yüklemidir.

$$P = X F_r + Y F_a$$

olarak verilmiştir.

SKF Rulman seçme kataloğundan  $X = 1$  bulunur.

$$\frac{F_a}{F_r} = \frac{300}{981} = 0.306$$

Boyutları göz önünde bulundurularak, seçilebilir. Bulunan SKF6012 sabit yataaklı bilyalı rulmanın, sabit yük sayısı 18300 N'dur. Buna göre  $F_a/C_0$  oranı = 0.016 olur ve e sayısı 0.22 olarak tablodan bulunur. Buna göre  $X=0.56$  ve  $Y=2$  olur.

$$P = 0.56 \times 981 + 2 \times 300 = 1150 \text{ N}$$

bulunur.

$$\frac{C}{P} = 8.14 \text{ olduğundan } C = 961 \text{ N'dur}$$

ve SKF6012'nin dinamik yük sayısından (22800 N) düşükdür, dolayısıyla bu seçim güvenlidir.

Arka yatak için öngörülen SKF 1209 oynar yataklı rulmanı için,  $X = 0.65$ ;  $Y = 4.5$  olarak verilmiştir. Böylelikle,

$$P = 0.65 \times 981 + 4.5 \times 300 = 1988 \text{ N'dur},$$

dolayısıyla

$$C = 8.14 \times P = 16182 \text{ N}$$

olarak bulunur.

SKF 1209 dinamik yük sayısı 16600'dür ve bu rulman güvenli olarak seçilmişdir.

Yatak seçimi yapılırken radyal ve eksenel yüklemelerin yataklara dağılımını göz önünde bulundurulmamış, her iki yatağa da yüklerin tümünün bindiği kabul edilmiştir.

### 5.3.5 Sabit Gövde Elemanları

#### 5.3.5.1 Giriş ve Çıkış Dökümleri

Giriş ve çıkış dökümlerinde etkin gerilimler, dönmeden dolayı meydana gelen dinamik kuvvetler, rotor ağırlığı ve stator bileziklerinin dönmesini engelleyen sıkıştırma kuvvetinden doğan normal ve kesme gerilimleridir. Sıkıştırma çubuklarının bağılandığı flanjlar, göbeği tutan kaburgalar ve yatakların yerleştirildiği yuvalar bu parçaların kritik kesitleridir.

##### 5.3.5.1.1 Yatak Yuvaları

Yatak yuvalarının kalınlıkları Roark (40) tarafından verilen aşağıdaki ifade kullanılarak hesaplanır.

$$M = -I_{xax} \left( L_g - \frac{C_7 L_6}{C_4} \right)$$

Sayısal değerler:

$$l \text{ (birim doğrusal dağılmış yük (N/m))} = (500 \text{ N}/0.057 \text{ (m)} \times 2\pi)$$

Burada 500 N rotorun ağırlığıdır ve montaj esnasında dökümlere yüklenmektedir.

$$a \text{ (dış çap)} = 0.14 \text{ m}$$

$$b \text{ (iç çap)} = 0.05 \text{ m}$$

$$r_0 \text{ (doğrusal dağılmış yükün uygulandığı yarıçap)} = 0.057 \text{ m}$$

$$\nu \text{ (poisson oranı)} = 0.33$$

olarak verilmiştir.

Roark'ın verdiği parametreler ise şöyledir:

$$L_g = \frac{r_0}{a} \left\{ \frac{1+\nu}{2} \ln \frac{a}{r_0} + \frac{1-\nu}{4} [1 - (\frac{r_0}{a})^2] \right\}$$

$$C_7 = \frac{1}{2} (1-\nu^2) \left( \frac{a}{b} - \frac{b}{a} \right)$$

$$L_6 = \frac{r_0}{4a} \left[ \left( \frac{r_0}{a} \right)^2 - 1 + 2 \ln \frac{a}{r_0} \right]$$

$$C_4 = \frac{1}{2} \left[ (1+\nu) \frac{b}{a} + (1-\nu) \frac{a}{b} \right]$$

Değerler yerlerine konulduğunda;

$$L_g = 0.3; \quad C_7 = 1.088; \quad L_6 = 0.098; \quad C_4 = 1.176$$

Buna göre maksimum moment;

$$M = - 1361.1 \times 0.14 \times (0.3 - \frac{1.088 \times 0.098}{1.176})$$

$$= 39.88 \approx 40 \text{ N-m/m}$$

Alüminyum malzemenin kabul edilebilir dayanım sınırı  $17.6 \times 10^6 \text{ Pa}$  olarak alınmıştır. Böylelikle minimum kalınlık;

$$t = \sqrt{\frac{6M}{\sigma}} = \sqrt{\frac{6 \times 40 \text{ N-m/m}}{17.6 \times 10^6 \text{ N/m}^2}}$$

$$= 3.7 \times 10^{-3} \text{ m} = 3.7 \text{ mm}$$

olarak bulunur.

Geometrik kabullenmelerin sonucunda öngörülen kalınlık (15 mm) hesap edilen kalınlıktan fazladır.

### 5.3.5.1.2 Bağlantı Flanjları

Bağlama çubuklarının takıldığı flanjlar, kesme gerilimlerinin etkisi altındadır. Bu kesme alanı;

$$A = 2\pi r \omega$$

İfadesiyle hesaplanabilir.

Burada;  $\omega = 0.015 \text{ m}$

$r = 0.215 \text{ m}'\text{dir.}$

Böylece,

$$A = 0.0203 \text{ m}^2$$

olarak bulunur.

Aşılınmamısı gereken kesme gerilimi:

$$(S_{sall}) = \frac{S_{all}}{2n} = \frac{55 \times 10^6 \text{ N/m}^2}{2 \times 3}$$

$$(S_s)_{all} = 9.2 \times 10^6 \text{ N/m}^2 \text{ dir.}$$

Dolayısıyla aşılınmaması gerekli kuvvet;

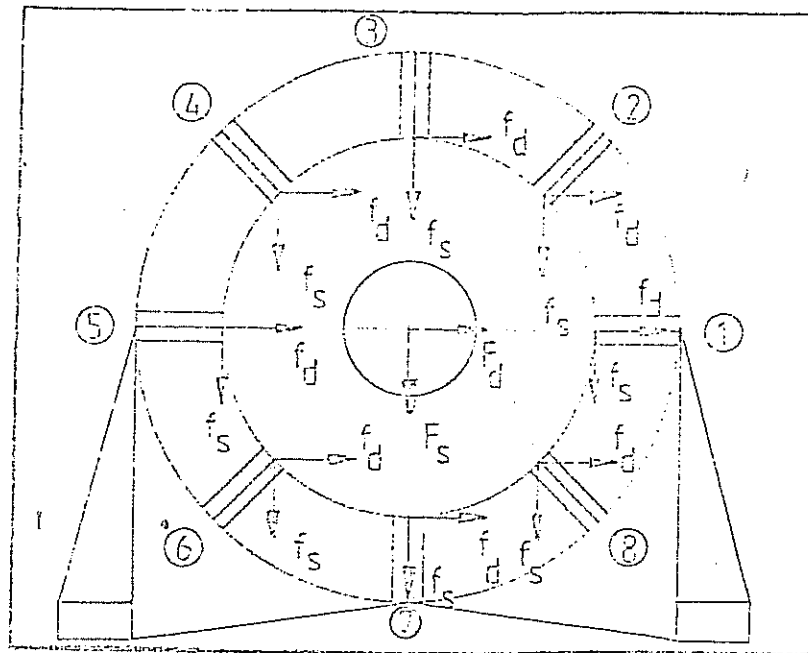
$$F = 9.2 \times 10^6 \text{ N/m}^2 \times 0.0203 \text{ m}^2$$

$$= 187 \times 10^3 \text{ N}$$

olarak bulunur.

### 5.3.5.1.3 Kaburgalar

Giriş ve çıkış dökümlerinde göbeği dış gövdeye bağlayan sekizer kaburga bulunmaktadır. Bu kaburgaların üzerindeki yükler rotor ağırlığından gelen statik yük ve dönmeden dolayı meydana gelen dinamik yüklerdir. Kaburgaların üzerindeki tipik yüklemeler Şekil 5.4'de gösterilmiştir.



Şekil 5.4 Kaburgalar Üzerinde Tipik Yük Dağılımı

Şekil 5.4'den de görüleceği gibi en kritik kaburgalar maksimum çekme gerilimi ve maksimum eğme momenti altında olan 3 ve 5 no.lu kaburgalarıdır.

Kaburgaların kesitleri hesaplamalarda eşkenar dörtgen şeklinde basitleştirilmiştir (Şekil 5.5).

Bu şekilde kaburganın kesit alanı;

$$A = (40 \times 10^{-3} \times 10 \times 10^{-3}) \text{m}^2 = 40 \times 10^{-4} \text{ m}^2$$

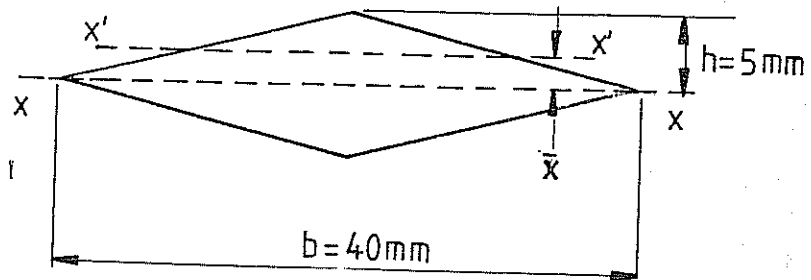
olur.

XX ekseninin etrafında atalet momenti;

$$I = I' + A\bar{x}$$

$$= \frac{1}{36} b h^3 + A \left( \frac{1}{3} h \right)$$

şeklinde ifade edilir.



Şekil 5.5 Basitleştirilmiş Kaburga Kesit Geometrisi

Burada:  $I'$   $XX'$  çizgisine göre atalet momenti

$X$  Üst üçgenin ağırlık merkezi mesafesidir.

Böylelikle ;

$$I = \frac{1}{36} \times (40 \times 10^{-3} \text{ m}) \times (5 \times 10^{-3} \text{ m})^3 + (4 \times 10^{-4} \text{ m}) \times \frac{1}{3} \times (5 \times 10^{-3} \text{ m}) \\ = 6.67 \times 10^{-7} \text{ m}^4$$

olarak bulunur.

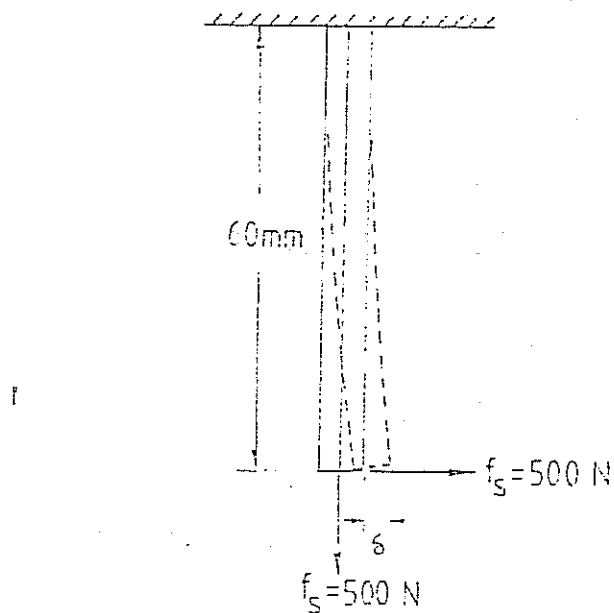
Aynı geometride iki üçgen olduğu için toplam atalet momenti;  $I = 1.33 \times 10^{-6} \text{ m}^4$  dir.

Dinamik ve statik yüklemelerin her biri 490 N olduğu için her bir kaburgaya düşen yük,

$$f_s = f_d = 490 \text{ N}/8$$

$$= 61.25 \text{ N}$$

dur.



Şekil 5.6 Kaburgaların Mukavemet Analizi

Kaburga kökündeki kesme kuvveti;

$$\sigma_s = 61.25 \text{ N} / 400 \times 10^{-6} \text{ m}^2 = 1.53 \times 10^5 \text{ N/m}^2$$

kaburga dibindeki eğme momenti;

$$M = 61.25 \text{ Nx}0.06 \text{ m} = 3.68 \text{ N-m}$$

dolayısıyla eğme gerilimi;

$$\sigma_b = \frac{M_c}{I} = \frac{3.68 \text{ N.m} \times 5 \times 10^{-3} \text{ m}}{1.33 \times 10^{-6} \text{ m}} = 1.38 \times 10^4 \text{ N/m}^2$$

çekme gerilimi ise;

$$\sigma_t = \frac{F_t}{A} = \frac{61.25 \text{ N}}{4 \times 10^{-4} \text{ m}^2} = 1.53 \times 10^5 \text{ N/m}^2$$

dir.

Böylelikle toplam gerilim;

$$\sigma_{top} = 1.53 \times 10^5 + 1.38 \times 10^4 = 1.67 \times 10^5 \text{ N/m}^2 \text{ dir.}$$

Kaburgaların üzerinde değişken yük olduğu için, yorulma, tasarım kriterleri kullanılmalıdır. Bunlar;

$$k_a = 0.5$$

$$k_b = 0.85$$

$$k_c = 0.814$$

$$k_d = 1$$

$$k_e = 0.61$$

olarak alınmıştır.

Böylece;

$$S_e = 3.12 \times 10^6 \text{ N/m}^2$$

olarak bulunur.

Aşılmasası gereken gerilim sınırı güvenlik katsayısı 3 için

$$S_{all} = \frac{S_e}{n} = \frac{3.12 \times 10^6}{3} = 1.04 \times 10^6 \text{ N/m}^2$$

olarak hesaplanır.

Malzemenin güvenli gerilimi toplam yüklenmeden fazla olduğu için tasarım güvenlidir.

### 5.3.5.2 Bağlama Çubukları

Bağlama çubuklarının uygulaması gereken en fazla kuvvet,

$$F = \frac{187 \times 10^3}{8} \text{ N} = 23375 \text{ N} \text{ dur.}$$

Burada, "187x10<sup>3</sup>(N)" bağlantı flanjları üzerindeki maksimum kesme kuvveti; "8" ise bağlama çubuğu sayısıdır. Çubukların Kesit alanları 1.13x10<sup>-4</sup> m<sup>2</sup>'dir. Çubuk malzemesinin taşıyacağı maksimum yük;

$$S_{all} = \frac{S_y}{n} = \frac{293 \times 10^6}{3}$$

$$= 9.77 \times 10^7 \text{ N/m}^2$$

aşılmasası gereken kuvvet ise;

$$F_{all} = 9.77 \times 10^7 \text{ N/m}^2 \times 1.13 \times 10^{-4} \text{ m}^2 = 11046 \text{ N}$$

ki bu flanjların taşıyabileceği kuvvetten düşüktür.

Bağlama çubuklarının uçlarındaki dişler M12'dir ve kök alanları  $79.4 \times 10^{-6} \text{ m}^2$ 'dir. Aşılmasası gereken kuvvet ise

$$F_{all} = 9.77 \times 10^7 \text{ N/m}^2 \times 79.4 \times 10^{-6} \text{ m}^2 = 7757 \text{ N} \text{ dur.}$$

Maksimum sıkma torku ise;

$$T = \frac{\pi d_m}{2} \left( \frac{\ell + \pi \mu d_m \sec \alpha}{\pi d_m - \mu \ell \sec \alpha} \right)$$

'dir ki burada:

$$F = F_{all} = 7757.4 \text{ N}$$

$$d_m = 11 \times 10^{-3} \text{ m}$$

$$\ell = \text{adım}/2 = 0.5 \times 10^{-3}$$

$$\mu = 0.25$$

$$\alpha = \text{diş açısı}/2 = 30^\circ$$

$$T = 13.05 \text{ N-m}'dir.$$

Dolayısıyla bağlama çubuklarının sıkma torku 13 N-m'yi geçmemelidir.

### 5.3.5.3 Stator Bilezikleri

Stator bileziklerinin üzerindeki gerilimler, bağıl dönmeyi önlemek için gerekli sıkıştırmadan doğan normal gerilimlerdir. Gerekli sıkıştırma kuvveti ise stator ve GYK'lari üzerindeki teğetsel kuvvetlerden hesaplanır.

GYK ve stator kanat dizinleri üzerindeki teğetsel kuvvetler, "40.3 N" ve "43.3 N" olarak hesaplanmıştır. Aluminyum-Aluminyum kuru yüzey sürtünmesi 1.05 olduğu için gerekli sıkıştırma kuvveti

$$F = \frac{40.3}{1.05} + \frac{4 \times 43.3}{1.05} = 203.3 \text{ N}$$

Bu kuvvet ise, bağlama çubuklarının normal sıkılma torklarında fazlaşıyla sağlanmaktadır.

## BÖLÜM 6

### İMALAT TASARIMI VE USULLERİ, MONTAJ

#### 6.1 İMALAT TASARIMI VE USULLERİ

Tasarımlanan eksenel kompresörün ön-montaj resmi, tasarım kriterleri ve geometrik tasarım göz önünde bulundurularak çizilmiştir. Ön-montaj resminden çıkarılan boyutların güverilirliği, mukavemet hesapları ile doğrulanmıştır. Kısmi montaj ve imalat resimleri, doğrulanın ön-montaj resminden çıkarılarak çizilmiştir. Parçaların imalat tasarımları bu resimler ve mukavemet hesapları kullanılarak yapılmıştır.

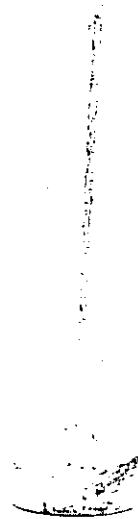
##### 6.1.1 Kompresör Kanatçıklarının İmalat Tasarımı ve Denenen İmalat Usulleri

Kompresör kanatçıklarının imalatı projenin kritik imalatıdır. Kanatçıkların teknik resimleri, kanatçık açıları, kanatçık kamburu, duruş açıları hesaba katılarak çizilmiştir. Bu resimler kullanılarak yeterli hassasiyetle kanatçık modelleri imal ettermek ne bölümümüzde, ne üniversitemiz içinde ve ne de Ankara çevresindeki küçük sanayide mümkün olabilmiştir. Zorunlu olarak tasarlanan kanatçık açılarına ve boyutlarına uygun, daha önceden yurt dışında imal edilmiş kanatçıklar model olarak kullanılmıştır (Şekiller 6.1, 6.2). İlk olarak denenen imal metodu, hazır kanatçıklar model olarak kullanılmış ve kum döküm yöntemi ile aluminyum kanatçıklar dökülmüştür. Bu kanatçıkların dibindeki civata da, aynı malzemeden daha sonra işlenmek üzere beraberce dökülmüştür. Bu deneme sonucunda civata dişlerinin açılması ve yüzey pürüzlülüğü problemleri ile karşılaşılmıştır. Ayrıca rotor kanatçıkları için daha önemli olarak aluminyum dişlerin mukavemeti yeterince güvenli bulunmamıştır.

Daha sonra kanatçık diplerine çelik civatalar gömülüme suretiyle kum döküm yapılmış, diş mukavemeti sağlanmış ancak bu defa civataların merkezlenmesi problemi ile karşılaşılmıştır. Ayrıca rotor kanatçıklarında kabul edilebilir ağırlıkların üzerine çıktıığı görülmüştür.



Şekil 6.1 Rotor Kanatçık Modeli



Şekil 6.2 Stator Kanatçık Modeli

ODTÜ, Metalurji Mühendisliği Bölümünde kokil kalıp hazırlama çalışmaları yapılmış, ancak istenilen profili tutturamama ve döküm sırasında kanatçık dibinde çatlamalar meydana gelmesi şeklinde problemlerle karşılaşılmıştır.

Ankara çevresindeki küçük sanayi sitesinde yapılan enjeksiyon kalıplarla yeterli hassasiyette bir sonuca ulaşılmıştır. Verilen kanatçık modelleri kullanılarak bakır elektrodlar hazırlanmıştır (Şekil 6.3).

Bu elektrodlar ile elektro-erozyon tezgahında rotor stator ve GYK kalıpları hazırlanmıştır (Şekil 6.4-6). Bu kalıplara enjeksiyon ile kanatçıklar dökülmüştür. Kalıplarda yüzey kalitesi ve dip civatasının merkeziliğine dikkat edilmiş ve kabul edilebilir sınırlar içinde sonuca ulaşılmıştır.

Enjeksiyon metodu için çeşitli plastik malzemeler denenmiş, bunların içinden en iyi netice cam takviyeli Noryl ile elde edilmiştir. Ulaşılan bu sonuçla, yüzey kalitesi, hafiflik, işleme ve imalat kolaylığı, dip civatası mukavemeti ve merkeziliği gibi istenilen özellikler sağlanmıştır.

#### **6.1.2 Rotor ve Stator Bilezikleri**

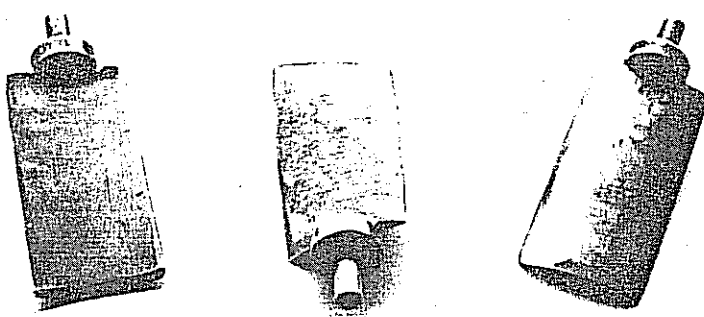
Rotor ve stator bilezikleri, gerekli paylar verilerek aluminyum alaşım malzemeden dökülmüş burçlardan tornalanarak işlenmiştir. Gerekli geçme toleransları verilmiştir. Kanatçık taşıyıcı rotor ve stator bilezikleri, bu iş için tasarlınıp imal edilmiş bir bağlama düzeni ve divizör kullanılarak frezede işlenmiştir. Kademeli olan bütün bu delikler için kademeli freze çakısı kullanılmıştır.

#### **6.1.3 Ön ve Arka Rotor Göbekleri**

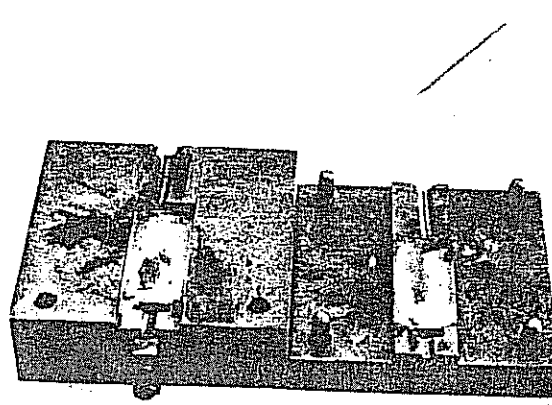
Ön ve arka rotor göbeklerinin teknik resimlerinden tahta modeller imal edilmiş, daha sonra bu modeller kullanılarak, aluminyum alaşım malzemeden dökümler yapılmıştır. Daha sonra parçalar tornalanmak suretiyle istenilen boyutlara getirilmiş ve frezede kama yollukları açılmıştır.

#### **6.1.4 Rotor Tamburu, Mil ve Bağlama Çubukları**

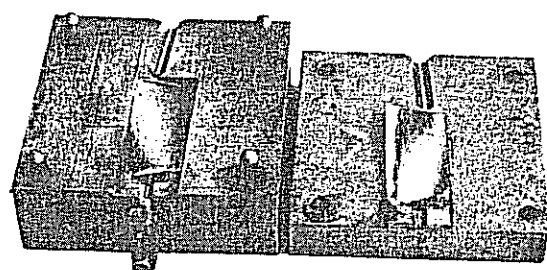
Rotor tamburunun boru malzemeden işlenip çıkarılması öngörülmüştür. Piyasadan temin edilen çekme boru tornada işlenerek rotor tamburu üretilmiştir.



Şekil 6.3 GYK, Rotor ve Stator Kanatçıklarının Bakır Elektrodları

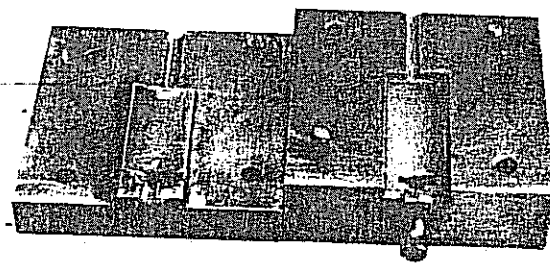


Şekil 6.4 GYK İçin Enjeksiyon Kalıbı



Fotoğraf 6.5

Şekil 6.5 Rotor Kanatçığı İçin Enjeksiyon Kalıbı



Fotoğraf 6.6

Şekil 6.6 Stator Kanatçığı İçin Enjeksiyon Kalıbı

Kompresör mili ve bağlama çubukları da piyasada bulunan yuvarlak çelikten tornalanarak üretilmiştir. Milin kama delikleri frezede işlenmiştir. Bağlama çubuklarının uçlarındaki dişler pafta ile açılmıştır.

#### **6.1.5 Giriş ve Çıkış Dökümleri**

Giriş ve çıkış dökümleri, gerek döküm gereksiz işleme yönünden karmaşık parçalardır. Bu parçaların teknik resimleri piyasada temas kurulan bir modelciye verilmiş ve tahta modeller ve maçalar yaptırılmıştır. Aluminyum alaşımı olarak döktürülen bu parçalarda, malzeme yürütmemesi, soğuma esnasında çekme ve çökmeler görülmüş ve bir kaç kez döküm yapmak zorunda kalınmıştır. Parçaların büyülüğu, bölümümüz atelyelerinde bulunan tornalarla işleme imkanı vermemiş, üniversitemizin genel atelyelerinde torna işlemleri tamamlanmıştır. Frezeleme, delik delme, dış açma gibi işlemler ise bölümümüz atelyelerinde yapılmıştır.

#### **6.1.6 Rulman Yuvaları**

Rulman yuvalarının teknik resimlerinden tahta modelleri yaptırılmış ve aluminyum alaşımından döktürüllererek tornalanmıştır.

#### **6.1.7 Giriş ve Çıkış Kanalları, Giriş Hava Alığı**

Giriş ve çıkış kanalları 2 mm galvanizli saçtan vals ile bükülerek imal edilmiştir. Kanalların birleşme yerlerine dikiş kaynağı çekilmiştir.

Hava alığının konik olması öngörülmüş ve kesik koni açılımı çıkarılıp saç malzemeden kesilmiştir. Vals ile kıvrılan iç ve dış parçaların birleşme yerleri dikiş kaynağı ile kaynatılmıştır.

#### **6.1.8 Ankaraj**

Geometriye ve statik mukavemet hesaplarına göre tasarlanmış kompresör tablosu ve bağlantılarında montajdan sonra ciddi titreşim problemleri görülmüş, bunların giderilmesi için bir titreşim analizi yapılmıştır. Bunun sonucu olarak kompresör sehpası titreşimlere karşı kuvvetlendirilmiş laboratuvar zeminine temel yapılmıştır.

## **6.2 MONTAJ**

### **6.2.1 Kanatçıkların Montajı**

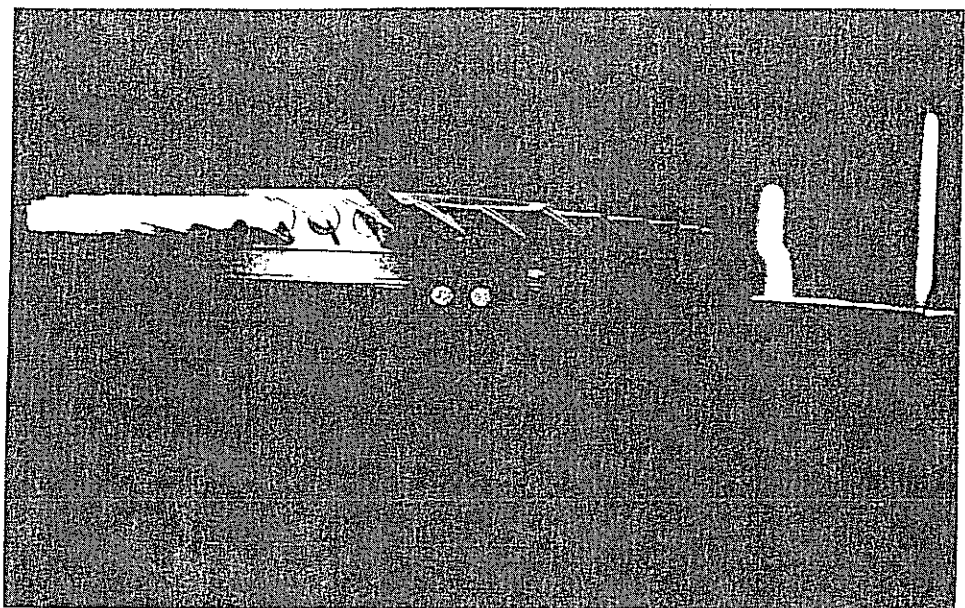
Rotor kanatçıkları milligram hassasiyetinde tartılarak, 5 mg'lık tolerans içinde eşleştirilmiş ve rotor bileziği etrafında kanatçıkların ağırlık dağılımının düzgün olması sağlanmıştır.

Rotor ve stator kanatçıkları, kanatçık bileziklerine ortalama yarıçapta-ki duruş açısına göre yapılmış bir bağlama aparatı ile bağlanmış ve sıkılmıştır (Şekil 6.7).

Aparatın özelliği kanatçığa ortalama yarıçapta keskin bir kenarla dayanması ve kanatçık dip civatası sıkılırken kanatçığın dönmesini engelle-nesidir.

### **6.2.2 Rotor Montajı**

Rotor montajı, rotor dinamik balansının yapılabilmesi için gereklidir. Kompresör ana miline rotor ön göbeği takılıp M36 civata ile sıkıştırılır. Daha sonra rotor tamburu ön göbeğe geçirilerek istenilen kombinezonda rotor bilezikleri takılır. Rotor arka göbeğinin takılıp M28 civata ile sıkılması ile rotor montajı tamamlanmış olur (Şekil 6.8).



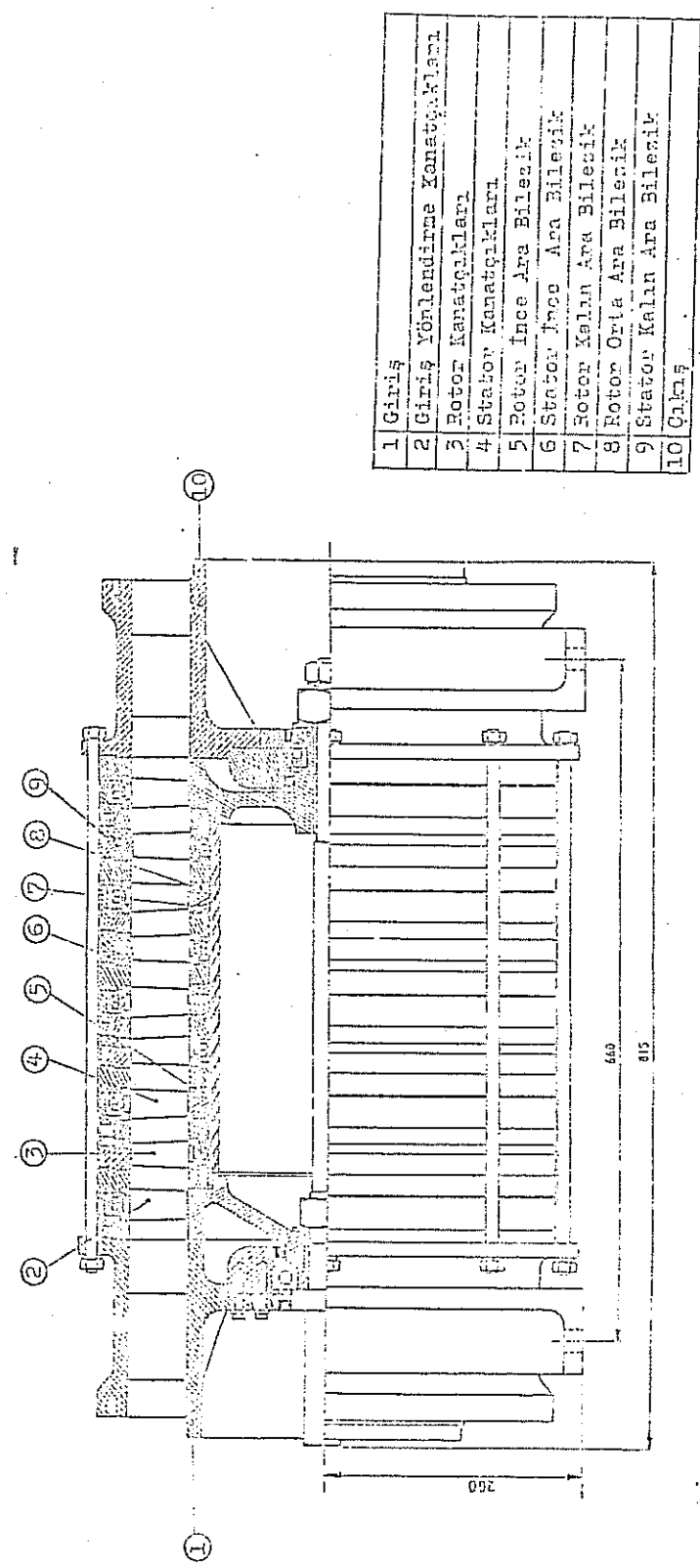
Şekil 6.7 Rotor Kanatçıklarının Açılarının Ayarlanması İçin  
Geliştirilen Bağlama Aparatı

### 6.2.3 Kompresör Montajı

Kompresör montajında rotorun monte edilmiş bir halde gövdenin içсерисне yerleştirilmek, stator kanatçıkları ve rotor kanatçıklarının çakışması nedeni ile güç olmuştur. Bu yüzden rotor, dinamik balansının bozulmaması için, balans edilen konumda hassas olarak işaretlenmiş ve sökülmüştür.

Kompresörün montajı aşağıdaki safhalarda gerçekleştirılmıştır.

- i) Kompresör girişi tahta takozlar üzerine konulur.
- ii) Rotor öngöbeği, ön yatak ve mil monte edilmiş olarak giriş parçası üzerindeki yuvaya oturtulur ve M8 civatalar ile sabitlenir.
- iii) Rotör tamburu rotor öngöbeğine, işaretine dikkat edilerek takılır.
- iv) Stator ve rotor bilezikleri numaraları ve işaretlerine dikkat edilerek sırasıyla takılır.
- v) Bütün bilezikler takıldıktan sonra rotor arka göbeği ve arka yatak monte edilmiş halde takılır. Takometre prop diskı de takılıp M28.civata ile sıkılır.
- vi) Ön giriş ve çıkış parçalarının ayaklarla aynı hızadaki bağlama civataları da takıldıktan sonra çıkış parçası yerleştirilir. Arka yatak M8 civatalarla tutturulur.
- vii) Bağlama çubukları takılıp civata boşlukları alınıncaya kadar sıkılır.
- viii) Kompresör oturma düzlemi, giriş ve çıkış parçalarının tabanlarından ayarlanır. Rotor bir-iki tur çevrilerek kanat sürüünmesi varsa bilezikler hafifçe vurulmak sureti ile hizalanır. Bağlama çubukları 35 N·m tork ile sıkılır.
- ix) Kompresör ayakları üzerine indirilip civataların sıkılığı kontrol edilerek montaj tamamlanır.
- x) Kompresör sehpası üzerine calaskar vasıtasi ile yerleştirilip ayaklar 125 N·m tork ile sıkılır.
- xi) Kardan mili kompresör tarafına takılır. Giriş ve çıkış kanalları takılıp sıkılır.



Şekil 6.8 Tasarımınan Eksenel Akışlı Kompresörün Montaj Resmi

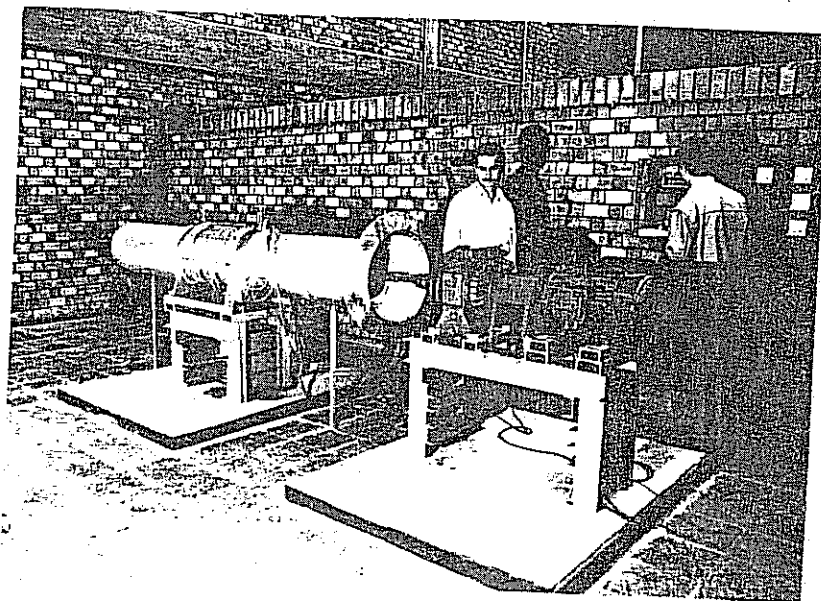
## BÖLÜM 7

### DENEY DÜZENİ VE PERFORMANS DENEYLERİ

İmal edilen dört kademeli eksenel kompresörün, giriş ve çıkış kanalları ile birlikte kademe ve tüm performansının belirlenmesi için deneyler yapılmıştır.

#### 7.1 DENEY DÜZENİ

Deney düzeneinde güç ünitesi ile kompresör iki ayrı konstrüksiyon ve temel üzerine oturtulmuştur. Hava, giriş kanalındaki, hava alığından emilir. Kompresör, iki ucunda kardan kavraması bulunan, bir mil vasıtası ile çalıştırılır. Güç ünitesinde a-sekron bir elektrik motoru, mekanik, sürekli hız değiştiriciye (kopp variator) bağlanmıştır.



Şekil 7.1 Deney Düzeninin Genel Görünüsü

Debi, çıkış kanalının sonuna yerleştirilmiş bir hava ayar klapesi ile ayarlanır. Debi ölçümü giriş kanalına yerleştirilmiş pitot tüpleri kullanılarak yapılmaktadır. Kompresör gövdesinde statik basınç ve sıcaklık ölçüm delikleri vardır. Ayrıca giriş ve çıkış parçalarında toplam basınç ölçmek için pitot tüpü veya akış yönünde belirliyen "yaw-metre" leri yerleştirmek üzere delikler açılmıştır.

Ön ve arka yatak rulmanlarının yağlanması yağdanlıklar ve yağ kanalları vasıtası ile yapılmaktadır.

1500 d/d, 15 kW, A.C. elektrik motoru, termik röle kontaktör ve Y-A anahtar, voltmetre, ampermetre, içeren bir anahtar panosundan idare edilir. Motor, varyatöre elastik kaplin vasıtası ile bağlanmıştır (Şekil 7.2).



Şekil 7.2 Motor ve Kopp Varyatör

Varyatörün çıkış hızı 450 den 4200 d/d a kadar sürekli olarak değişti-  
rilebilir.

Giriş ve çıkış kanalları çapları kompresör iç ve dış çapına uygun içiçe  
daireler şeklindedir (halka kesitli).

## 7.2 ÖLÇÜM CİHAZLARI

### 7.2.1 Kompresör Mili Dönme Hızı Ölçümü

Kompresör mili dönme hızı ölçümü sayısal devir, ölçerle yapılmaktır. Kompresör milinin arkasına monte edilen diskin etrafında eşit olarak yerleştirilmiş altmış yarık bulunmaktadır. LED (Light Emitting Diode) ve fotosel içeren hissedici (sensor), dönüş hızı ile bağıntılı olarak değişen kesintileri hissetmekte ve sinyalı sayıcı/devir ölçüre göndermektedir. Bu cihaz her saniyedeki sinyalleri saymakta ve sayısal olarak d/d cinsinden göstermektedir.

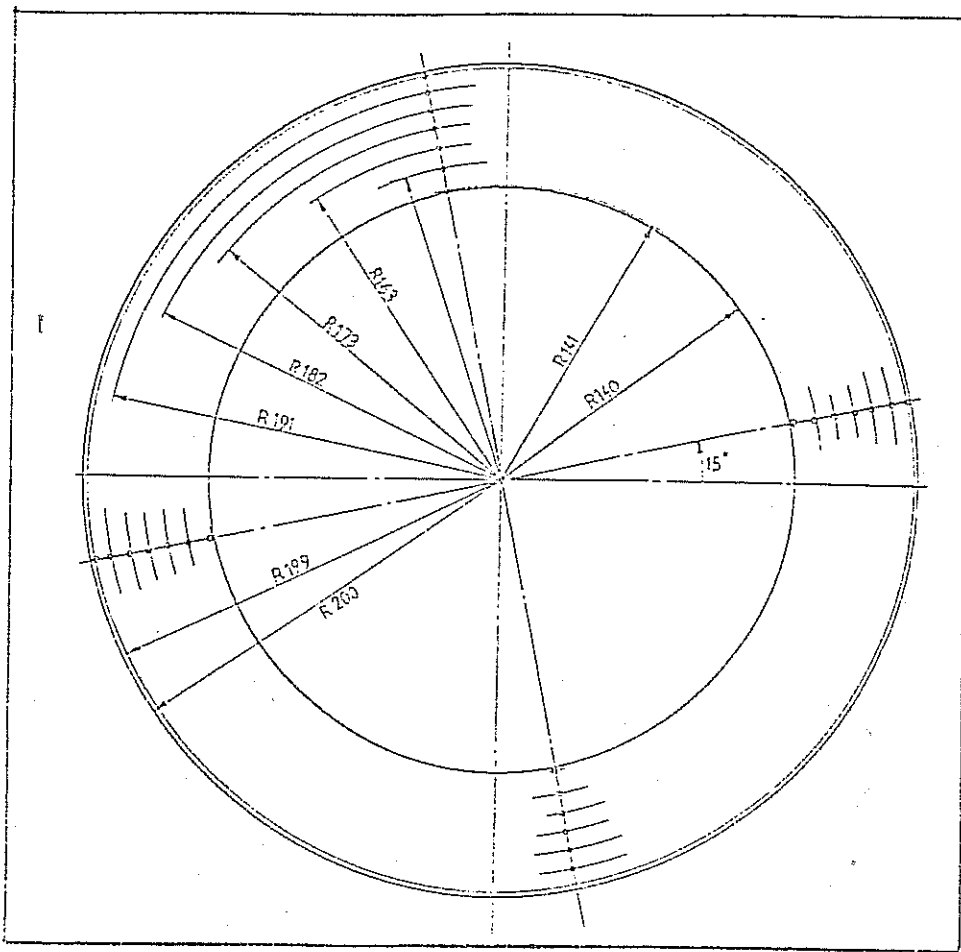
### 7.2.2 Hava Debisi Ölçümü

Hava debisi, girişin 0.8 m gerisine yerleştirilen pitot tüplerinden elde edilen toplam ve statik basınç verileri kullanılarak hesaplanmaktadır. Bu eksenel kesitte her  $90^{\circ}$ 'ye yerleştirilmiş dört takım pitot tüpü vardır (Şekil 7.3). Her takım yedi tane tüp içerir ve aynı çaptaki dört tüp, o çapta ortalama bir toplam basınç elde edebilmek için, paralel bağlanmıştır. Kanaldaki hız profili, ölçülen toplam ve statik basınçların farkından bulunur. Debi ise bu hız profilinin kesit alanına göre numerik integrasyonu ile hesap edilir.

### 7.2.3 Basınç Ölçümleri

Kompresör kademe ve tüm performanslarının elde edilmesi için statik basınçlar seçilen eksenel konumlarda her  $90^{\circ}$ 'de yerleştirilmiş statik basınç uçları ile ölçülmüştür (Şekil 7.4). Her eksenel konumdaki uçlar statik basıncın ortalama değerini vermek üzere birbirlerine Şekil 7.5'de gösterildiği şekilde bağlanılmışlardır.

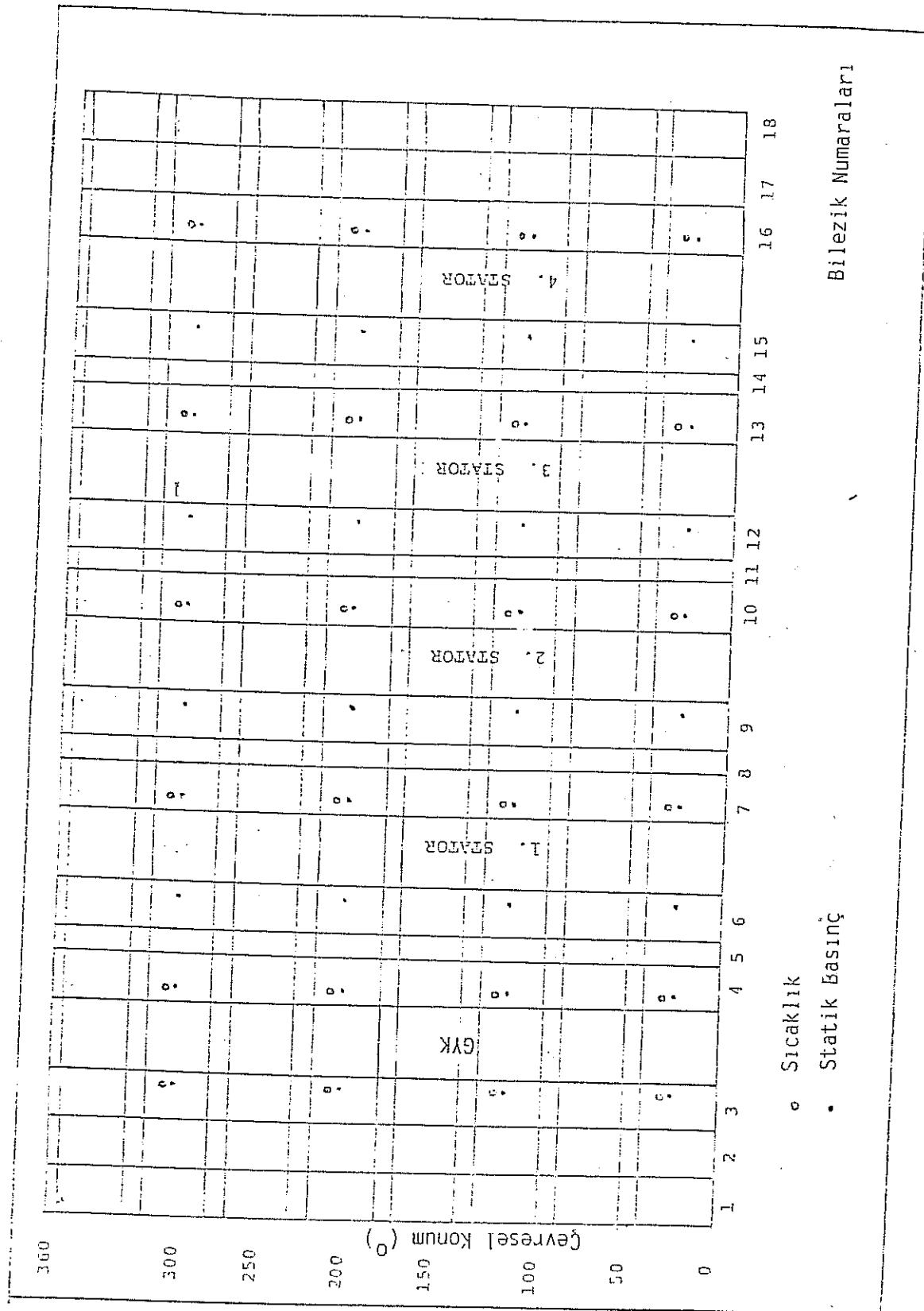
Bütün basınçlar 36 tüplü, 0.6 m uzunluğunda eğilebilir manometre ile ölçülmüştür. Manometre sıvısı olarak, daha iyi meniscus oluşturmaması, daha hassas okuma imkanı olması ve kolaylıkla görülebilmesi için renklendirilmiş alkol kullanılmıştır. Küçük basınçlar için manometre eğilebilmektedir.



Şekil 7.3 Pitot Tüplerinin Radyal ve Çevresel Konumları

#### 7.2.4 Sıcaklık Ölçümleri

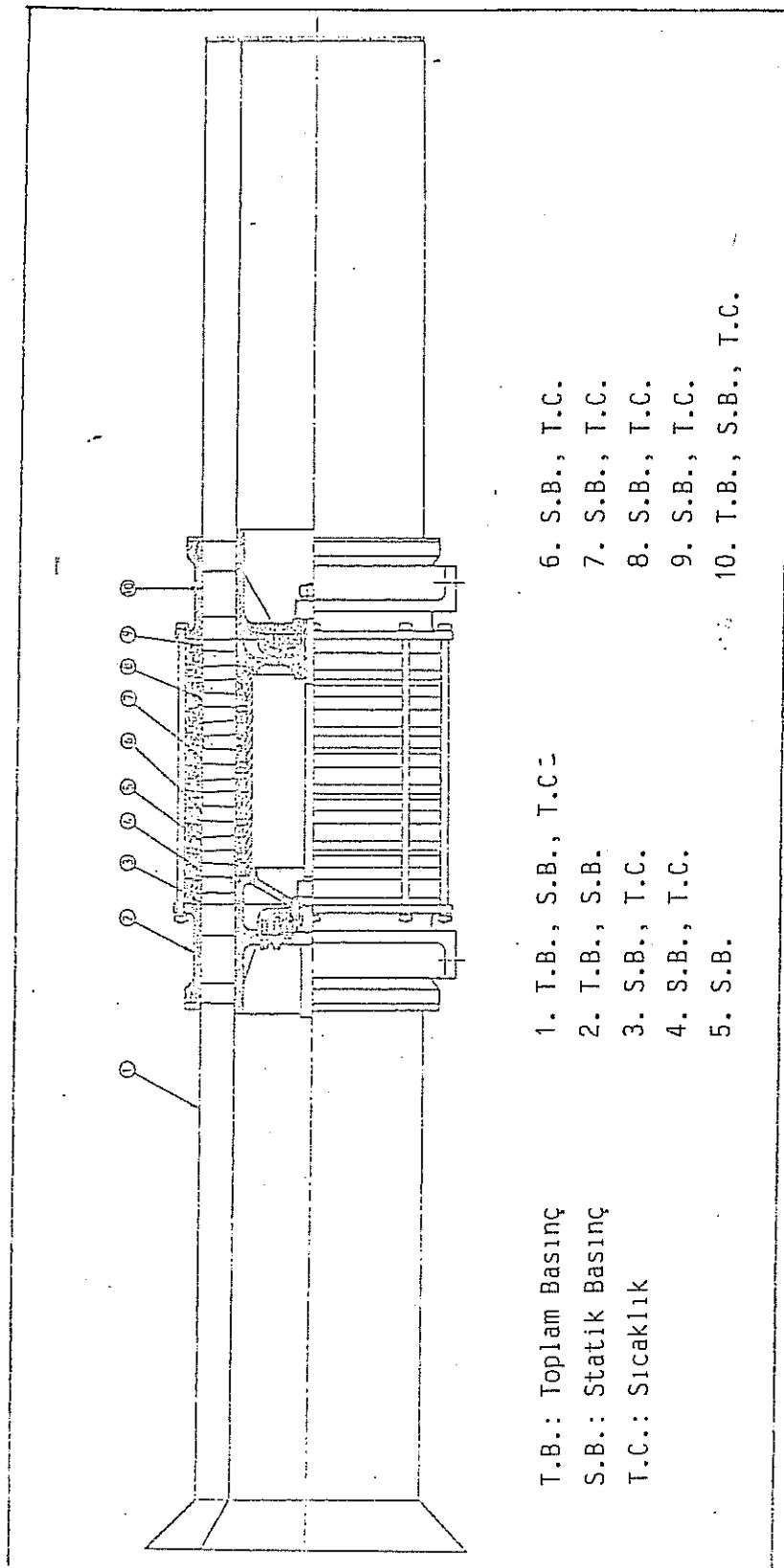
Sıcaklık ölçümleri için termoeleman çiftleri (thermocouple) ve bunların seri bağlanması ile elde edilen "thermo-pile" lar kullanılmıştır. Sıcaklık ölçüm noktalarının eksenel ve çevresel konumları (Şekil 7.4, 7.5 ve Şekil 7.6)'da gösterilmiştir. Her eksenel konumdaki termo eleman çiftleri paralel bağlanmıştır. Termopile bağlantısı ise Şekil 7.7'de gösterildiği gibidir.



Şekil 7.4 Kompresör Gövdesindeki Statik Basınç ve Sıcaklık Ölçüm Uçlarıının Çevresel Konumları

Bilezik Numaraları

- Sicaklık
- Statik Basınç



**Şekil 7.5 Sıcaklık ve Basınç Ölçümlerinin Eksenel Durumları**

Thermoeleman çifti olarak bakır-konstantan çifti kullanılmıştır. Kalibrasyon eğrileri referans (42)'den alınmıştır.

### 7.3 VERİLERİN DEĞERLENDİRİLMESİ

#### 7.3.1 Dönme Hızı

Dönme hızı sayısal takometre ile d/d cinsinden doğrudan okunmaktadır. Okunan devir standart sıcaklık olan  $288^{\circ}\text{K}$  ile aşağıdaki şekilde düzeltilmektedir;

$$N_c = \frac{N}{\sqrt{\theta}} \quad (7.1)$$

Burada N takometreden okunan devir sayısı,  $T_a$  ise çevre sıcaklığı,  $\theta$  ise:

$$\theta = \frac{T_a}{288 \text{ K}} \quad \text{dir.} \quad (7.2)$$

#### 7.3.2 Basınçlar ve Sıcaklıklar

Basınç okunan alkol sütunu yüksekliğinden aşağıdaki şekilde bulunur;

$$P = P_a + \rho_{alc} g(h_{ref} - h) \sin \alpha$$

Burada P hesaplanmak istenen basınç

$P_a$  çevre basıncı

$\rho_{alc}$  alkolün yoğunluğu ( $802.3 \text{ kg/m}^3$ ) ( $15^{\circ}\text{C}$ 'da)

$g$  Standart yerçekimi ivmesi ( $9.81 \text{ m/s}^2$ )

$h_{ref}$  referans basınç seviyesi

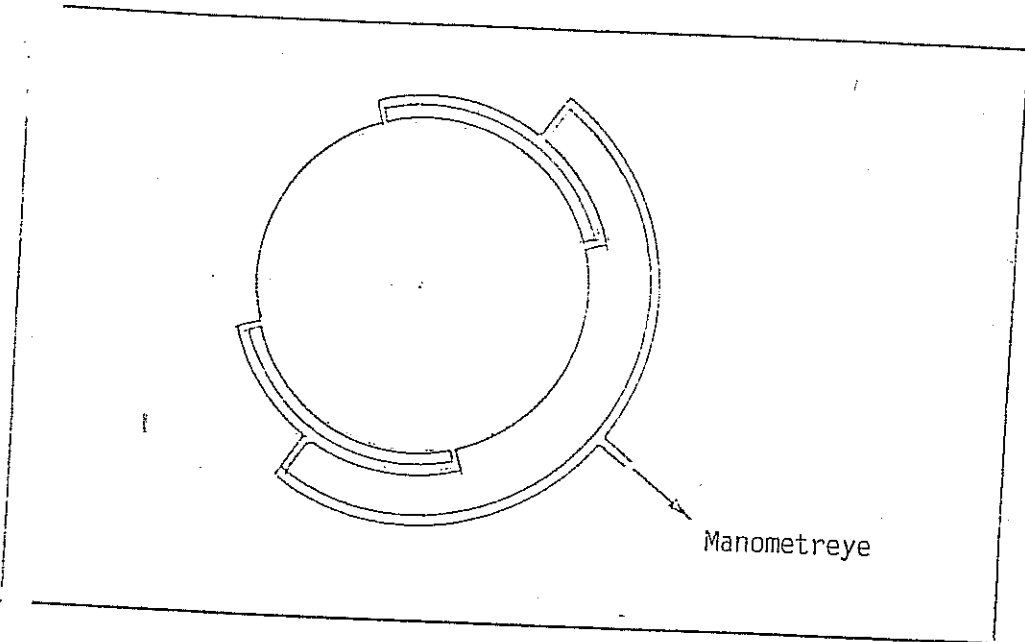
$h$  ölçülen alkol sütunu seviyesi

$\alpha$  manometre eğikliği

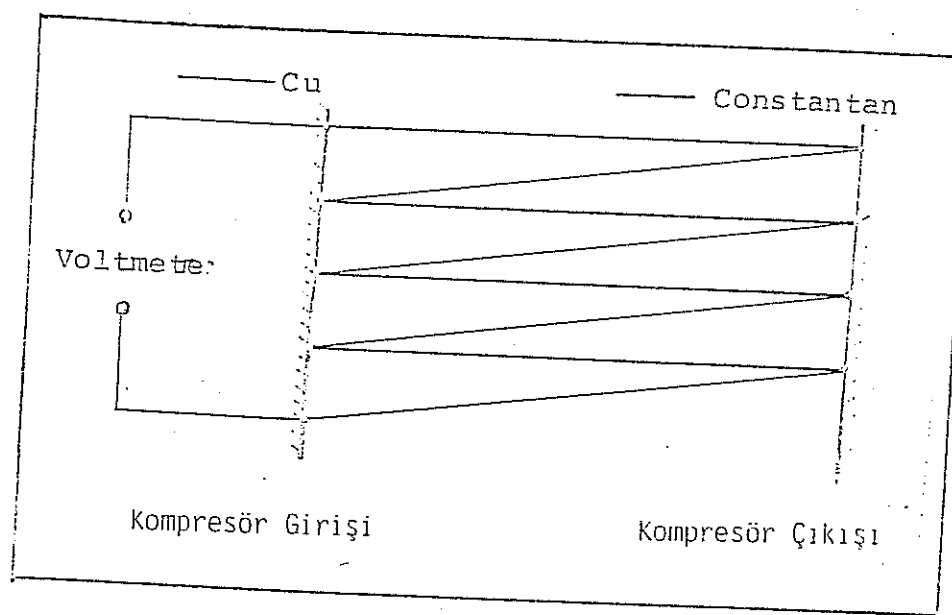
Sıcaklıklar, bakır-konstantan termoeleman çiftleri ve thermopilelerden bakır-konstantanın kalibrasyon eğrisi kullanılarak hesaplanır.

#### 7.3.3 Hava Debisi

Hava debisi 1. ölçüm kesitinde (Şekil 7.6) ölçülen basınç ve sıcaklık değerleri ile hesap edilir. Her bir pitot tüpünden yerei hava hızı,



Şekil 7.6 Her Eksenel Konumda Statik Uçların Manometre Bağlantısı



Şekil 7.7 Thermopile Bağlantısı

$$V_i = \left[ \frac{2(P_{1,i} - P_i)}{\rho} \right]^{1/2} \quad (7.3)$$

olarak hesaplanır.

Bu hız değeri, iç ve dış çapları aşağıda belirtilen çevresel alan parçasından (annulus) geçen havanın ortalama hızı olarak kabul edilmiştir.

$$r_j = (r_i + r_{i-1})/2 \quad (7.4a)$$

$$r_{j+1} = (r_i + r_{i+1})/2 \quad (7.4b)$$

burada  $r_i$  pitot tüplerinin konumlandığı yarıçaplar  
 $r_j$  alan parçasının sınır çaplarıdır.

Böylelikle  $V_i$  hızının etki alanı

$$A_i = \pi(r_{j+1}^2 - r_j^2) \quad (7.5)$$

olacaktır.

Toplam debi ise,

$$\dot{m} = \rho_{\text{hava}} \sum_{i=1}^7 A_i V_i \quad (7.6)$$

Burada  $\rho_{\text{hava}}$ , 1. ölçüm kesitinde ölçülen basınç ve sıcaklığı hesaplanmıştır.

Debi, standart basınç ve sıcaklık ile şu şekilde düzelttilir,

$$m_c = \frac{\dot{m}\delta}{\sqrt{\theta}} \quad (7.7)$$

Burada

$$\delta = \frac{P_a}{1.03 \text{ kPa}} \quad ; \quad \theta = \frac{T_a}{288 \text{ K}}$$

dir.

#### 7.4 KADEME PERFORMANS PARAMETRELERİNİN HESAPLANMASI

Akış katsayısı,  $\emptyset$ , ölçülen eksenel hızdan ve dönme hızından hesaplanır.

$$\emptyset = \frac{V_a}{U} \quad (7.8)$$

İfadesinde  $V_a$  = ortalama hız

$U$  = ortalama kanatçık yüksekliğindeki kanatçık hızıdır.

Kademe yüklenmesi  $\phi$ , kademe giriş ve çıkışı arasındaki sıcaklık farkı, ortalama kanatçık hızı ve havanın sabit basınçtaki özgül ısısı kullanılarak hesaplanır.

$$\phi = C_p \frac{T_s - T_3}{U^2} \quad (7.9)$$

Kademe basınç artışı katsayıısı ise;

$$\frac{\Delta P}{\rho U^2} = \frac{P_{14} - P_{12}}{\rho U^2} \quad (7.10)$$

olarak ifade edilebilir.

Burada giriş şartlarından hesaplanan hava yoğunluğuudur. Basınç için kullanılan gösterim Tablo 7.1'de verilmiştir.

Kademe verimi;

$$\eta_s = \left( \frac{\rho}{C_p} \frac{\Delta P}{\Delta T} \right) \quad (7.11)$$

İfadesinden hesaplanabilir.

Bu ifadede  $\Delta P$  ve  $\Delta T$ , 3. ve 9. ölçüm istasyonları arasındaki statik basınç ve sıcaklık değişimleridir.

#### 7.5 PERFORMANS PARAMETRELERİ

Düzeltilmiş hız ve debi (7.1) ve (7.7) eşitliklerinden hesaplanır. Statik basınç oranı 3. ve 9. ölçüm istasyonlarında ölçülen değerlerin oranıdır.

TABLO 7.1 Basınç Ölçümleri İçin Gösterim

Index	Konum No (Şekil 7.4)	Konum	Cins
1	2	Giriş Parçası (Döküm)	Statik
2	2	Giriş Parçası (Döküm)	Toplam
3,4,5,6			Pitot Tüpleri
7,8,9	1	Giriş Kanalı	(Toplam)
10	1	Giriş Kanalı	Pitot Tüpleri
			(Statik)
11	3	Kompresör Girişi	Statik
12	4	1. Rotor Girişi	Statik
13	5	1. Rotor Çıkışı	Statik
14	6	1. Kademe Çıkışı	Statik
15	7	2. Kademe Çıkışı	Statik
16	8	3. Kademe Çıkışı	Statik
17	9	Kompresör Çıkışı	Statik
18	-	-	Referans
19	10	Çıkış Parçası (Döküm)	Statik
20	10	Çıkış Parçası (Döküm)	Toplam

$$R_s = \frac{P_{17}}{P_{11}}$$

Toplam basınç oranı ise, 2. ve 9. ölçüm istasyonlarında ölçülen değerlerin oranıdır.

$$R_t = \frac{P_{20}}{P_2}$$

Toplam "statik-statik" verim,

$$\eta_c = \frac{T_q' - T_3}{T_g - T_3}$$

dir. Burada

$$T_q' = T_2 \left( \frac{P_{17}}{P_{11}} \right)^{k/(k-1)}$$

dir.

## 7.6 İZLENEN DENEY PLANI

Tasarlanıp imal edilen kompresörün performans deneyleri aşağıda verilen deney planı izlenerek yapılmıştır.

- i) Çevre sıcaklığı ve basıncını, tarih ve zamanı kaydedin. Manometre atmosfer seviyesini ayarlayın ve termostaki su-buz karışımını kontrol edin,
- ii) Yağdanıkları açın ve her saniyede bir damla yağ gelecek şekilde ayarlayın,
- iii) Aerodinamik stabilité ve kalkış yükünü azaltmak için hava ayar klapesinin tam açık olmasına dikkat edin. Deney düzeninin genel durumuna bakın. Milin rahat dönüp dönmediğini kontrol edin.
- iv) Hava girişinin çevresinde, emiliip yabancı madde təhribine yolaçabilecek hafif ve serbest cisimler olmamasına dikkat edin.

- v) Varyatörün yağını kontrol edin.
- vi) Hız göstergesinin bağlı olup olmadığını kontrol edin.
- vii) Ana elektrik dolabındaki anahtarı açın ve motor elektrik panelindeki üç uyarı lambasının yanlığını görün. (Eğer bunlardan biri/birkaçı yanmıyorsa sigortalarını değiştirin.) Emniyet mandallarını boşaltın ve " " şalterin "0" pozisyonunda olduğuna emin olup kontrol paneline ve " " şaltere elektrik verin voltmetrenin 380 V gösterdiğini ve ampermetrelerin yanındaki lambaların yanlığını görün. Motoru konumuna getirerek çalıştırın. Motor yaklaşık 450 rpm hızla dönmeye başlamıştır. Şalteri konumuna getirin.
- viii) Varyatör kolunu gerekli yöne çevirerek hızı istediğiniz değere getirin. Hız göstergesi ve manometreler durgun hale gelinceye kadar bekleyin. Sıcaklıklar için ölçülen millivolt değerlerini selektör yardımı ile, basınçları ise manometreden alkol yüksekliği değişimini olarak okuyun. Dönme hızını sabit tutarak, hava ayar klapesi konumunu değiştirip değişik debilerde değerler alın. Buna alternatif olarak hava ayar klapesi konumunu sabit tutarak değişik dönme hızlarında değerler alınabilir.
- ix) Sistemi durdurmak için hızı 450 dev/dak'ya indirin ve stop-siviclerin birini kullanarak motoru durdurun. Şalteri "0" konumuna getirin.

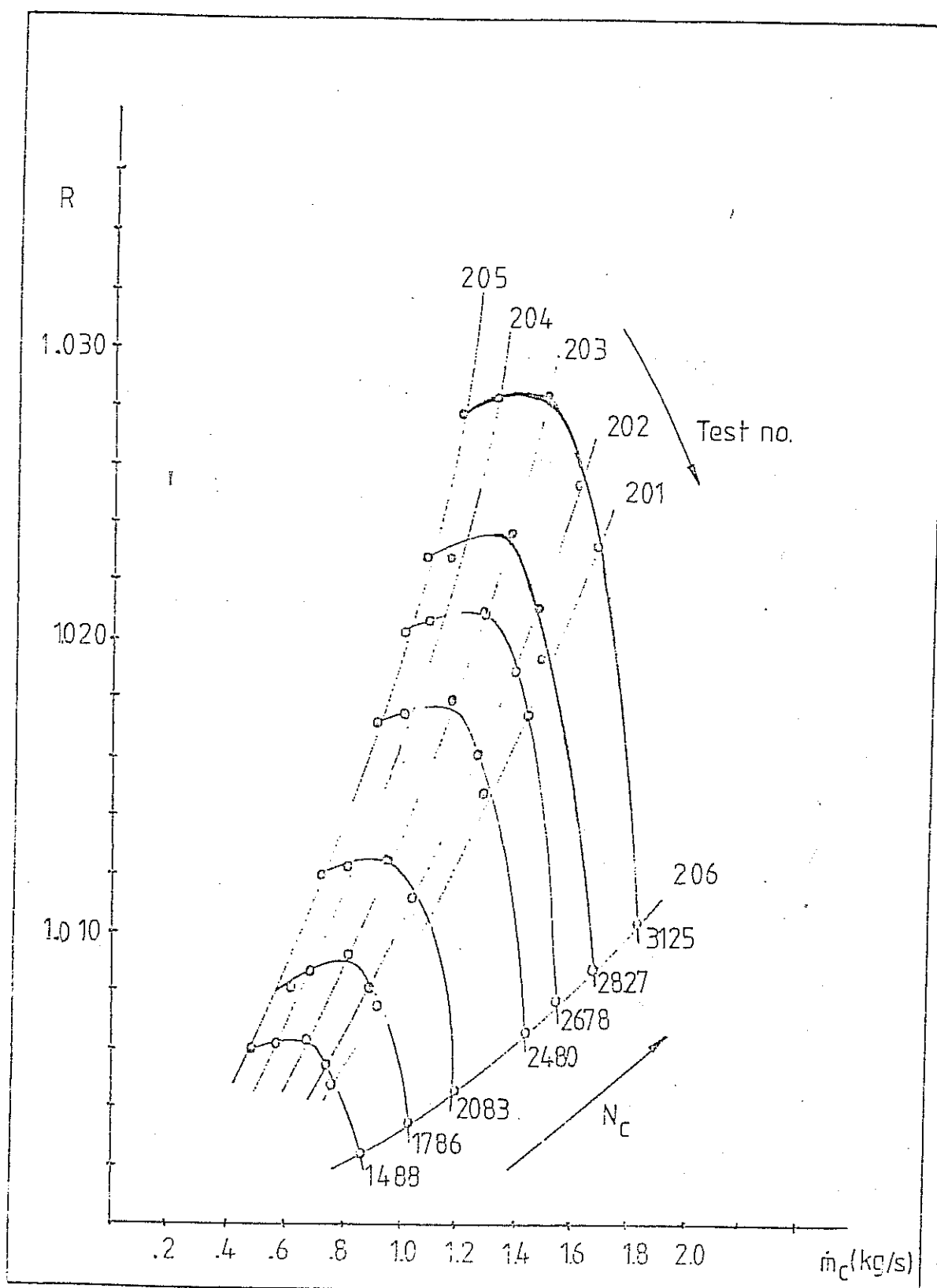
## 7.7 DENEYLER VE DENYE SONUÇLARI

Yapılan deneylerin amacı tasarlanıp, imal edilen kompresörün tüm ve kademe performanslarının çıkarılmasıdır. Deney düzeninin ve ölçüm aletlerinin kontrolü ve denenmesi için yapılan bir dizi ön deneyden sonra iki dizi deney yapılmıştır. Bunlardan 100'den itibaren numaralandırılanlar, dönme hızı sabit tutulup, hava ayar klapesi konumu değiştirilerek yapılmış deneylerdir. 200'den itibaren numaralandırılan ikinci dizi deneyde hava ayar klapesi konumu sabit tutulup dönme hızı değiştirilerek sabit yük (fixed throttle) verileri elde edilmiştir.

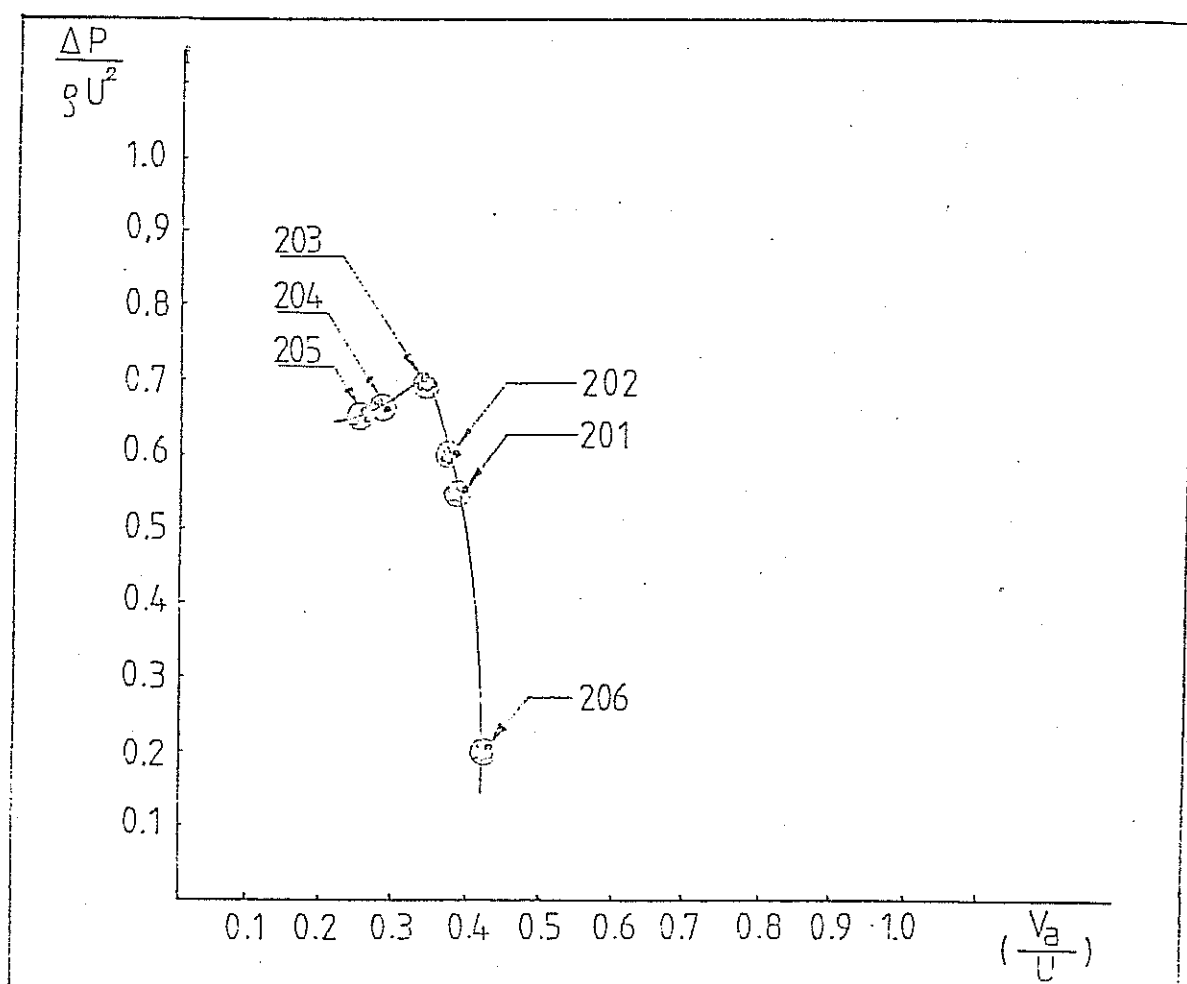
Kompresörün performans haritası Şekil (7.8)'de görülmektedir. Bu harita sabit yük (fixed throttle) eğrileri çizilerek elde edilmiştir. Boyutsuz tüm

performans ise Şekil (7.9)'da verilmektedir. Sabit yük çizgileri,  $\Delta P/U^2$  grafiğinde nokta grupları halinde görülmektedir.

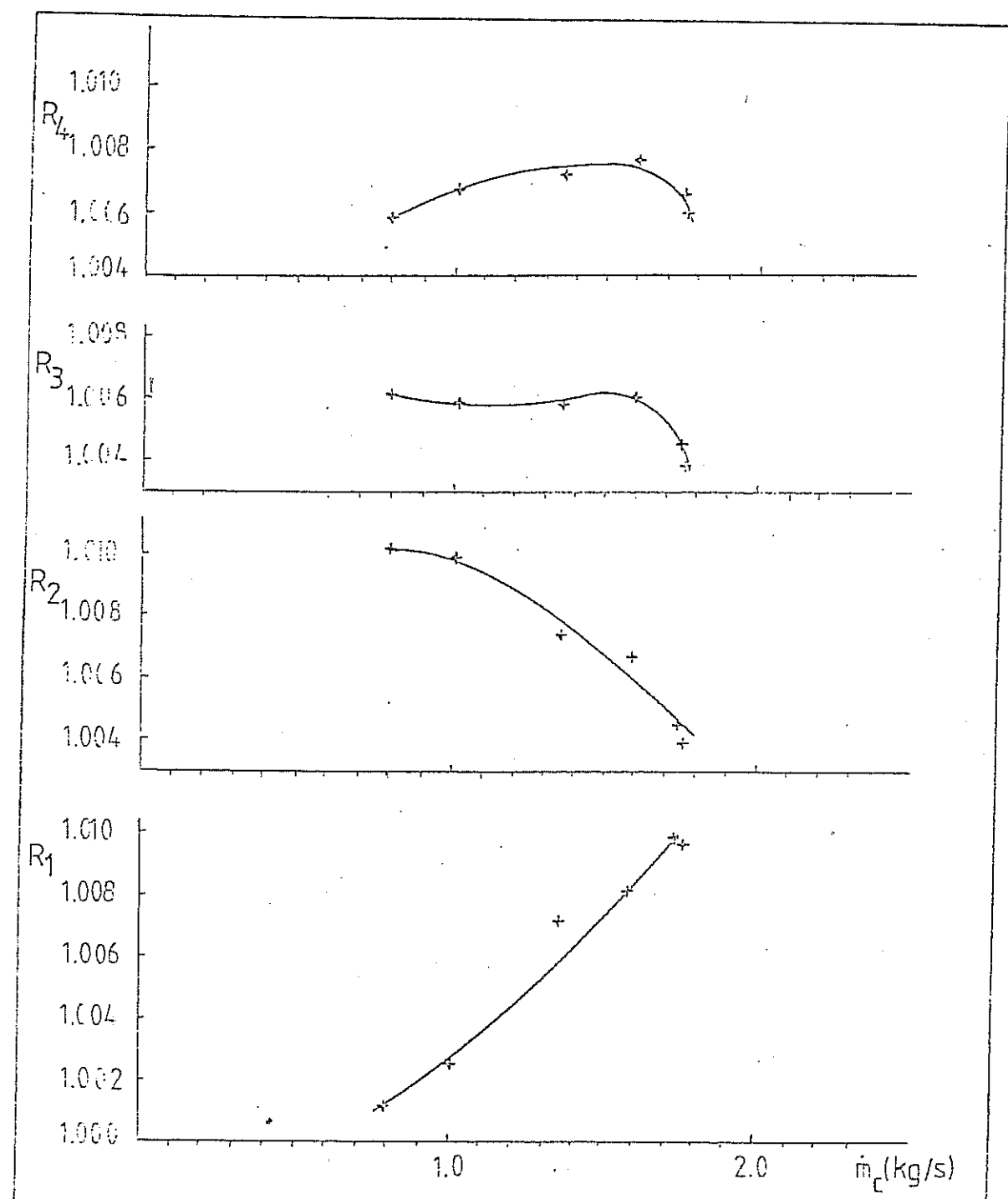
İlgili çekici bir deney sonucu Şekil (7.10)'da görülmektedir. Birinci kademedede ayrışma vardır ve bunun etkileri arka kademelerde de görülmektedir. Birinci kademedeki ayrışma durumu Şekil (5.11)'de de görülmektedir. Birinci kademedeki ayrışmanın muhtemel nedenleri ve etkileri bir sonraki kısımda tartışılmıştır.



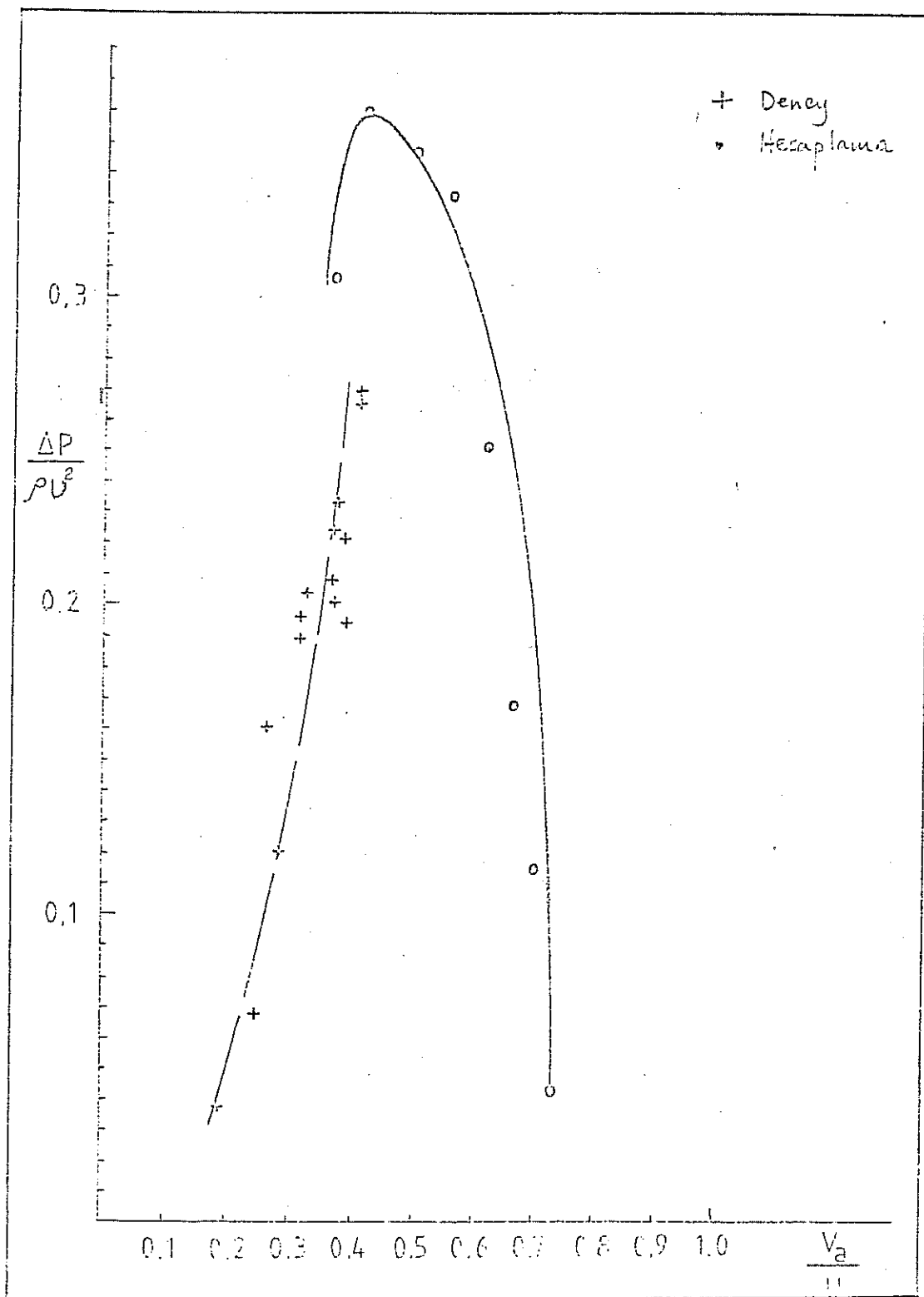
Şekil 7.8 Kompresörün Performans Haritası



Sekil 7.9 Kompresörün Boyutsuz Karakteristiği



Şekil 7.10 Kademe Performansları



Şekil 7.11 İlk Kademenin Karakteristiği

## BÖLÜM 8

### TARTIŞMA, SONUÇ VE ÖNERİLER

Bu çalışmanın tartışması iki ana konuda yapılabilir. Bu konular, her ne kadar aralarında sebep-sonuç ilişkisi varsa da;

- i) tasarım, imalat ve montaj safhası
- ii) kompresör performansı,

olarak belirlenebilir.

#### 8.1 TASARIM, İMALAT VE MONTAJ SAFHASI

##### 8.1.1 Kanatçık Tasarımı

Kanatçık tasarımları üç safhada yapılmıştır.

- i) Kanatçıkların aerodinamik tasarımı.
- ii) İki boyutlu kanatçık dizini, eşilişkileri ve test sonuçları.
- iii) Sonuçların kompresöre uyarlanması.

Kompresörün aerodinamik tasarımına yeni bir yöntem getirmek yerine klasikleşmiş metodların kullanımı amaçlanmıştır. Zamana bağlı olmayan, vızkoz olmayan, iki boyutlu akış, ortalama yarıçapta çözülmüş ve serbest vortex ve radyal denge kuramı ile kanatçık açılarının radyal yönde değişimleri hesaplanmıştır. Kayıp ve sapmalar için literatürdeki en basit yöntem olan Howell ve Carter eşilişkileri kullanılmıştır. Hız profillerinin eksenel yöndeki değişimi için "yapılan iş faktörü" kullanılmıştır.

##### 8.1.2 Kanakçıkların İmalatı

Kanakçıkların geometrisi, literatürden alınan aerodinamik test sonuçları ile amaca en uygun olarak seçilmiş NACA 65 - A10

veya C4 tipli kompresör kanatçığı temel profilleri ile elde edilebilir. Ancak döküm kalıplarının yapıldığı bakır elektroların teknik resimden imalının ülkemizin bugünkü şartlarında, yeterli düzeyde hassasiyetle mümkün olmadığı gözlenmiştir. Bunun üzerine kanatçıklar temin edilmiş benzer bir kompresörün C4 tipli kanatçıklarından kopyalanan bakır elektrodlar vasıtası ile hazırlanan döküm kalıplarında imal edilmiştir. Kanatçık imalindeki hassasiyet kayipları, eldeki modelin kendi hassasiyetsızlığı, elektrod imalindeki hatalar, elektrik aşındırma tezgahında kalıp hazırlama esnasındaki hatalar ve enjeksiyon pres dökümü sırasında tek tek kanatlarda oluşabilecek hatalardır. Burada en çok hata kanatçıkların hücum ve kuyruk kenarlarında, elle yapılan son tesviyenin getirebileceği hatalarla, kanatçığın göbeğe bağlandığı kısmın kanada göre olan tam pozisyonunda oluşabilecek hatalardır.

#### **8.1.3 İmalatta Hassasiyet**

Bölümdeki imkanlarla imalatta elde edilebilen hassasiyet şaft ve yatak yuvaları için 0.05 mm; diğer kısımlar için ise 0.1 mm'dir. Büyük parçaların imalatındaki hassasiyet kaybı takım tezgahından geldiği kadar alüminyum parçaların geriliminden de oluşmaktadır.

#### **8.1.4 Kanatçık Montajı**

Rotor kanatçıkları monte edilmeden önce balanslama kolaylığı için 0.05 g hassasiyetle çiftleştirilmişler ve rotor tamburuna  $180^{\circ}$  aralıklla bağlanılmışlardır. Bundan sonra rotor 1500 d/d'da dinamik olarak balans edilmiştir. Stator ve rotor kanatçıklarının tasarımlanan duruş açısından montajı için, hassas olarak imal edilmiş bağlama aparatları kullanılmıştır. Bu aparatla ortalama yarıçaptaki kanatçık krişinin doğrultusu kontrol edilerek ayarlanmaktadır. Balanstan gelmiş olan rotor, daha sonra iyice işaretlenip sökülmekte ve statorların arasına aynı hassasiyetle monte edilmektedir. Bu montajdan sonra çalıştırılan kompresörün balansının iyi olduğu gözlenmiş, fakat daha sonra bir miktar artan bir balans bozukluğu ortaya çıkmıştır. Tasarımda gövde ve statorların iki yarı silindirin montajından meydana geleceği bir durum bu mahzurları önleyebilirdi. Montaj sırasında gövde içinde sıkı bir şekilde duran rotor ve stator kanatçıkları uçları eğelenerek yerlerine alıstırılmış, tabii bu arada kanat ucu toleranslarının artması ile kompresör kayiplarının artmış ve performans etkilenmiş olduğu söylenebilir.

## 8.2 KOMPRESÖR PERFORMANSI

### 8.2.1 Mekanik Titreşimler

İlk performans deneyleri sırasında gözlenen ve kompresörün çalışmasını tehlikeye atan, rezonans noktalarından geçen tehlike arzeden mekanik titreşimler gerek deneysel ve gerekse kuramsal olarak incelenmiş, ODTÜ İnşaat ve Makina bölgelerinden konunun uzmanlarının yardımcıları ile ankaraj ve bağlantı parçaları yeniden, dinamik duyarlılıklar göz önünde bulundurarak tasarımlanmış, kompresör tablosu ise kuvvetlendirilmiştir. Böylece rezonans noktası 3000 d/d mertebesine çıkarılmış ve aynı zamanda kardan mili balansı yapılarak titreşimlerin genlikleri düşürülmüştür. Şu anda kompresör rezonans noktası dışında bütün devirlerde titreşimsiz, rezonans noktasında ise biraz dikkatlice çalıştırılabilir olmaktadır.

### 8.2.2 Ölçümler ve Deney Sonuçları

Kompresör performansını belirlemek için kullanılmış olan yöntemler basit olmasına rağmen standart ve güvenilir yöntemlerdir. Güvenilirlik için birçok noktadan alınan basınç ve sıcaklıklar paralel bağlanmış bir düzenden sonra okunmuştur. Bu düzen hem bir nevi ortalama değer göstermekte, hem de zamanın bağlı değişimleri bir ölçüde filtre etmektedir. Sıcaklık ölçümleri verim tesbiti için ölçülülmüş, ancak ölçülen farkların küçük olması nedeni ile yeterli hassasiyet mümkün olmamıştır. Debi ölçüyü giriş kanalında çok ucu pitot tüpü sıraları ile ölçülen hız profillerinin integrasyonu ile elde edilmiştir. Bu yöntem epeyce hassas olabilmesine karşın hızlı bir debi ayarı için çok uygun değildir. Çıkışa konulacak debi ayar vanasındaki basınç düşümünün debiye karşı kalibrasyonu, hassas olmayan, ancak kolay bir debi ayarına imkan verecek bir yöntem olabilir.

Ölçülen verilerle ilgili bir hata analizine gerek görülmemiştir. Buna sebep yapılmış olan ön-performans deneylerinin amacının niceliksel bir hassasiyetten çok niteliksel önemidir. Ölçümlerin klasik yöntemlerle yapılmış olması ve ölçüm aletlerinin basitliği esas hataların akış koşullarındaki değişimlerden oluştugu izlenimini vermektedir.

### **8.2.3 Kompresör Performansı**

Ölçülen kompresör performansı, beklenilene göre düşük çıkmıştır (Şekil 7.8). Bunun izahı için kademe performanslarına (Şekil 7.10) ve özellikle birinci kademe performansına bakıldığı takdirde (Şekil 7.11) birinci kademenin tasarım noktasına göre çok düşük debide (veya akış katsayısında) çalışmakta olduğu ve bu durumun bu kademenin dengesiz bir durumda ve kanatçık ayrışmasına maruz bir şekilde (stalled) görev yaptığı görülmektedir. Bu takip eden kademeler, kendilerini toparlamakta ve ayrışık rejimden kurtulmakta ve tasarımlanan performansı sağlamaktadır. Ancak birinci kademe tüm performansı önemli ölçüde etkilemektedir. Bu durumun sebepleri incelediğinde, hava alığı ve giriş kanalında oluşan bozuk akış (distorted flow) koşulları ve dönel akımın (swirling flow) yol açtığı, çok yüksek çarpması açısının (incidence), kanatçıklarda ayrışmaya sebep olduğu söylenebilir. Ancak bu durumun kesin olarak belirlenip giderilmesi ve/veya incelenmesi için daha planlı ve hassas deneylere gereksinim vardır. Böyle bir çalışma, sıcak tel anemometresi ve MINC veri toplama sistemleri de kullanılarak şu anda yapılmaktadır.

## **8.3 SONUÇLAR**

Bu çalışmada, tasarımlanıp imal edilen kompresör, temel ve klasik aerodinamik tasarım yöntemleri ve basit imalat yöntemleri kullanılarak geliştirilmiştir. Bu gelişim sırasında karşılaşılan çeşitli zorluk ve problemlerin her biri araştırcılara ve bilgi birikimlerine çok kıymetli tecrübeler kazandırmıştır. Bu problemler arasında mekanik titreşim ve aerodinamik kanatçık ayrışması olaylarını sayabılırız. Özellikle ikinci problem birçok araştıracının üzerinde çalıştığı güncel bir konudur.

Bir eksenel kompresörün tasarımını, yalnızca bir aerodinamik tasarım problemi olarak alınmamalıdır. Geliştirme döneminde karşılaşılan güçlüklerin nedeni genellikle mekanik, imalatla ilgili ve montajla ilgilidir. Buna birkaç örnek vermek gerekirse, kanatçık imalatında karşılaşılan problemler, imalattaki tolerans problemi, balanslama problemi, beklenmiyen parça kırılma ve dayanımsızlıklar, mekanik titreşimler vb., gösterilebilir. Bu problemlerin çözümlerinde değişik konulardan uzmanlara danışılmıştır. Bütün bu problemlerin halledilmesi ile kompresörün mekanik olarak güvenilir bir çalışma gösterdiği ancak dar bir hız bölgesindende (2950-3050 d/d) bir miktar dikkatli olmak gereği söylenebilir. Yapılan

Ön performans deneylerinde kompresör aerodinamik olarak incelenmiş ve görülen aerodinamik problemlerin teşhisini ancak kısıtlı ölçüm sistemleri ile yapılmaya çalışılmıştır.

Kademe performansının incelenmesi ile tipik bir kanatçık ayırtması problemi olarak ortaya çıkmakta, ancak ölçüm sistemlerinin yetersizliği, sebepleri ile ilgili spekülasyonlar dışında bir fikir yürütmeye imkan vermemektedir.

#### 8.4 ÖNERİLER

##### 8.4.1 Birinci Kademenin Aerodinamik Performansı

Birinci kademedeki kanatçık ayırtması problemi için, ilk olarak durumu tam olarak belirleyici deneyler gerekmektedir. Yawmetreler ve sıcak tel anemometresi yardımı ile kompresör girişindeki akışın haritası çıkarılmalı ve dönel akışlar incelenmelidir. Zamana bağlı değişimler ve üç boyutlu akış bozuklukları dikkate alınmalıdır. Ancak bu durumda dönel ayrışma (rotating stall) tipinde bir olay görülebilir. Giriş kanalları ve hava alığı, bu durumu giderici bir şekilde düzeltilmeli veya yeniden yapılmalıdır. Değişik duruş açıları ile GYK'larının performansa etkisi yine bu durum ile ilgili bir araştırma konusudur.

##### 8.4.2 Veri Toplama Sistemi ve Sayısal Akış Görüntüleme

Önce debinin kolayca ve kalibreli bir şekilde ayar edilebileceği bir klapa mekanizması gereklidir. Bu çalışma noktasının istenilen yere kolayca ayarlanabilmesini sağlayacaktır. Bir "torque-cell" ünitesi, kompresör verimini tayin için en iyi yöntem olarak tavsiye edilebilir. Sıcaklık ölçümleri ile verim tesbiti yeterli hassasiyetle sonuç vermemektedir.

Ancak bundan sonra kompresör performansının yeterli hassasiyetle belirlenip, çalışma noktasının ayarlanması pratik hale gelebilir. Detaylı aerodinamik araştırmalar ancak bundan sonra sağlık kazanabilir. Bu kompresör üzerinde yapılabilecek birçok araştırmanın belkide ilkinin detaylı akış aerodinamiğinin tesbiti olması gereklidir. Bu deneylerde basınç transducerleri ve sıcak tel anemometreleri ile yawmetrelerin kullanımı gereklidir. Basınç transducerlerinin ve sıcak tel

anemometrelerinin verileri MINC veri toplama sistemi ile yapılabilmektedir. Alınan bu verilerin değerlendirilmesi ile sistemin, özellikle giriş kanalının bir akış haritası çıkarılmaktadır. Bu da kompresör sisteminin iyi tanımlanması yanında birçok aerodinamik olayın teşhis ve tedavisi için gereklidir.

## ÖZET

Bu araştırmada yapılan işler şu şekilde özetlenebilir.

- i. Tasarımlanacak kompresörün belirlenmesi
- ii. Tasarım kriterlerinin belirlenmesi ve tasarım noktasının tesbiti
- iii. Aerodinamik tasarım ve kompresörün aerodinamik geometrisinin belirlenmesi
- iv. Mekanik tasarım ve mukavemet hesaplarının yapılması
- v. Kompresör parçalarının imalatı, temini ve montajı
- vi. Deney düzeni ve ölçüm sistemlerinin kurulması
- vii. Çeşitli mekanik ve aerodinamik problemlerin tesbiti ve bu konularda yapılmış olan çalışmalar
- viii. Kompresör performansının belirlenmesi

## SUMMARY

The activities within this research programme could be summarized as follows:

- i. Decision on the type and specifications of the compressor to be designed
- ii. Decision on the design criteria and specification of the design point
- iii. Aerodynamic design and the determination of the aerodynamic geometry of the compressor
- iv. Mechanical design and strength calculations
- v. Manufacturing of compressor parts, purchasing parts, and assembly of the compressor
- vi. Setting up the rig and putting up the instrumentation system
- vii. Encountering various mechanical and aerodynamic problems and attempts to solve these problems
- viii. Determination of compressor performance

## KAYNAKLAR

1. Howell, A.R., "Fluid Dynamics of Axial Compressors", Proc. Instn Mech. Engrs, Lond. 153 (1945).
2. Carter, A.D.S., "Low Speed Performance of Related Aerfoils in Cascade", ARC CP No 29 (1950).
3. Erwin, J.R., Savage, M., Emery, J.C., "Two-Dimensional Low Speed Cascade Investigation of NACA Compressor Blade Sections Having a Systematic Variation in Mean Line Loading", NACA TN 3817, (1956).
4. Horlock, J.H., "Axial Flow Compressors", Butterworth Publications New York (1973).
5. Leiblein, S., "Experimental Flow in Two Dimensional Cascades", Ch. IV NASA SP-36, (1965).
6. Cohen, H., Rogers, G.F.C., Saravanamutto, H.I.H., "Gas Turbine Theory", Longman Group Ltd. (1972).
7. Eralp, O.C., TÜBİTAK MAG 597 Projesi 1. Ara Raporu, Mayıs (1983).
8. Howell, A.R., Bonham, R.P., "Overall and Stage Characteristics of Axial Flow Compressors", Proc. Instn. Mech. Engrs, London 163 (1950).
9. Horlock, J.H., "Axial Flow Turbines", Butterworth Publication New York (1973).
10. Howell, A.R., "Design of Axial Compressors", Proc. Instn Mech. Engrs. London 153 (1945).
11. Van Wylen, G.J., Sonntag, R.E., "Fundamentals of Classical Thermodynamics", John Wiley and Sons (1976).
12. Sabersky, R.H., Acosta, A.J., Hauptmann, E.G., "Fluid Flow", Collier MacMillan International Editions London (1971).

13. Wallis, R.A., "Axial Flow Fans and Ducts", John Wiley and Sons Inc. (1983).
14. Üçer, A.Ş., "Turbomachinery", METU Publications (1982).
15. Leiblein, S., "Loss and Stall Analysis of Compressor Cascades", NASA SP-36 Ch. IV., (1965).
16. Horlock, J.H., "A Rapid Calculation Method for the Off Design Performance of Compressors and Turbines", The Aeronautical Quarterly V.IX Nov.(1958).
17. Chauvin, J., "Off-Design Performance of Axial Compressors", VKI Course Note 100 Feb., (1977).
18. Howell, A.R., Calvert, A., "A New Stage Stacking Technique For Axial-Flow Compressor Performance Prediction" ASME 78-GT-139, (1978).
19. Dimmock, N.A., "A Compressor Routine Test Code", ARC RAM No. 3337.
20. Colpin, J., Kool, P., "Experimental Study of An Axial Compressor Rotor Transfer Function with Non-Uniform Inlet Flow", ASME 78-GT-69.
21. Gostelow, J.P., "A Nef Approach to the Experimental Study of Turbomachinery Flow Phenomena", ASME 76-GT-47.
22. Dransfield, D.C., Calvert,W.J., "Detailed Flow Measurements in a Four Stage Axial Compressor", ASME 76-GT-46.
23. Eralp, O.C., "Stability and Response of Compressor Duct Systems with Planar Unsteacliness", CIT Ph.D., Thesis, (1980).
24. "Characteristics of a Model Low Speed Axial Flow Compressor. PROP/PL 936/RWS/DB.
25. Jakson, J.R., Yohner, P.L., "Effects of Design and Measurement Errors on Compressor Performance", Ch. XVI. NASA SP 36, (1965).
26. Peacock, R.E., Das, D.K., "An Experimental Study of Pulsating Flow in a Three Stage Axial Flow Compressor", ASME WA San Fransisco (1978).

27. Peacock, R.E., Eralp, O.C., "Compressor Response to Spatially Repetitive Transients", ASME 79-GT-1s r-14 (1979).
28. Colpin, J., "Propagation of Inlet Flow Distortions Through an Axial Compressor Stage", ASME 78-GT-34.
29. Collacot, R., "Simulators International Guide" Addison-Wesley, (1973).
30. Wagner, J.H., Kiishi, T.H., Holbrook, G.J., "Periodically Unsteady Flow in an Imbedded Stage of a Multistage Axial Flow Turbine", ASME 78-GT-6, (1978).
31. Fleeter, S., Jay, R.L., Bennet, W.A., "Rotor Wake Generated Unsteady Aerodynamic Response of a Compressor Stator", ASME 78-GT-112, (1978).
32. Cossar, B.F.J., Moffat, W.C., Peacock, R.E., "Compressor Rotating Stall in Uniform and Non-Uniform Flow", ASME 79-GT-1sr-18 (1979).
33. Gallus, H.E., Lambertz, J., "Blade Row Interaction in an Axial Flow Subsonic Compressor Stage", ASME 79-GT-92, (1979).
34. McKenzei, A.B., "Design of Axial Compressor Blading Based on Tests of a Low Speed Compressor", Proc. Instn. Mech. Eng. Vol. 194 pp.103-111, (1980).
35. Abbott, I.H., "Theory of Wing Sections", Dower Publications New York (1959).
36. Horlock, Shaw, Pollard, Lewcowicz, "Reynolds Number Effects in Cascades and Axial Flow Compressors", Trans. of the ASME, Journal of Ang. Power, p. 236 (1964).
37. Eralp, O.C., Hatip, Ö.E., "Eksenel Bir Deney Kompresörü Tasarımı", 1. Ulusal Makina Tasarım ve İmalat Kongresi, 19-21 Eylül 1984, ODTÜ, Ankara.
38. Abernety, Thompson, J.W. Jr., "Handbook, Uncertainty in Gas Turbine Measurements", Arnold Engineering Development Center Rep. No. AEDC-TR-73 5, February, (1973).

39. Stodola, A., "Steam and Gas Turbines", McGraw Hill Book Co. (1927).
40. Roark, J.A., "Formulas for Stress and Strain", McGraw Hill Book Co. (1976).
41. Shigley, J.E., "Mechanical Engineering Design", McGraw Hill, (1977).
42. Holman, J.P., "Experimental Methods for Engineers", McGraw Hill, (1977).
43. SKF General Catalogue 3014. TR. 12.
44. Arınc, G., Special Report.
45. Metals Handbook Volume 1, Properties and Selection pp. 950, ASM, (1961).
46. Hatip, Ö.E., "Design and Construction of an Axial Flow Research Compressor", A Master Thesis in Mechanical Engineering, METU, (1985).

EK 1 DENEY SONUÇLARI

21/5/1985

TEST 103

PI=89125 PA

TA=291.7 K

RUN 1

CORRECTED SPEED=2681

H(CH)<sub>4</sub> P(PA)

1	43.3	88865
2	40.1	89117
3	42.0	88968
4	41.2	89031
5	41.2	89031
6	41.1	89038
7	41.1	89038
8	41.4	89015
9	42.1	88960
10	43.7	88834
11	43.5	88850
12	43.7	88834
13	37.5	89122
14	36.8	89377
15	33.4	89644
16	30.7	89857
17	26.3	90203
18	40.0	89125
19	26.8	90164
20	21.7	90565

R=1.244

AV. VEL=18.6

CORR. MASS=1.425

PS1=1.0059:R1=1.0061

PS2=1.0089:R2=1.0030

PS3=1.0113:R3=1.0024

PS4=1.0152:R4=1.0039

R TOTAL=1.0163

R STATIC=1.0146

VIN=21.80:VOUT=27.33

TIN=292.2:TOUT=292.2

RUN 2

CORRECTED SPEED=2681

H(CH)<sub>4</sub> P(PA)

1	43.1	88881
2	41.2	89031
3	41.9	88975
4	41.2	89031
5	41.0	89046
6	41.0	89046
7	41.0	89046
8	41.3	89023
9	42.1	88960
10	43.5	88850
11	43.4	88857
12	43.5	88850
13	37.4	89330
14	36.5	89400
15	32.8	89692
16	29.7	89936
17	24.9	90313
18	40.0	89125
19	24.4	90353
20	20.5	90660

N=1.215

AV. VEL=18.2

CORR. MASS=1.391

PS1=1.0061:R1=1.0062

PS2=1.0094:R2=1.0033

PS3=1.0121:R3=1.0027

PS4=1.0164:R4=1.0042

R TOTAL=1.0183

R STATIC=1.0166

VIN=16.88:VOUT=23.91

TIN=292.2:TOUT=293.2

RUN 4

CORRECTED SPEED=2681

H(CH)<sub>4</sub> P(PA)

1	42.9	88897
2	41.2	89031
3	41.8	88983
4	41.1	89038
5	41.0	89046
6	40.9	89054
7	41.0	89046
8	41.2	89031
9	42.0	88968
10	43.3	88865
11	43.1	88881
12	43.0	88850
13	38.0	89282
14	36.5	89400
15	31.9	89762
16	27.7	90093
17	22.1	90534
18	40.0	89125
19	22.5	90562
20	18.0	90857

N=1.178

AV. VEL=17.6

CORR. MASS=1.349

PS1=1.0058:R1=1.0058

PS2=1.0099:R2=1.0046

PS3=1.0136:R3=1.0037

PS4=1.0166:R4=1.0049

R TOTAL=1.0205

R STATIC=1.0181

VIN=15.89:VOUT=25.67

TIN=292.2:TOUT=293.3

RUN 5

CORRECTED SPEED=2681

H(CH)<sub>4</sub> P(PA)

1	42.4	88936
2	41.0	89046
3	41.5	89007
4	40.9	89054
5	40.9	89054
6	40.9	89054
7	41.0	89046
8	41.1	89038
9	41.6	88999
10	42.7	88912
11	42.5	88928
12	42.8	88905
13	36.3	89259
14	36.4	89408
15	31.0	89533
16	26.5	90188
17	21.0	90620
18	40.0	89125
19	21.2	90605
20	17.2	90919

N=1.038

AV. VEL=15.6

CORR. MASS=1.190

PS1=1.0054:R1=1.0057

PS2=1.0102:R2=1.0048

PS3=1.0142:R3=1.0039

PS4=1.0190:R4=1.0048

R TOTAL=1.0210

R STATIC=1.0188

VIN=14.42:VOUT=24.21

TIN=292.4:TOUT=293.8

22/5/1985

TEST 104  
PA=89125 PA  
TA=292.2 K

RUN 1

CORRECTED SPEED=3157

RUN 2 CORRECTED SPEED=3147

RUN 3 CORRECTED SPEED=3127

RUN 6 CORRECTED SPEED=3078

H(CH) P(PA) H(CH) P(PA) H(CH) P(PA)  
1 44.5 88771 1 44.4 88779 1 45.9 88218  
2 41.7 88991 2 41.7 88991 2 41.4 90105  
3 42.7 88912 3 42.7 88912 3 42.5 88920  
4 41.7 88991 4 41.6 88999 4 41.6 88999  
5 41.5 89807 5 41.5 89807 5 41.4 89015  
6 41.6 89907 6 41.4 89915 6 41.4 89015  
7 41.6 88999 7 41.6 88999 7 41.5 89007  
8 41.9 88935 8 41.8 88963 8 41.7 88991  
9 42.0 88958 9 42.0 88987 9 42.5 88928  
10 45.1 88724 10 45.0 88733 10 44.5 88711  
11 44.9 88739 11 44.7 88755 11 44.2 88794  
12 45.2 88716 12 45.0 88731 12 45.9 88818  
13 36.8 88377 13 36.5 89400 13 37.7 88306  
14 35.9 88448 14 35.5 88479 14 35.3 88495  
15 31.5 88794 15 30.5 88973 15 28.4 90039  
16 27.6 90085 16 26.1 90219 16 22.2 90526  
17 21.6 90557 17 19.4 90746 17 14.3 91148  
18 18.0 89125 18 16.0 89125 18 14.0 91171  
19 22.5 90582 19 20.0 90599 19 18.0 91125  
20 15.3 91069 20 13.2 91234 20 9.7 91588  
H=1.184 H=1.451 H=1.358 H=1.088  
AV. VEL=22.3 CORR. MASS=1.699  
CORR. MASS=1.667 CORR. MASS=1.538  
P1=1.06377; R1=1.0083 CORR. MASS=1.248  
P32=1.019; R2=1.0039 P1=1.0063; R1=1.0076  
P33=1.0152; R2=1.0032 P2=1.0140; R2=1.0061  
P34=1.0035; R3=1.0052 P3=1.0165; R3=1.0053  
E TOTAL=1.0233 P4=1.0224; R4=1.0058 P5=1.0265; R4=1.0059  
P STATIC=1.0195 E TOTAL=1.0252 P34=1.0243; R4=1.0059  
V1H=26.4; TOUT=22.45 P STATIC=1.0231 E TOTAL=1.0273  
T1H=292.7; TOUT=293.0 V1H=19.3; TOUT=29.87 P STATIC=1.0242  
T1H=293.2; TOUT=293.9 V1H=14.95; TOUT=27.05 V1H=12.89; TOUT=25.96  
T1H=293.7; TOUT=296.5 T1H=293.2; TOUT=295.5 V1H=11.58; TOUT=24.53  
T1H=293.7; TOUT=295.5 T1H=293.7; TOUT=296.5

RUN 4 CORRECTED SPEED=3112

RUN 5 CORRECTED SPEED=3102

RUN 6 CORRECTED SPEED=3078

H(CH) P(PA) H(CH) P(PA) H(CH) P(PA)  
1 42.7 89512 1 42.8 88958  
2 41.2 89031 2 40.9 88954  
3 41.7 88991 3 41.7 88963  
4 41.2 89051 4 40.9 88954  
5 41.0 89051 5 40.8 89052  
6 40.7 89052 6 40.6 89062  
7 40.7 89078 7 40.7 89078  
8 40.9 89054 8 40.7 89054  
9 41.3 89054 9 41.3 89054  
10 41.3 89054 10 41.3 89054  
11 41.3 89054 11 41.3 89054  
12 40.6 89068 12 40.6 89068  
13 39.6 89078 13 39.6 89078  
14 36.1 89051 14 36.1 89051  
15 35.6 89463 15 35.6 89463  
16 25.3 90125 16 25.3 90125  
17 21.3 90125 17 21.3 90125  
18 21.3 90597 18 21.3 90597  
19 14.8 91132 19 14.8 91132  
20 10.0 91422 20 10.0 91422  
H=0.788 H=0.788 H=0.788  
AV. VEL=16.3 AV. VEL=16.3 AV. VEL=16.3  
CORR. MASS=1.052 CORR. MASS=0.813  
P1=1.0056; R1=1.0045 P2=1.0052; R2=1.0027  
P3=1.0137; R2=1.0068 P3=1.0130; R2=1.0074  
P4=1.0109; R3=1.0052 P4=1.0108; R3=1.0053  
P5=1.0166; R5=1.0052 P5=1.0166; R5=1.0050  
P6=1.0243; R6=1.0059 P6=1.0243; R6=1.0056  
P7=1.0273 P7=1.0271  
P STATIC=1.0242 P STATIC=1.0243  
V1H=14.95; TOUT=27.05 V1H=12.89; TOUT=25.96  
T1H=293.2; TOUT=295.5 T1H=293.7; TOUT=296.5

TEST 105  
PA-59-956 PA  
TA-294.7 K

RUN 1  
CORRECTED SPEED=2925

RUN 2  
CORRECTED SPEED=2823

RUN 4  
CORRECTED SPEED=2819

H(CH) P(PA)  
H(CH) P(PA)

1 43.7	26767	1 43.0	88622	1 43.5	88783	1 41.9	88909
2 41.3	69956	2 41.2	88364	2 41.3	88956	2 40.9	88986
3 41.2	88365	3 41.8	88917	3 42.0	88901	3 41.2	88964
4 41.2	88956	4 41.1	88972	4 41.3	88956	4 40.8	88993
5 41.2	88956	5 41.0	88920	5 41.1	88972	5 40.7	89003
6 41.1	88954	6 41.1	88972	6 41.2	88964	6 40.7	89003
7 41.2	88956	7 41.2	88964	7 41.2	88964	7 40.7	89003
8 41.6	88932	8 41.4	88949	8 41.4	88949	8 40.9	88986
9 42.4	88878	9 42.0	88901	9 42.2	88885	9 41.2	88964
10 44.1	88736	10 43.3	88799	10 43.8	88759	10 41.9	88809
11 41.9	82989	11 43.2	88607	11 43.7	88767	11 41.8	88917
12 44.1	88736	12 42.9	88338	12 43.7	88767	12 40.7	88903
13 37.2	89219	13 38.4	89184	13 37.2	89219	13 37.6	88947
14 37.3	89271	14 36.3	89358	14 36.6	89326	14 36.5	89334
15 32.9	93617	15 38.2	89836	15 31.5	89727	15 29.5	89965
16 30.8	89335	16 25.8	90739	16 27.7	90036	16 24.7	90263
17 25.1	90231	17 19.6	90745	17 22.0	90475	17 18.9	90727
18 46.0	89058	18 49.0	89058	18 48.0	89059	18 46.0	89058
19 25.7	90184	19 19.0	90711	19 22.5	90436	19 19.0	90711
20 26.0	90633	20 14.3	91081	20 17.1	90861	20 15.2	91016
H=1, 299		H=1, 44		H=1, 250		H=0, 331	
AV. YEL=19.7		AV. YEL=17.3		AV. YEL=19.0		AV. YEL=12.6	

CORR. MASS=1.495  
PS=1.004; R1=1.0060  
PS2=1.0080; R2=1.0039  
PS3=1.005; R3=1.0025  
PS4=1.0149; R4=1.0043  
P TOTAL=1.0188  
P STATIC=1.0169  
Y1H=18.93; YOUT=29.87  
TH=295.2; TOUT=296.0

CORR. MASS=1.118  
PS1=1.006; R1=1.0059  
PS2=1.0115; R2=1.0054  
PS3=1.0161; R3=1.0046  
PS4=1.0218; R4=1.0056  
P TOTAL=1.0238  
P STATIC=1.0213  
Y1H=18.49; YOUT=26.38  
TH=295.7; TOUT=297.2

CORR. MASS=1.443  
PS1=1.0063; R1=1.0063  
PS2=1.0108; R2=1.0062  
PS3=1.0109; R3=1.0062  
PS4=1.0151; R4=1.0042  
P TOTAL=1.0184; R1=1.0051  
P TOTAL=1.0127  
P STATIC=1.0186  
Y1H=12.77; YOUT=23.74  
TH=296.2; TOUT=297.7

24/5/1985  
 TEST 107  
 PA=80125 PR  
 TH=293.7 K

RUN 1  
 CORRECTED SPEED=3074  
 H(CH)  
 P(PA)

	RUN 2 CORRECTED SPEED=3074 H(CH) P(PA)	RUN 3 CORRECTED SPEED=3073 H(CH) P(PA)	RUN 4 CORRECTED SPEED=3073 H(CH) P(PA)
1	45.0	887.61	1 44.2
2	41.9	889.51	2 41.6
3	45.1	888.81	3 42.6
4	42.0	891.66	4 41.9
5	41.7	892.91	5 41.6
6	41.8	889.83	6 41.6
7	41.9	889.75	7 41.7
8	42.2	889.52	8 41.9
9	43.3	888.65	9 43.1
10	45.7	886.76	10 45.5
11	45.4	887.60	11 45.2
12	45.6	886.84	12 45.3
13	45.5	894.16	13 36.2
14	34.7	895.42	14 34.2
15	30.3	898.88	15 29.1
16	25.8	901.43	16 24.0
17	18.9	917.86	17 16.4
18	40.6	891.25	18 40.2
19	19.6	907.31	19 17.2
20	11.8	913.44	20 9.9
		H=1.524	H=1.388
		H=1.527	H=1.177
		AV. VEL=22.9	AV. VEL=20.8
		CORR. MASS=1.747	CORR. MASS=1.591
		PS1=1, 00098; R1=1, 00098	PS1=1, 00099; R1=1, 00098
		PS2=1, 0143; R2=1, 0045	PS2=1, 0156; R2=1, 0067
		PS3=1, 0134; R3=1, 0039	PS3=1, 0156; R3=1, 0067
		PS4=1, 0236; R4=1, 0066	PS4=1, 0297; R4=1, 0077
		P TOTAL=1, 0281	P TOTAL=1, 0324
		P STATIC=1, 0245	P STATIC=1, 0296
		P STATIC=1, 0266	P STATIC=1, 0311
		P STATIC=1, 0225	P STATIC=1, 0275
		V1H=21.5; VOUT=32.66	V1H=19.6; VOUT=30.93
		V1H=21.5; VOUT=33.78	V1H=19.6; VOUT=29.54
		TIN=292.9; TOUT=293.8	TIN=233.2; TOUT=295.0

	RUN 1 CORRECTED SPEED=3073 H(CH) P(PA)	RUN 2 CORRECTED SPEED=3073 H(CH) P(PA)	RUN 3 CORRECTED SPEED=3073 H(CH) P(PA)	RUN 4 CORRECTED SPEED=3073 H(CH) P(PA)
1	45.0	889.05	1 45.0	1 42.1
2	41.7	890.15	2 41.6	2 41.6
3	42.9	899.36	3 41.9	3 41.3
4	41.9	899.99	4 41.3	4 41.0
5	41.6	890.23	5 41.2	5 41.6
6	41.6	890.23	6 41.1	6 40.9
7	41.7	889.91	7 41.2	7 40.9
8	41.9	889.75	8 41.5	8 41.0
9	42.0	889.83	9 42.0	9 41.8
10	42.9	889.12	10 42.9	10 41.5
11	43.1	888.91	11 43.5	11 42.3
12	43.1	886.92	12 43.5	12 42.1
13	43.1	887.63	13 37.2	13 36.3
14	43.1	895.74	14 34.3	14 34.3
15	43.1	901.72	15 25.9	15 25.7
16	43.1	907.23	16 19.2	16 18.5
17	43.1	914.24	17 16.9	17 16.9
18	43.1	895.81	18 40.2	18 40.2
19	43.1	909.63	19 11.3	19 11.3
20	43.1	919.03	20 5.8	20 5.5
		H=1.177	H=1.177	H=1.177
		AV. VEL=17.7	AV. VEL=13.7	AV. VEL=10.4
		CORR. MASS=1.350	CORR. MASS=1.045	CORR. MASS=0.796
		PS1=1, 00098; R1=1, 00098	PS1=1, 00099; R1=1, 00099	PS1=1, 00407; R1=1, 00111
		PS2=1, 0143; R2=1, 0045	PS2=1, 0156; R2=1, 0067	PS2=1, 0157; R2=1, 00109
		PS3=1, 0134; R3=1, 0039	PS3=1, 0156; R3=1, 0067	PS3=1, 0219; R3=1, 0059
		PS4=1, 0236; R4=1, 0066	PS4=1, 0297; R4=1, 0077	PS4=1, 0277; R4=1, 0057
		P TOTAL=1, 0281	P TOTAL=1, 0315	P TOTAL=1, 0312
		P STATIC=1, 0245	P STATIC=1, 0296	P STATIC=1, 0275
		P STATIC=1, 0266	P STATIC=1, 0311	P STATIC=1, 0275
		P STATIC=1, 0225	P STATIC=1, 0275	P STATIC=1, 0275
		V1H=21.5; VOUT=32.66	V1H=19.6; VOUT=30.93	V1H=19.6; VOUT=29.54
		V1H=21.5; VOUT=33.78	V1H=19.6; VOUT=29.54	V1H=19.6; VOUT=29.54
		TIN=292.9; TOUT=293.8	TIN=233.2; TOUT=295.0	TIN=233.2; TOUT=295.0

7045/1985

TEST 261  
PA=0.89915 PA  
TH=292.7 V

RUN 1 CORRECTED SPEED=1488

P(H)	P(PA)	H(CH)	CORRECTED SPEED=1785	RUN 3 CORRECTED SPEED=2083	RUN 4 CORRECTED SPEED=2486	RUN 5 CORRECTED SPEED=2678	RUN 6 CORRECTED SPEED=3227	RUN 7 CORRECTED SPEED=3125			
1 49.3	62354	1 41.4	0.88815	1 41.9	0.89776	1 42.7	0.89715	1 43.5	0.89658	1 44.5	0.89295
2 49.2	62392	2 40.4	0.88994	2 49.7	0.89876	2 41.1	0.89854	2 41.2	0.89837	2 41.6	0.89207
3 49.5	62396	3 40.7	0.88970	3 40.1	0.89939	3 40.5	0.89947	3 41.9	0.89776	3 42.5	0.88336
4 49.3	62392	4 40.5	0.88986	4 40.7	0.89970	4 41.0	0.89947	4 41.3	0.89831	4 41.6	0.88907
5 49.3	62392	5 40.4	0.88994	5 40.6	0.89978	5 40.9	0.89954	5 41.2	0.89939	5 41.4	0.88923
6 49.3	62392	6 40.4	0.88994	6 40.6	0.89978	6 40.9	0.89954	6 41.0	0.89947	6 41.4	0.88923
7 49.4	62392	7 40.4	0.88994	7 40.6	0.89978	7 41.0	0.89947	7 41.2	0.89831	7 41.6	0.89297
8 49.4	62394	8 40.5	0.88976	8 40.8	0.89862	8 41.2	0.89851	8 41.5	0.89815	8 41.9	0.88384
9 49.4	62378	9 40.9	0.88954	9 41.2	0.89931	9 41.7	0.89929	9 42.0	0.89769	9 42.4	0.88795
10 49.4	62347	10 41.5	0.88987	10 42.1	0.89966	10 43.0	0.89929	10 43.7	0.89674	10 44.0	0.89116
11 49.6	62347	11 41.5	0.88907	11 42.6	0.89769	11 42.9	0.89697	11 43.5	0.89559	11 44.2	0.88555
12 49.6	62367	12 41.4	0.88915	12 42.1	0.89860	12 45.0	0.89689	12 45.7	0.8964	12 44.1	0.88555
13 53.2	62389	13 38.8	0.89820	13 38.4	0.89051	13 36.8	0.89177	13 37.4	0.89136	13 37.5	0.89146
14 38.9	62302	14 38.6	0.89035	14 38.3	0.89359	14 36.8	0.89177	14 37.5	0.8922	14 36.6	0.89123
15 37.9	62361	15 37.6	0.89021	15 37.0	0.89549	15 34.5	0.89358	15 35.7	0.89421	15 37.7	0.89518
16 36.9	62369	16 35.6	0.89017	16 35.0	0.89798	16 31.7	0.89579	16 30.3	0.89659	16 31.7	0.89353
17 35.7	62364	17 33.9	0.89465	17 31.5	0.89934	17 28.6	0.89870	17 25.9	0.89605	17 24.4	0.89337
18 46.0	62325	18 40.0	0.88925	18 40.0	0.89845	18 40.0	0.89925	18 40.1	0.89925	18 40.1	0.89935
19 35.9	62328	19 34.0	0.89379	19 31.8	0.89571	19 28.5	0.89836	19 26.4	0.89986	19 24.9	0.90342
20 34.4	62336	20 31.9	0.89563	20 28.9	0.89799	20 24.2	0.90169	20 21.3	0.90397	20 19.3	0.90877
N=6 648		H=0.892	N=0.943	H=1.116	N=1.256	H=1.251	N=1.231	H=1.454	N=1.231	Avg. VEL=19.4	
AV. VEL= 9.7	CORR. MRS5=0.922	AV. VEL=12.0	CORR. MRS5=1.063	AV. VEL=16.2	CORR. MRS5=1.282	AV. VEL=16.9	CORR. MRS5=1.443	AV. VEL=17.9	CORR. MRS5=1.403	AV. VEL=17.9	CORE. MRS5=1.670
PS1= 1.0019; R1= 1.00	PS1= 1.0026; R1= 1.00	PS1= 1.0033; R1= 1.00	PS1= 1.0033; R1= 1.00	PS1= 1.0034; R1= 1.00	PS1= 1.0053; R1= 1.00	PS1= 1.0053; R1= 1.00	PS1= 1.0065; R1= 1.00	PS1= 1.0073; R1= 1.00	PS1= 1.0073; R1= 1.00	PS1= 1.0073; R1= 1.00	PS1= 1.0073; R1= 1.00

TEST 261  
PA=0.89915 PA  
TH=292.7 V

RUN 2 CORRECTED SPEED=1785

P(H)	P(PA)	H(CH)	CORRECTED SPEED=2100	RUN 3 CORRECTED SPEED=2500	RUN 4 CORRECTED SPEED=2486	RUN 5 CORRECTED SPEED=2678	RUN 6 CORRECTED SPEED=3227	RUN 7 CORRECTED SPEED=3125
19	25	26	PS2= 1.0053; R2= 1.00	PS2= 1.0053; R2= 1.00	PS2= 1.0053; R2= 1.00	PS2= 1.0053; R2= 1.00	PS2= 1.0053; R2= 1.00	PS2= 1.0053; R2= 1.00
14	20	20	PS3= 1.00652; R3= 1.00	PS3= 1.00671; R3= 1.00	PS3= 1.00671; R3= 1.00	PS3= 1.00671; R3= 1.00	PS3= 1.00671; R3= 1.00	PS3= 1.00671; R3= 1.00
19	19	19	PS3= 1.00636; R3= 1.00	PS3= 1.00652; R3= 1.00	PS3= 1.00652; R3= 1.00	PS3= 1.00652; R3= 1.00	PS3= 1.00652; R3= 1.00	PS3= 1.00652; R3= 1.00
19	15	15	PS3= 1.00647; R4= 1.00	PS3= 1.00667; R4= 1.00	PS3= 1.00667; R4= 1.00	PS3= 1.00667; R4= 1.00	PS3= 1.00667; R4= 1.00	PS3= 1.00667; R4= 1.00
15	15	15	PS4= 1.00647; R4= 1.00	PS4= 1.00667; R4= 1.00	PS4= 1.00667; R4= 1.00	PS4= 1.00667; R4= 1.00	PS4= 1.00667; R4= 1.00	PS4= 1.00667; R4= 1.00
15	22	22	PS4= 1.00671; R4= 1.00	PS4= 1.00693; R4= 1.00	PS4= 1.00717; R4= 1.00	PS4= 1.00717; R4= 1.00	PS4= 1.00717; R4= 1.00	PS4= 1.00717; R4= 1.00
22	33	33	PS4= 1.00671; R4= 1.00	PS4= 1.00717; R4= 1.00	PS4= 1.00717; R4= 1.00	PS4= 1.00717; R4= 1.00	PS4= 1.00717; R4= 1.00	PS4= 1.00717; R4= 1.00
			P TOTAL= 1.0005	P TOTAL= 1.0176	P TOTAL= 1.0194	P TOTAL= 1.0253	P TOTAL= 1.0253	P TOTAL= 1.0253
			P STATIC= 1.0016	P STATIC= 1.0165	P STATIC= 1.0165	P STATIC= 1.0165	P STATIC= 1.0165	P STATIC= 1.0165
			Y1=16.35; YOUT=25.18	Y1=16.83; YOUT=27.41	Y1=18.52; YOUT=28.71	Y1=20.06; YOUT=31.62	Y1=22.71; YOUT=29.54	Y1=22.71; YOUT=29.54
			T1=292.7; TOUT=293.0	T1=292.7; TOUT=293.0	T1=292.7; TOUT=293.0	T1=292.7; TOUT=293.0	F1=0.336PS1=0.555	F1=0.336PS1=0.555
			F1=0.336PS1=0.547				F1=0.336PS1=0.557	



29.5/1965  
TEST 263  
PA=99.965 PA  
TA=292.7 K

RUN 1		RUN 2		RUN 3		RUN 4		RUN 5		RUN 6		RUN 7		
CORRECTED SPEED=1489	H(CH)	CORRECTED SPEED=1786	H(CH)	CORRECTED SPEED=2083	H(CH)	CORRECTED SPEED=2489	H(CH)	CORRECTED SPEED=2678	H(CH)	CORRECTED SPEED=2827	H(CH)	CORRECTED SPEED=3125	H(CH)	
P(PA)	P(PA)	P(PA)	P(PA)	P(PA)	P(PA)	P(PA)	P(PA)	P(PA)	P(PA)	P(PA)	P(PA)	P(PA)	P(PA)	
1	46.8	1	41.2	88631	1	41.6	88799	1	42.7	88755	1	43.0	88705	1
2	46.7	2	40.5	88626	2	40.6	88778	2	41.0	88862	2	41.1	88954	2
3	46.5	3	40.7	88986	3	41.0	88947	3	41.4	88923	3	41.8	88799	3
4	46.3	4	40.5	89902	4	40.6	88896	4	41.0	88634	4	41.1	88654	4
5	46.1	5	40.4	88902	5	40.6	88679	5	40.9	88342	5	41.0	88662	5
6	46.0	6	40.4	88902	6	40.6	88976	6	40.9	88379	6	41.0	88662	6
7	46.3	7	40.5	88982	7	40.5	88978	7	40.9	88362	7	41.1	88654	7
8	46.4	8	40.4	88894	8	40.6	88918	8	40.8	88954	8	41.3	88639	8
9	40.5	9	40.5	88896	9	40.8	88862	9	41.1	88339	9	41.5	88625	9
10	46.9	10	41.3	90654	10	41.6	88623	10	41.9	88784	10	42.1	88779	10
11	46.9	11	41.3	88954	11	41.3	88623	11	41.7	88791	11	42.1	88729	11
12	46.9	12	41.0	88854	12	41.0	88631	12	41.2	88736	12	42.4	88713	12
13	39.5	13	39.4	88965	13	39.4	88973	13	39.1	89996	13	38.8	89028	13
14	39.8	14	38.5	99941	14	38.5	89943	14	37.9	99091	14	37.0	89051	14
15	37.4	15	36.3	99139	15	36.3	89117	15	34.9	89527	15	32.8	89517	15
16	35.9	16	34.1	99248	16	34.1	89390	16	31.9	89563	16	28.5	89645	16
17	34.3	17	33.7	29374	17	33.7	89579	17	28.6	89623	17	25.8	89988	17
18	46.6	18	46.0	89125	18	46.0	89925	18	46.0	89925	18	46.1	90436	18
19	34.4	19	31.9	99166	19	31.9	89563	19	26.8	89867	19	24.2	90177	19
20	35.1	20	30.0	89468	20	30.0	89712	20	26.3	90604	20	26.6	90460	20
21	6.601	21	7.5	89468	21	7.5	89712	21	7.5	90604	21	7.5	90460	21
AV. VEL= 9.6		AV. VEL=10.7		AV. VEL=12.7		AV. VEL=15.3		AV. VEL=16.7		AV. VEL=17.8		AV. VEL=19.7		
CORR. MASS=0.699		CORR. MASS=0.818		CORR. MASS=1.371		CORR. MASS=1.736		CORR. MASS=1.779		CORR. MASS=1.795		CORR. MASS=1.805		
P51= 1.0016;R1= 1.00		P51= 1.0025;R1= 1.00		P51= 1.0034;R1= 1.00		P51= 1.0049;R1= 1.00		P51= 1.0057;R1= 1.00		P51= 1.0066;R1= 1.00		P51= 1.0074;R1= 1.00		
P52= 1.0031;R2= 1.00		P52= 1.0044;R2= 1.00		P52= 1.0060;R2= 1.00		P52= 1.0066;R2= 1.00		P52= 1.0077;R2= 1.00		P52= 1.0113;R2= 1.00		P52= 1.0157;R2= 1.00		
P53= 1.0044;R3= 1.00		P53= 1.0064;R3= 1.00		P53= 1.0087;R3= 1.00		P53= 1.0124;R3= 1.00		P53= 1.0144;R3= 1.00		P53= 1.0162;R3= 1.00		P53= 1.0183;R3= 1.00		
P54= 1.0053;R4= 1.00		P54= 1.0085;R4= 1.00		S4= 1.0116;R4= 1.00		J6= 1.0166;R4= 1.00		P54= 1.0194;R4= 1.00		P54= 1.0218;R4= 1.00		P54= 1.0264;R4= 1.00		
P55= 1.0064		P55= 1.0093		P55= 1.0127		P55= 1.0159		P55= 1.0191		P55= 1.0211		P55= 1.0236		
P56= 1.0074;R5= 1.00		P56= 1.0103;R5= 1.00		P56= 1.0134;R5= 1.00		P56= 1.0164;R5= 1.00		P56= 1.0194;R5= 1.00		P56= 1.0223;R5= 1.00		P56= 1.0254		
V1H= 8.63;VOUT=13.87		V1H= 8.21;VOUT=19.26		V1H= 14.44;VOUT=23.09		V1H= 15.92;VOUT=25.11		V1H= 16.53;VOUT=26.79		V1H= 18.53;VOUT=29.57		V1H= 20.53;VOUT=29.9		
T1H=292.7;TOUT=292.7		T1H=292.7;TOUT=293.2		T1H=292.7;TOUT=293.3		T1H=292.7;TOUT=293.5		T1H=292.7;TOUT=293.5		T1H=292.7;TOUT=293.9		T1H=292.7;TOUT=293.9		
F1=0.3349P51=0.685		F1=0.3349P51=0.691		F1=0.3349P51=0.694		F1=0.3349P51=0.695		F1=0.3349P51=0.696		F1=0.3349P51=0.697		F1=0.3349P51=0.698		







DATA REDUCTION  
PROGRAM  
PREPARED FOR  
CASIO FX-782P

LIST

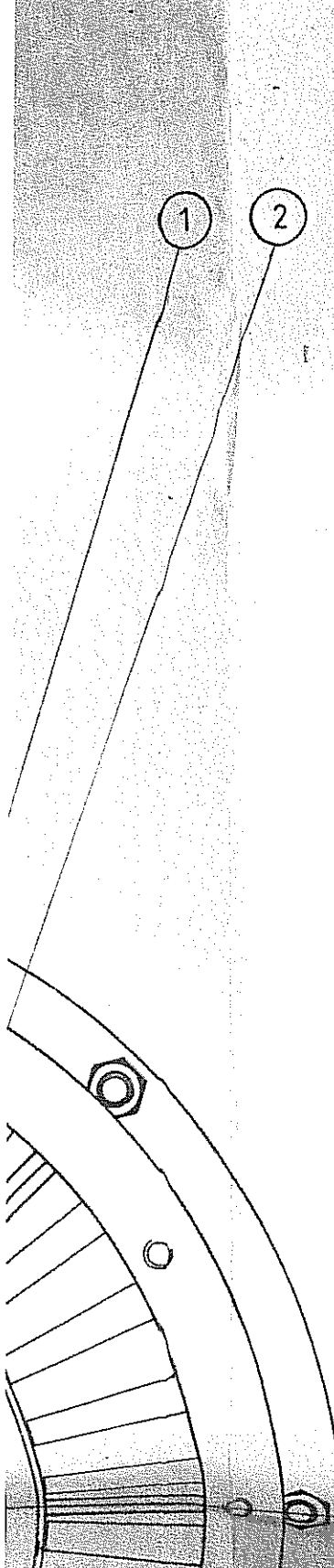
```

1 VAC :HAI1 50:J=
1
3 IHP "PRT MODE(Y
/H",H$:IF H$=""
H":B=8
4 IF H$="Y":G=7
5 IHP "DATE",$,T
EST NO",Z
10 IHP "PA IN NM H
E",R,"TA IN C",
T
20 R=13570*9.81*1E
-3*T=1+273.15
30 C0=.14:C1=.141:
C2=.152:C3=.163
:C4=.173
40 C5=.102:C6=.191
:C7=.199:C8=.2
42 MODE G:PRT $,T
EST":Z,###;P
R="";A;" PR",##;
$:TA="";T;" E"
43 MODE 6:IHP "H(1
) IN CH",B:H=0
:H=0
44 IHP "T1(HV)",U,
"(TOUT-TIH)(HV)
",0,"ANGLE",X,"
SPEED",H
45 U=U/.04+273.15:
D=0/.04/4:S=H*2
*:60*.17
47 MODE 6:PRT "RUN
";J,"CORRECTED
SPEED=";###;H*
SOR (288/T)
50 MODE 8:FOR I=0
TO 19
60 PRT "(H";I+1;")"
";IHP A(I+30)
70 A(I)=A+(B-R(I+3
0))*9.81*002.3E
-2*SH X
80 NEXT I
82 IHP "PRT PRESSU
RES(Y/H)",$
83 IF $="IP" THEN 1
27
85 MODE 6:PRT CSR
4;"H(CH)":CSR 1
2;"P(PR)"
90 FOR I=0 TO 19
100 PRT I+1:CSR 4;#
L;A(I+30):CSR
12;###;A(I)
120 NEXT I
127 P=A9:Q=P/(287*U
)
130 FOR I=2 TO 8
140 C=pi*((A(I+1)+
A(I+I+1))/2)*2
-((A(I+1)+A(I+
I-1))/2)*2)
145 H=N+C
150 V=(2*(A(I)-P)/
D).5:H=M+Q*V*C
160 NEXT I
165 HAII 5:MODE 6
170 PRT 0.0001;"H=";
H,0.01;"AV,VEL=
";H/0.01;Y=H/0.01
180 PRT 0.0001;"CORR
",MASS="1M+5971
*(SOR T)/A
183 SET F4:PRT "PS1
=";A(13)/A(10);
":R1=";A(13)/A(
11)
184 PRT "PS2=";A(14
)/A(10);":R2=";
A(14)/A(13)
185 PRT "PS3=";A(15
)/A(10);":R3=";
A(15)/A(14)
186 PRT "PS4=";A(16
)/A(10);":R4=";
A(16)/A(15)
200 PRT "R TOTAL=";
A(19)/A1
210 PRT "R STATIC=";
A(18)/A0:SET H
220 PRT "VIN=";###;
$:SOR (2*(R1-A0
)/D);
225 D=A(18)/287/(U+
D)
230 PRT "VOUT=";###
$:SOR (2*(A(1
9)-A(18))/D)
240 PRT 0.0001;"TIH=
";U;"TOUT=";U+
D
245 PRT 0.0001;"FI=";
IY/$;"PS1=";(A(
16)-A(10))/D/$†
2
250 MODE 8:J=J+1:GO
TO 43

```

**EK 2 İMALAT RESİMLERİ**  
**(13 Adet)**

46	Giriş			2
45	Yaylı Halka	36 TS 79/16	1	
44	Somun	M36	1	
43	Rotor Kanatçığı		4 X 38	7
42	Rotor Kanat Bileziği		4	6_5
41	Rotor Kalın Ara Bilezik		2	6_2
40	Rotor İnce Ara Bilezik		2	6_1
39	Rotor Tamburu		1	11
38	Rotor Orta Ara Bile.		4	6_3
37	Rotor Kademe Tutucu		8	6_4
36	Bağlama Çubuğu		8	10
35	Yaylı Halka	12 TS.79/16	16	
34	Somun	M12	16	
33	Kama	8X8X32	2	
32	Çıkış		1	14
31	Civata	M 24	1	
30	Yaylı Halka	24 TS 79/16	1	
29	Civata	M 42	1	
28	Yaylı Halka	42 TS 79/16	1	
27	Arka Yatak Burcu		1	13_3
26	Arka Yatak Arka Kap.		1	13_2
25	Arka Yatak Rulmani	FAG 1209	1	
24	Arka Yatak Ön Kapığı		1	13_1



46	Giriş			2
45	Yaylı Halka	36 TS 79/16	1	
44	Somun	M36	1	
43	Rotor Kanatçığı		4 X 38	7
42	Rotor Kanat Bileziği		4	6 - 5
41	Rotor Kalın Ara Bilezik		2	6 - 2
40	Rotor İnce Ara Bilezik		2	6 - 1
39	Rotor Tamburu		1	11
38	Rotor Orta Ara Bile.		4	6 - 3
37	Rotor Kademe Tutucu		8	6 - 4
36	Bağlama Çubuğu		8	10
35	Yaylı Halka	12 TS 79/16	16	
34	Somun	M12	16	
33	Kama	8X8X32	2	
32	Cıkış		1	14
31	Civata	M 24	1	
30	Yaylı Halka	24 TS 79/16	1	
29	Civata	M 42	1	
28	Yaylı Halka	42 TS 79/16	1	
27	Arka Yatak Burcu		1	13 - 1
26	Arka Yatak Arka Kap.		1	13 - 2
25	Arka Yatak Rulmanı	FAG 1209	1	
24	Arka Yatak Ön Kapığı		1	13 -

1

2

A-A KESİTİ

M 7, 16 mm  
12 adet

Ø 12, 8 delik

190

2,5

R 15

R 6

153

Ø 430

Ø 280

2

65

80

Ø 7, 6 delik

R 5

R 15

15

Ø 150

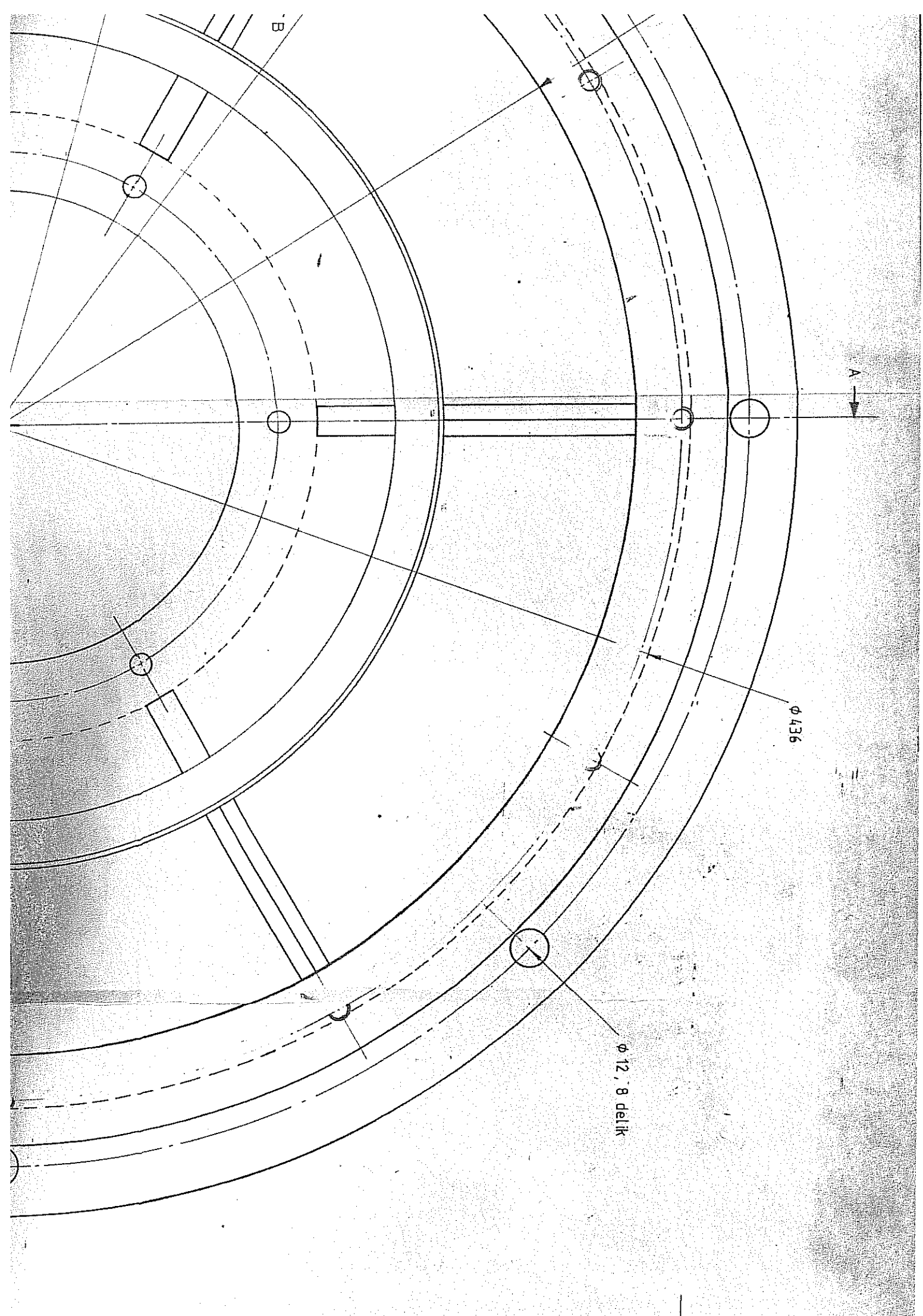
Ø 175

Ø 200

Ø 250

Ø 436

Ø 474



R162,5



B KESİTİ

R162,5

$\phi 400$

$\phi 436$

$\phi 504$

$\phi 460$

B

B

B

A

1

2

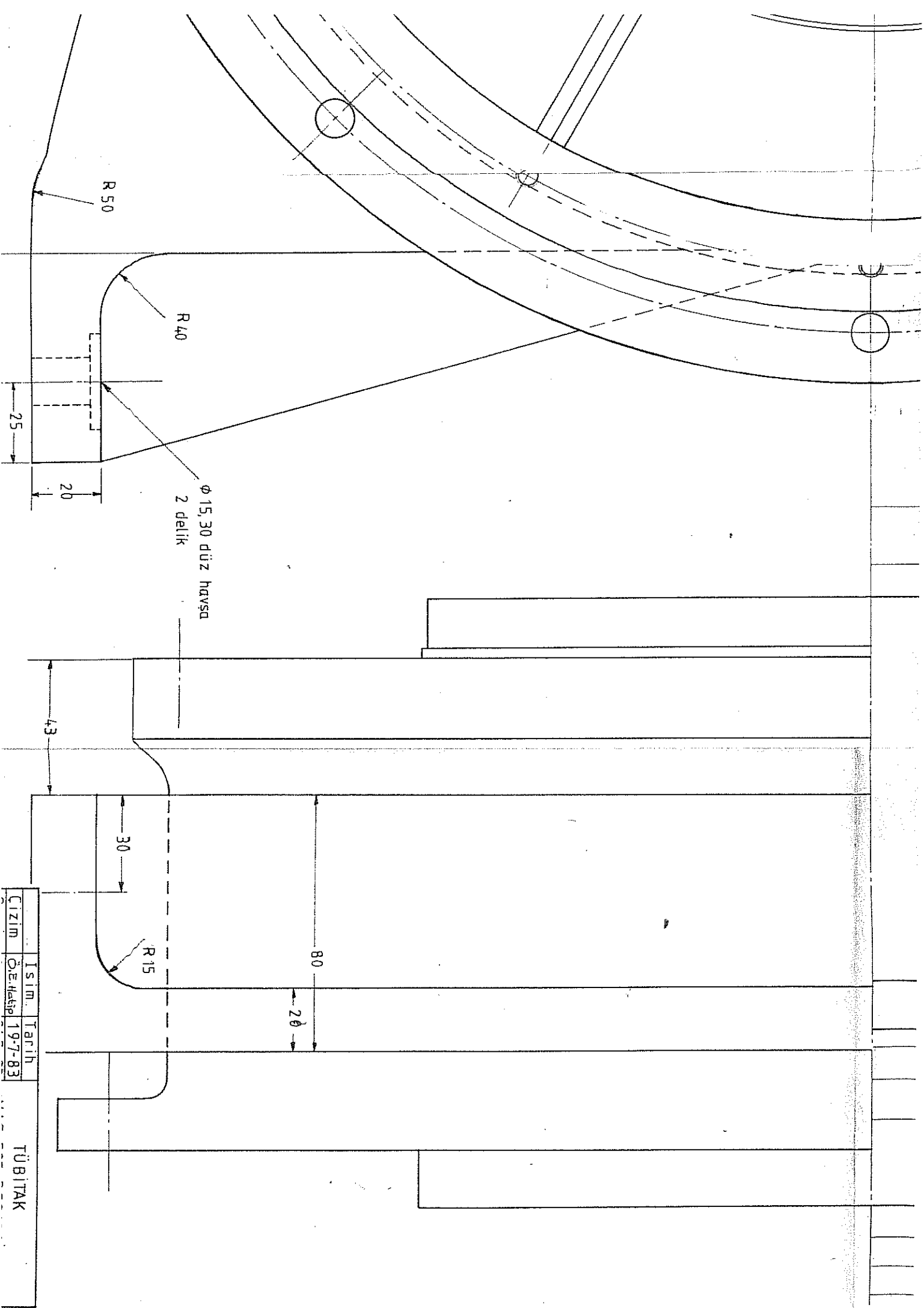
3

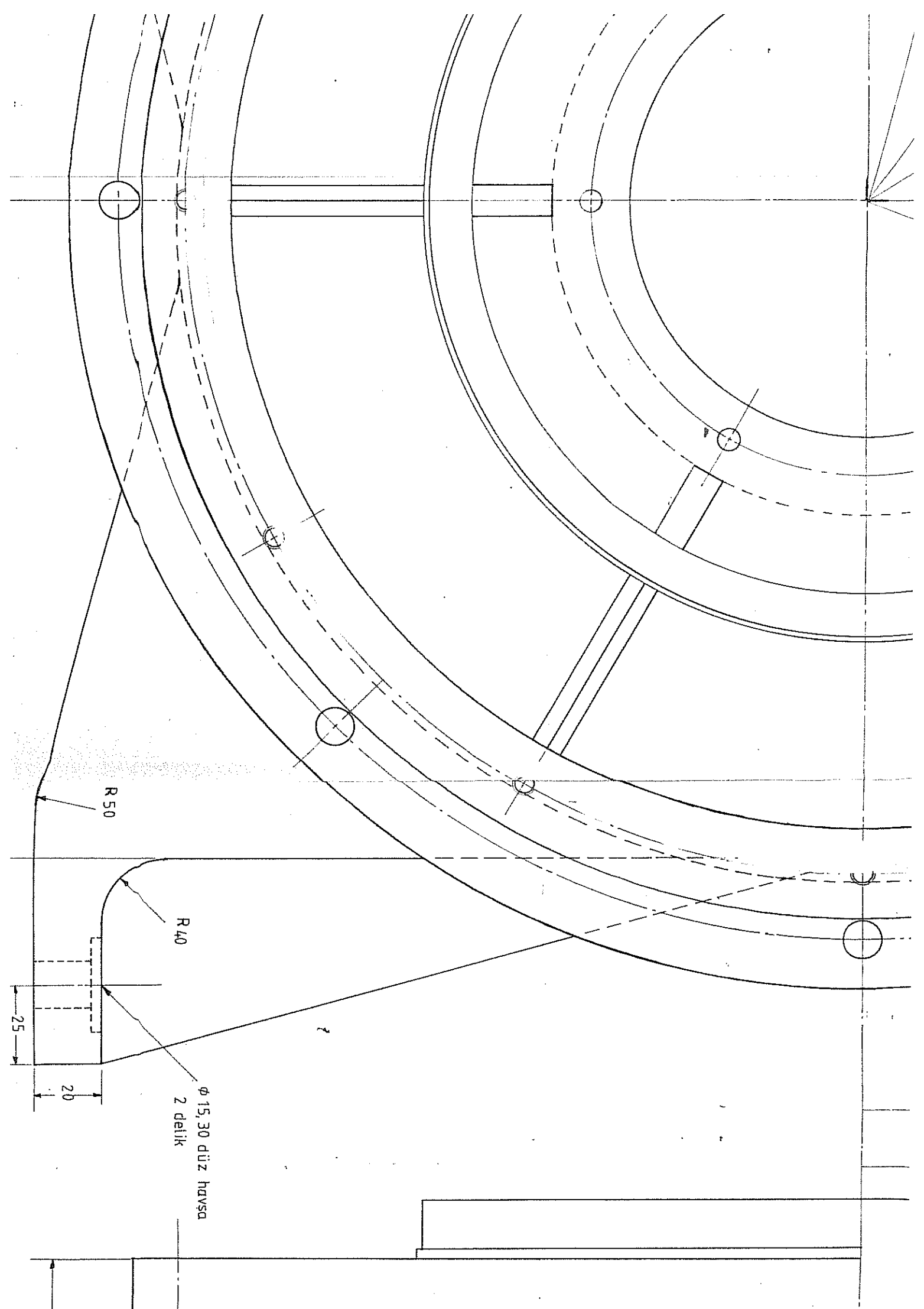
4

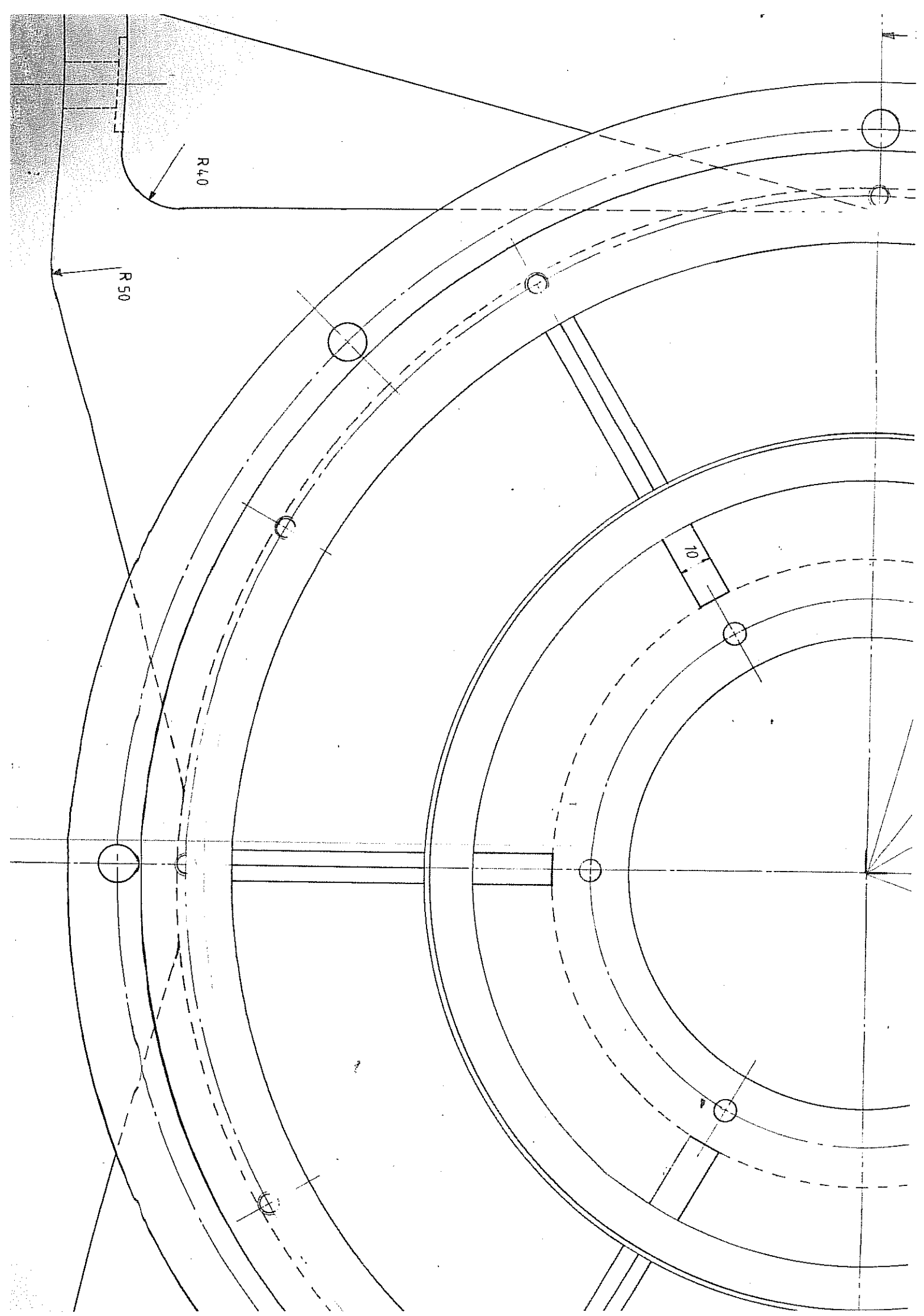
5

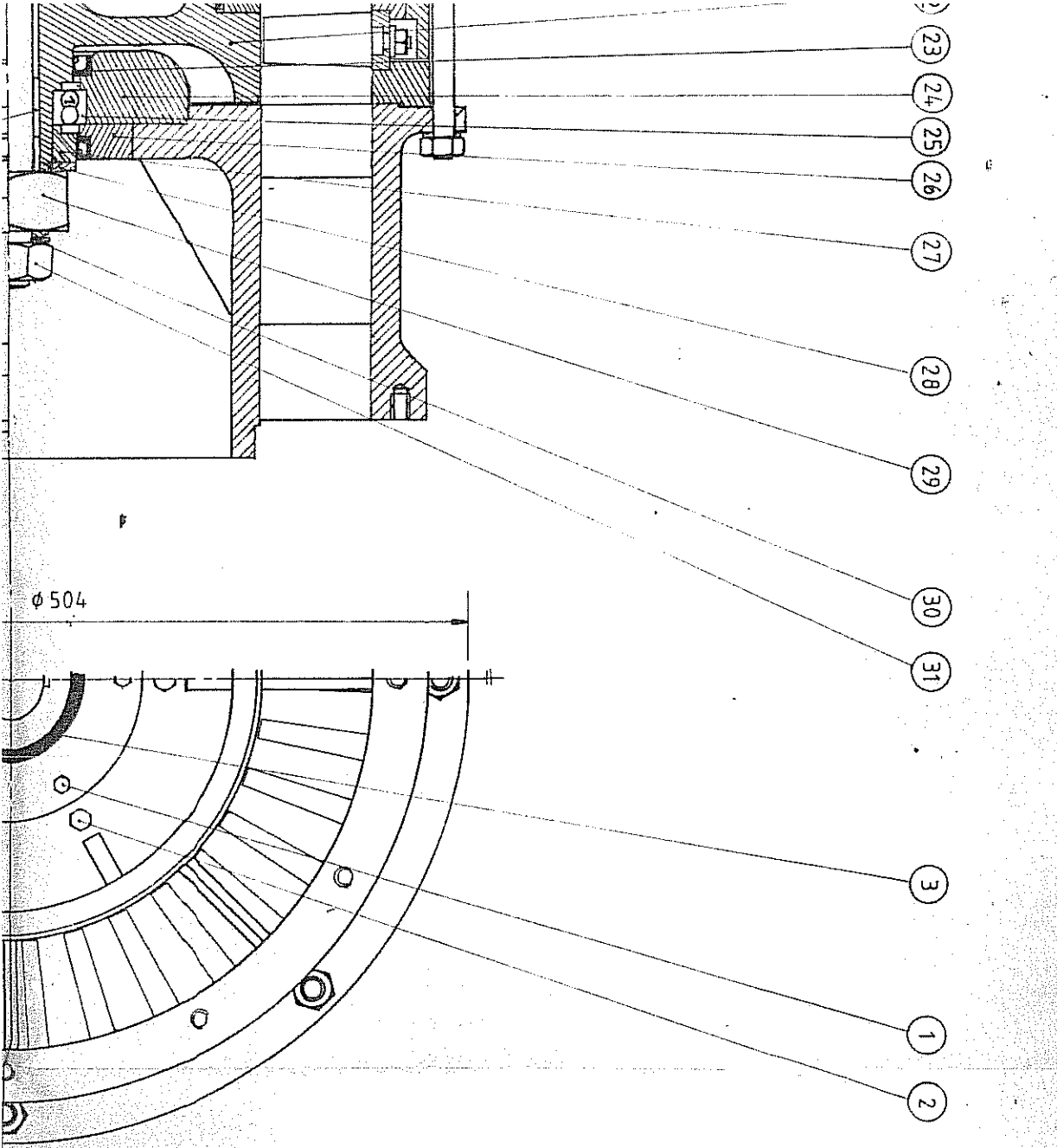
6

7

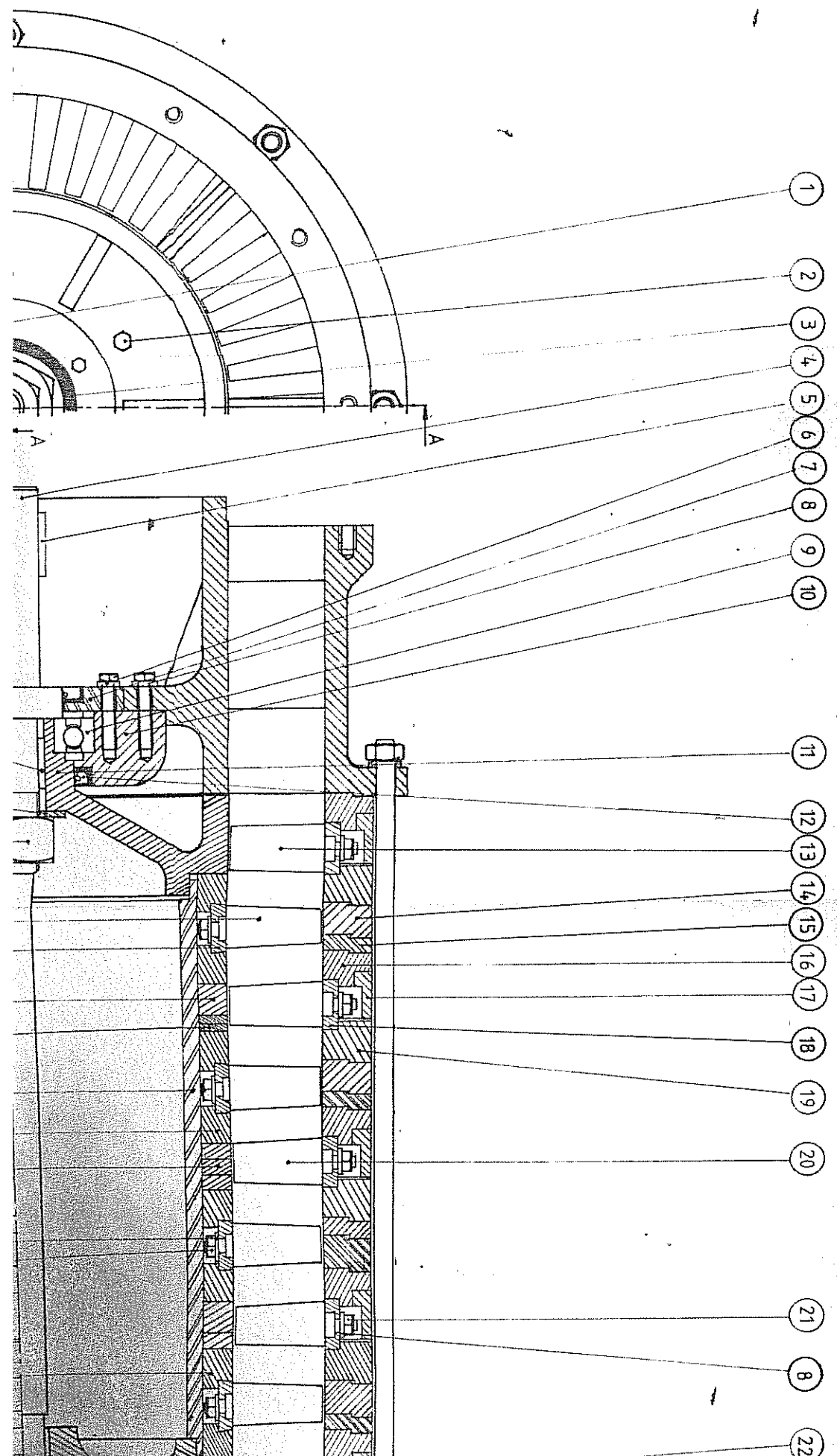


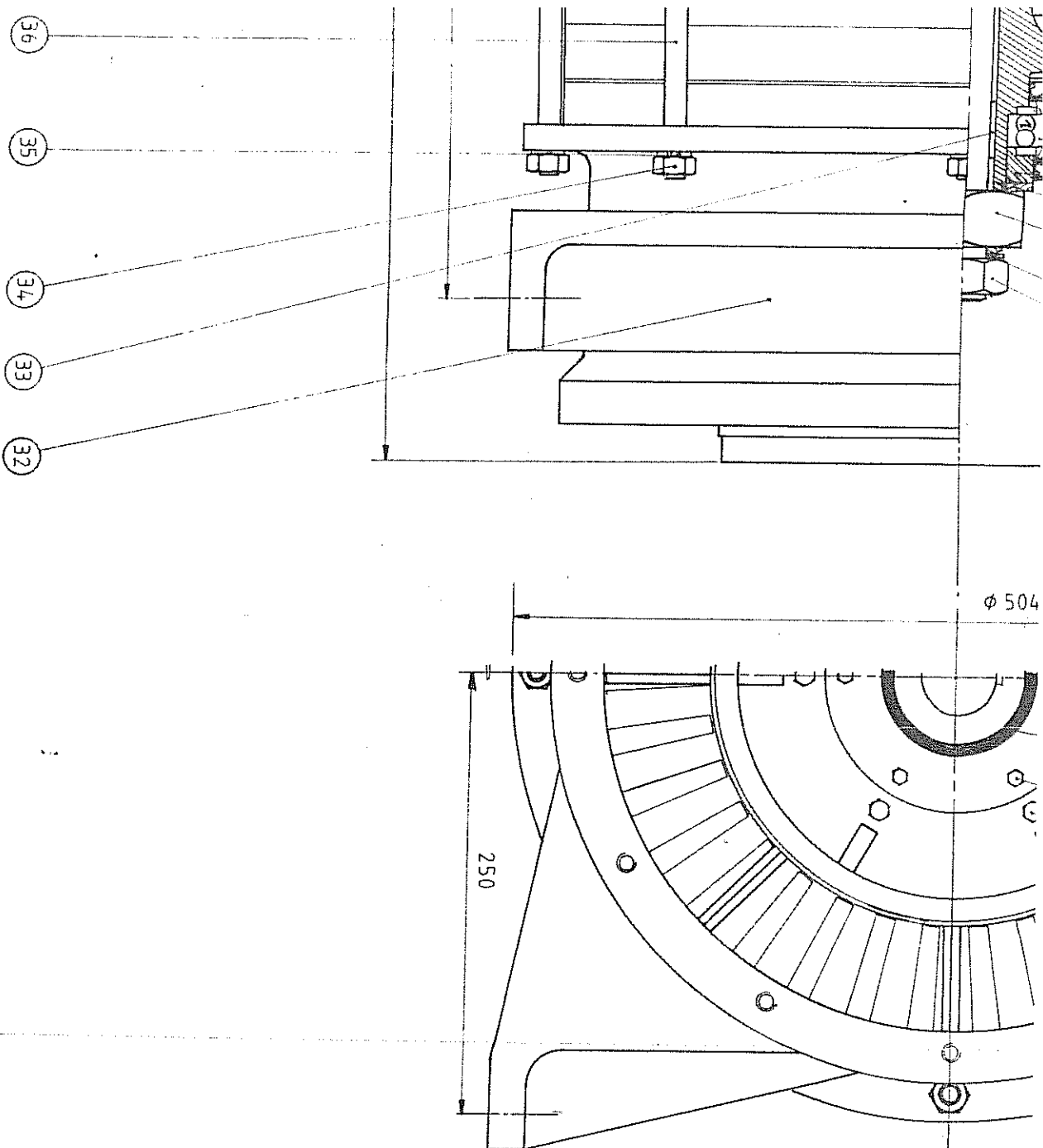






46	Giriş		2
45	Yaylı Halka	36 TS 79/16	1
44	Somun	M36	1
43	Rotor Kanatı	4 X 36	7
42	Rotor Kanat Bilezik	4	6-5
41	Rotor Kalın Ara Bilezik	2	6-2
40	Rotor İnce Ara Bilezik	2	6-1
39	Rotor Tamburu	1	11
38	Rotor Orta Aro Bilezik	4	6-3
37	Rotor Kademe Tutucu	8	6-4
36	Bağlama Çubuğu	8	10
35	Yaylı Halka	12 TS 79/16	16
34	Somun	M12	16
33	Kamış	8 X 8 X 32	2
32	Cıktı		1
31	Civata	M 24	1
30	Yaylı Halka	24 TS 79/16	1
29	Civata	M 42	1
28	Yaylı Halka	42 TS 79/16	1
27	Arka Yatak Burcu		1
26	Arka Yatak Arka Kap.		1
25	Arka Yatak Rulmanı	FAG 1209	1





NO	PARÇA İSMİ	STANDART	ADET	RESİM NO
	İsim	Tarih	TÜBİTAK	
35	Arka Yatak Arka Kapı	FAG 1209	1	
24	Arka Yatak Rulmanı		1	13-1
23	Keçe	SKT 47047	1	
22	Rotor Arka Göbeği		1	12
21	Somun	M8	334	
20	Stator Kanatçığı		4X37	9
19	Stator Kademe Çıkış Bilezik		5	8-4
18	Stator Kanatçık Bilezik		5	8-6
17	Stator Kapak Bilezik		5	8-5
16	Stator Kanatçık Giriş Bilezik		5	8-3
15	Stator İnce Arı Bilezik		4	8-1
14	Stator Kalın Arı Bilezik		4	8-2
13	Giriş Yönleştirmeye Kanatçık		34	9
12	Keçe	SKT 410227	1	
11	Rotor Ön Göbeği		1	5
10	Ön Yatak Arka Kapığı		1	3-2
9	Ön Yatak Rulmani	FAG 6212	1	
8	Yaylı Halka	8 TS 79/16	12	
7	Ön Yatak Ön Kapığı		1	3-1
6	Yaylı Halka	6 TS 79/16	12	
5	Kama	12 X 8 X 40	1	
4	Saff		1	4
3	Keçe	SKT 47225	2	
2	Civata	M8	12	
1	Civata	M6	12	

İsim: Tarih: TÜBİTAK  
 Cizim: 26-8-83  
 Onay: 26-8-83 MAG 597 PROJESİ

(46)

(33)

(45)

(44)

(43)

(42)

(41)

(40)

(39)

(38)

(8)

(21)

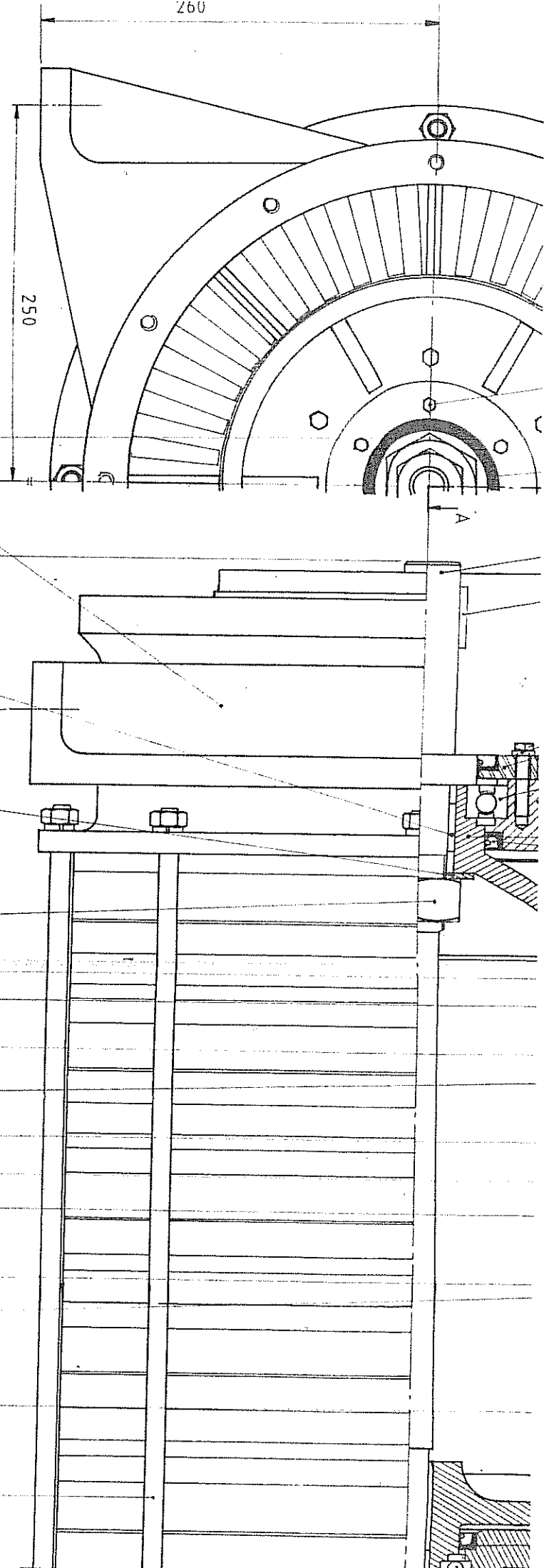
(37)

(36)

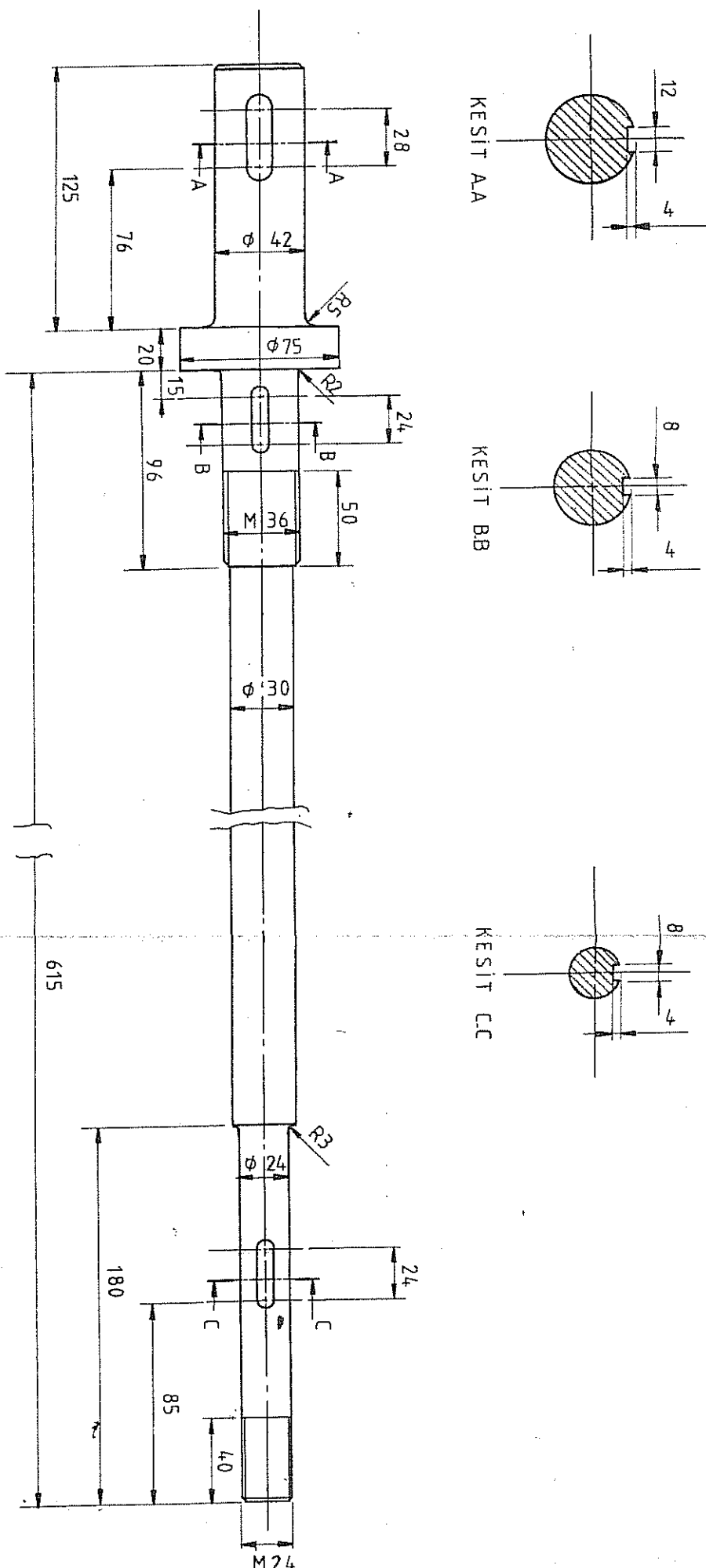
KESİT A-A

660

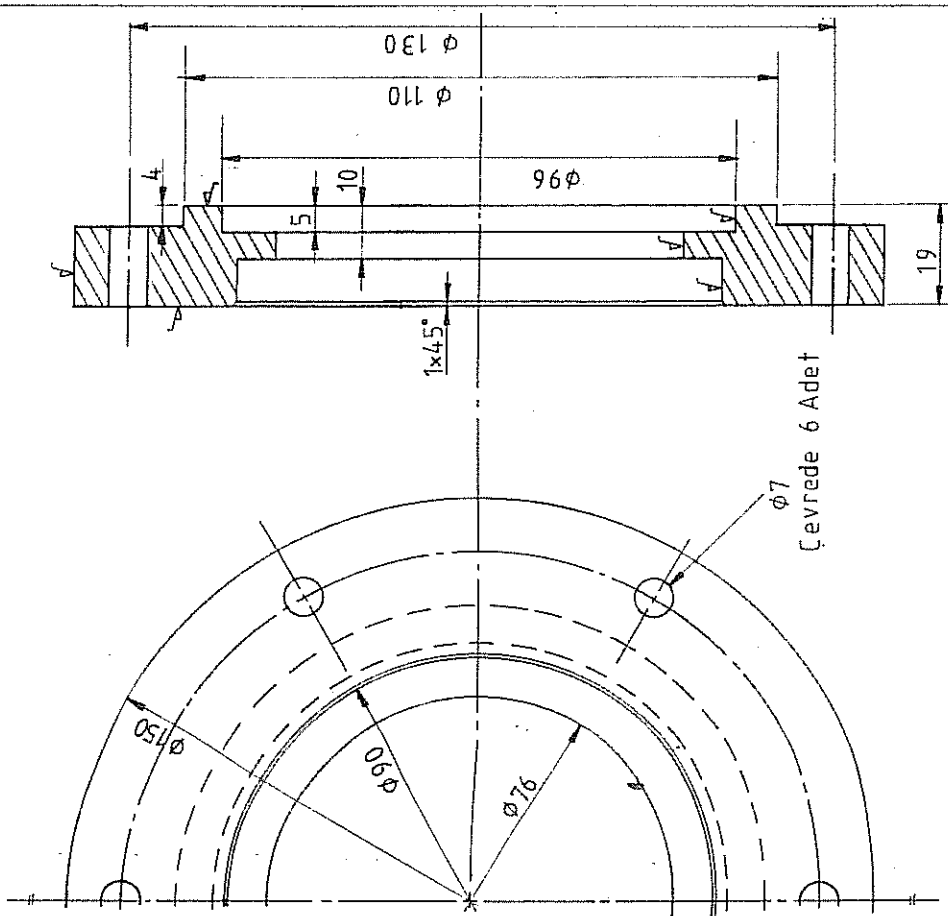
815



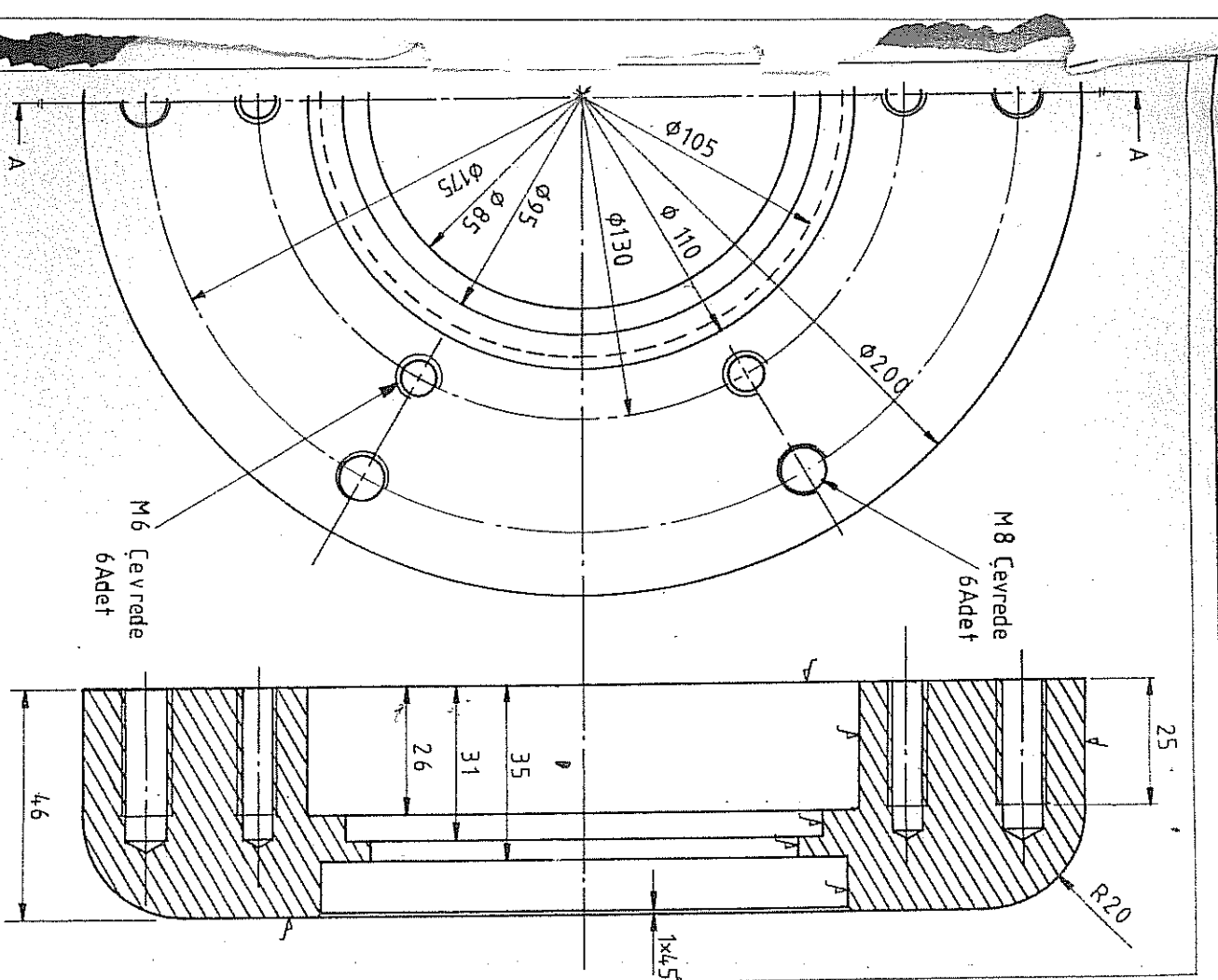
Kama A 12x8x40  
Kama B,C 8x8x32 TS 147/9



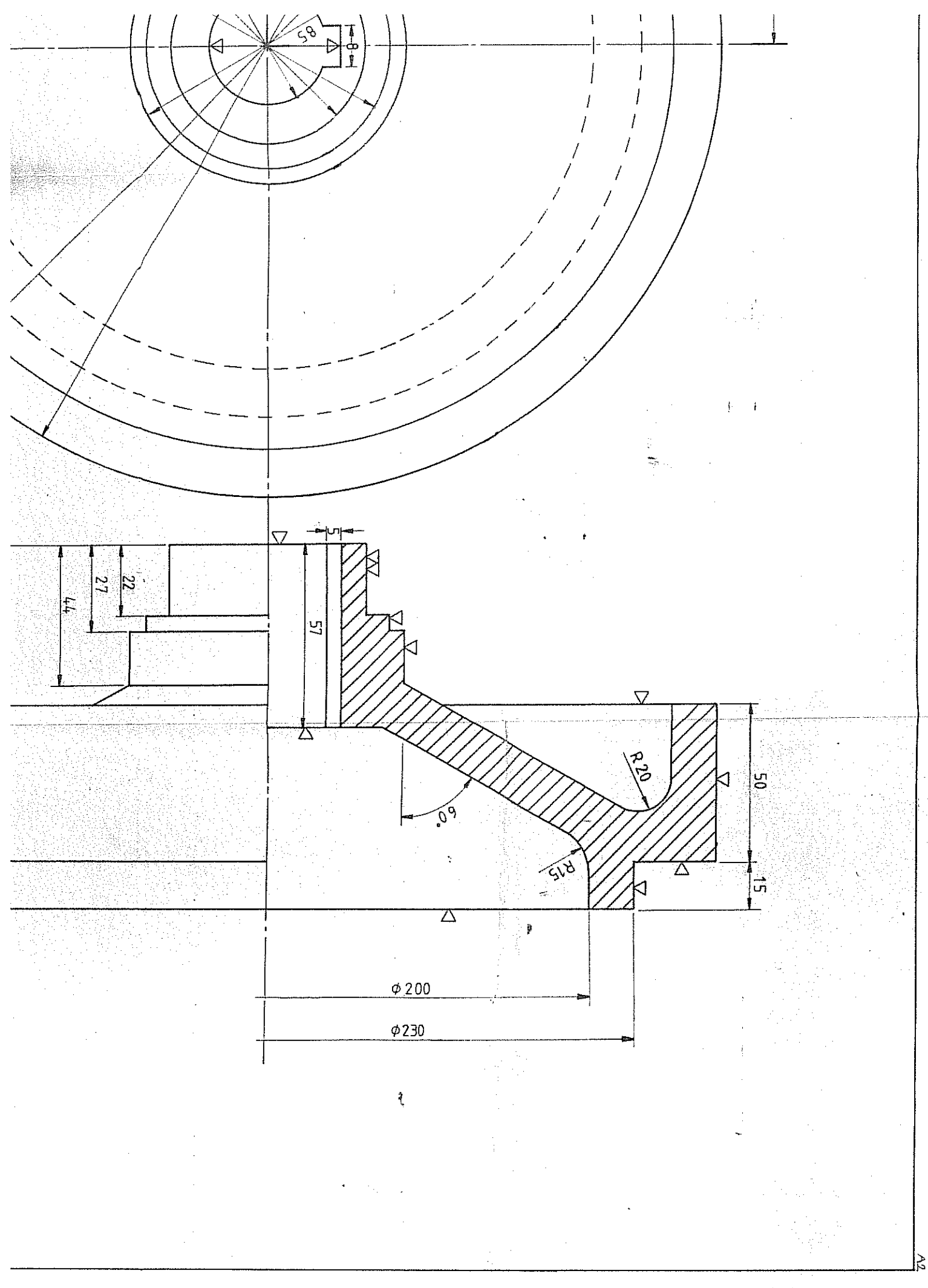
Ölçek:	EKSENEL AKIŞLI KOMPRESÖR		Resim No:
1:2	S E K Ü N D	A F T	4

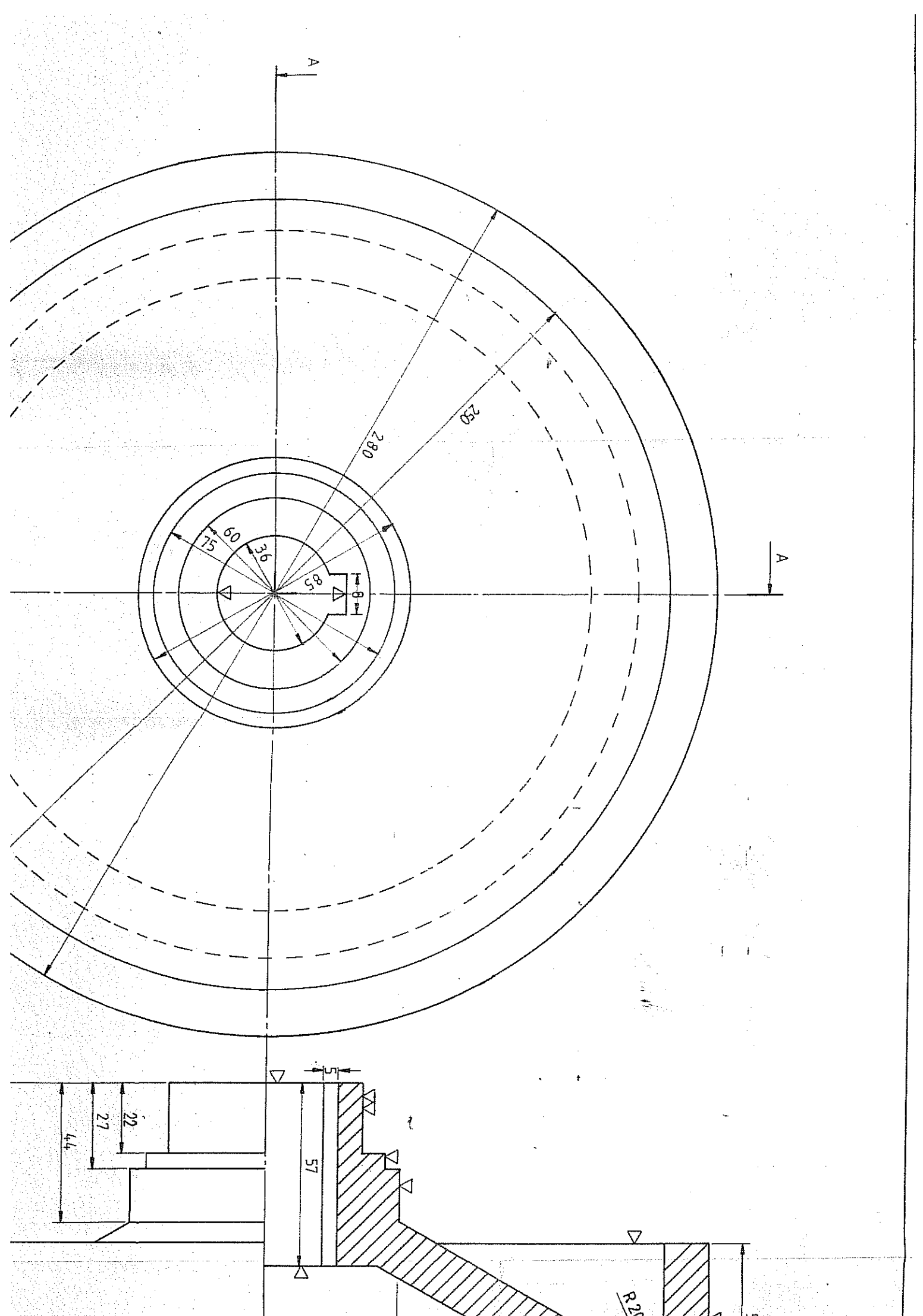


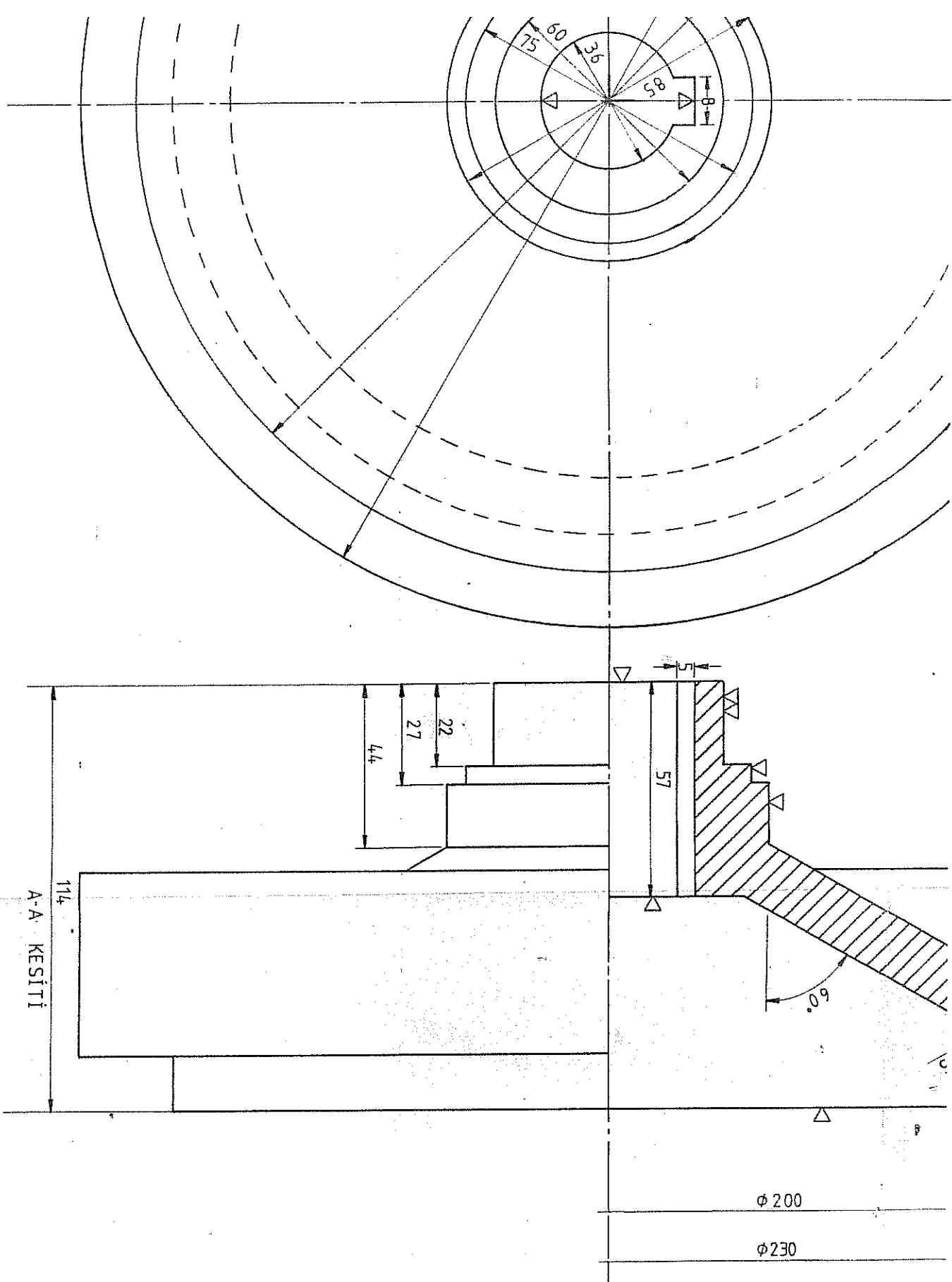
İsim	Tarih	TÜBİTAK	RESİM NO: 3-1
Cizim	Ö.E. Hacıoglu	23-8-83	MAG 597 PROJESİ
Onday	S.E. Kılıç	23-8-83	
EKSENEL AKIŞLI KOMPRESÖR	ÖN YATAK ÖN KAPAGI		



İsim	Tarih	TÜBİTAK
Cizim	Ö.E. Hacıoglu	23-8-83
Onday	S.E. Kılıç	23-8-83
EKSENEL AKIŞLI KOMPRESÖR		
		RESİM NO: 3-2





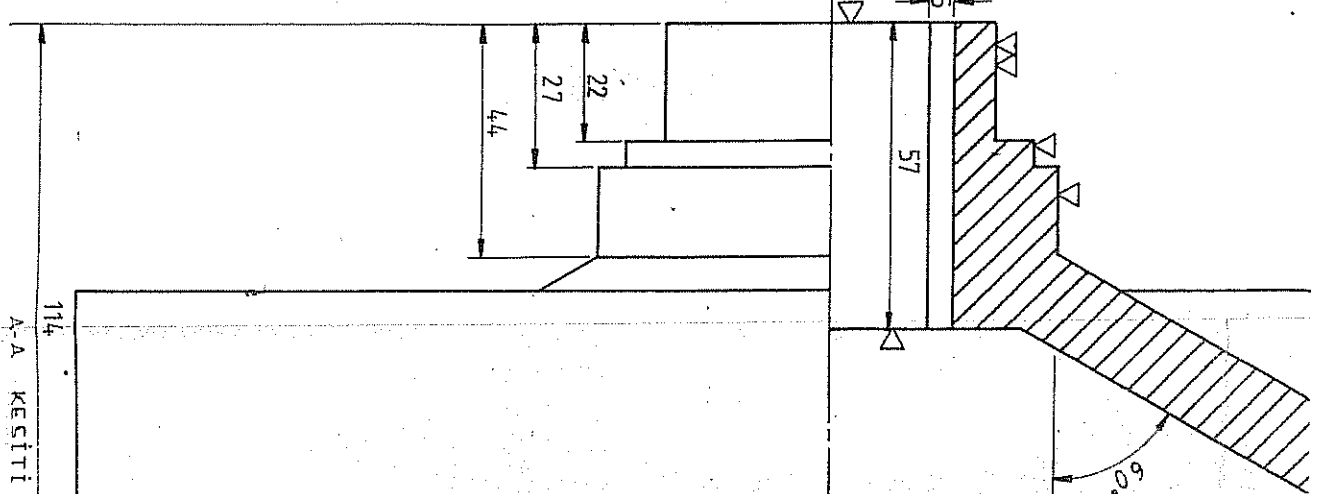
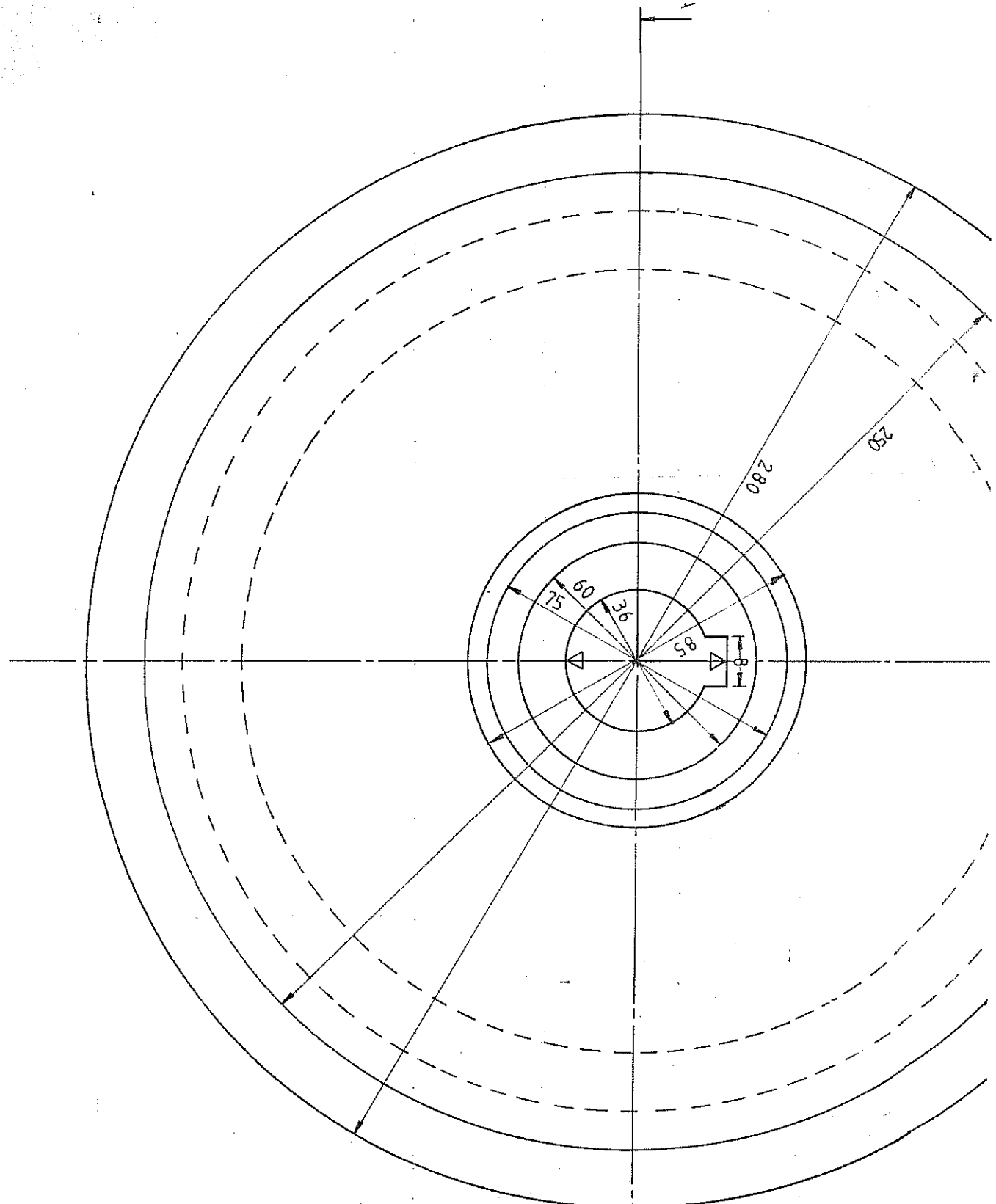


Ölüler mm.dır.

A-A KESİTİ

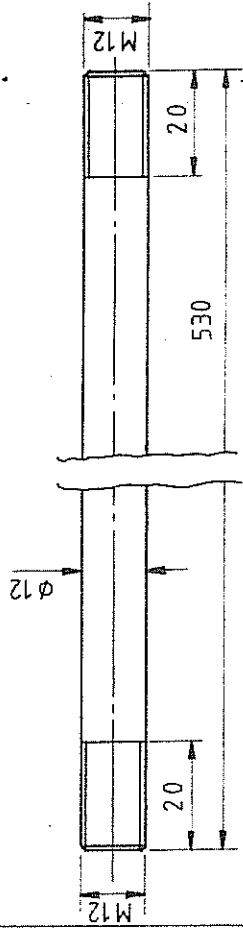
İsim	Tarih
Cizim Ö.E.HATİP	9-8-83
Onay S.M. HAKEM	19-8-83

TÜBİTAK  
MAG 597 PROJESİ



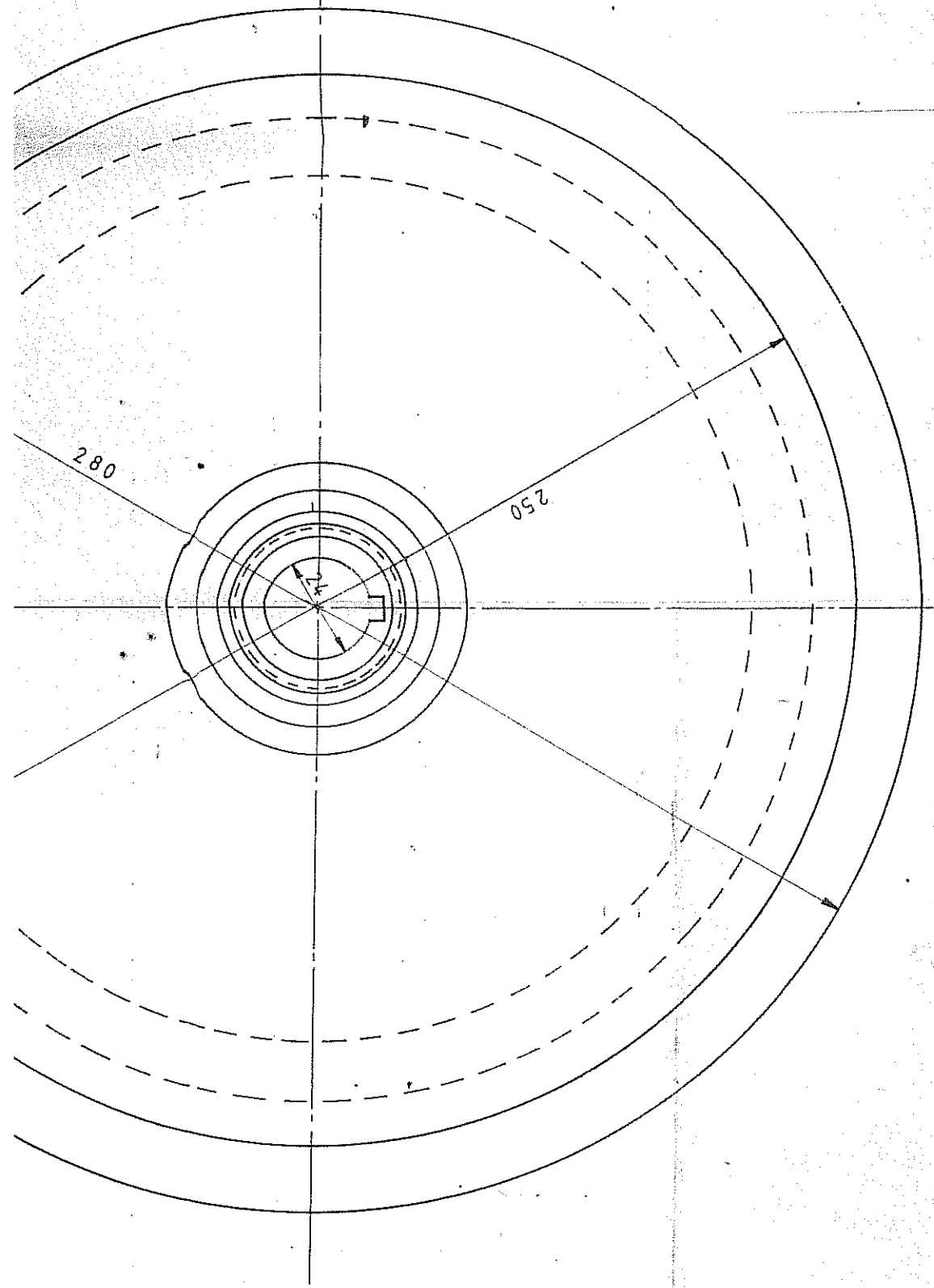
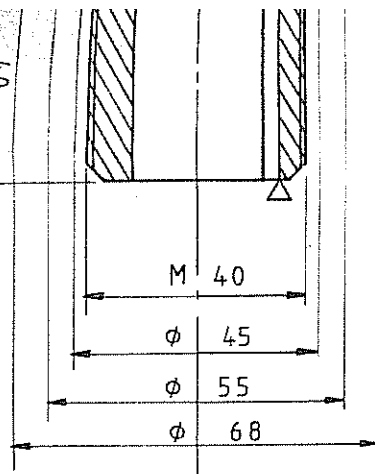
Ölçüler mm.din

114  
A-A KESİTİ



8 ADET ÜRETİLECEK

CİZİM	İSTİM	TARİH	TÜBİTAK
Ö.E. HETİP	17-8-83		MAG 597 PROJESİ
Ö.NAY	6.E.KULUC	17-8-83	
Ölçek:	EKSİNEL AKIŞLI KOMPRESÖR BAĞLAMA DEMİRİ		Resim No:10
1:1			



$\phi 230$

$\phi 200$

$\phi 70$

R 35

78

40

M 40

$\phi 45$

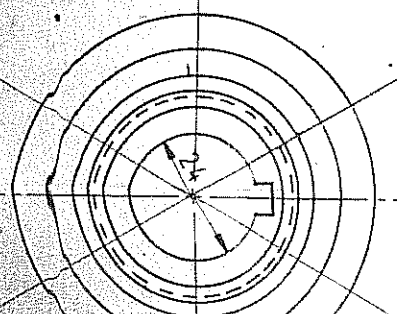
$\phi 55$

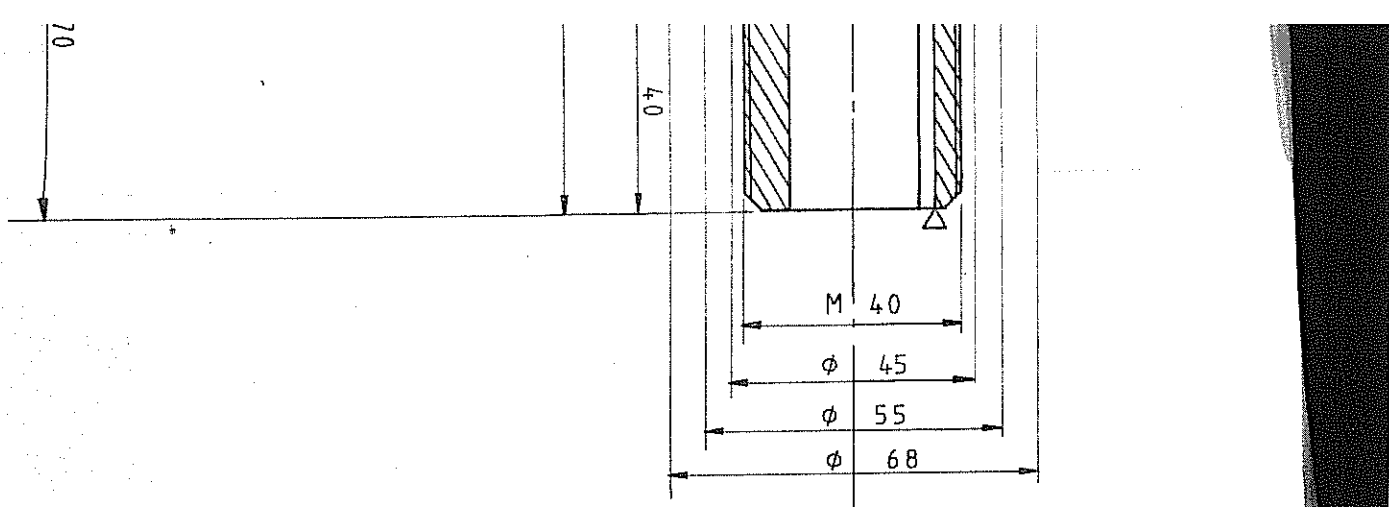
$\phi 68$

15

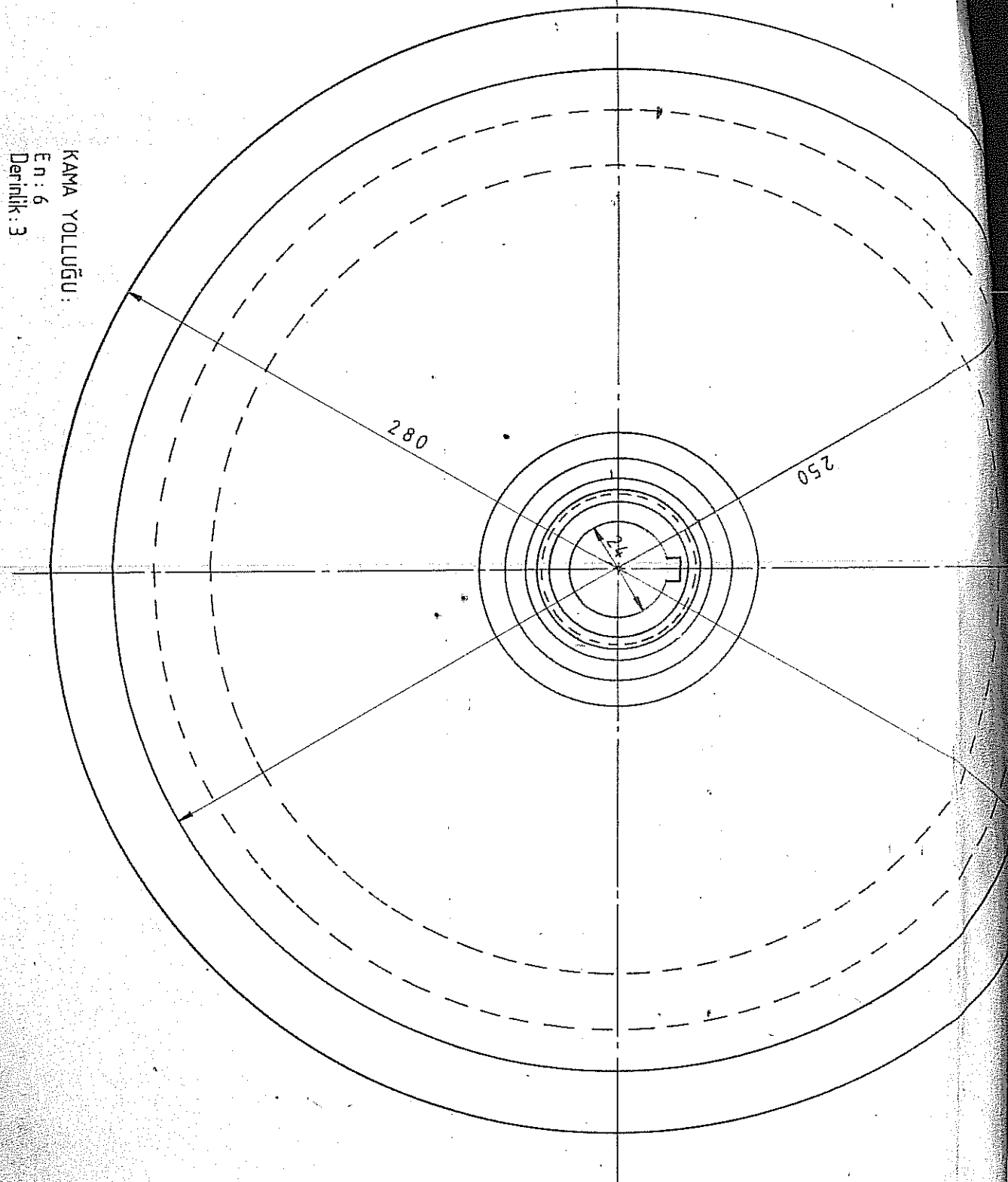
280

052

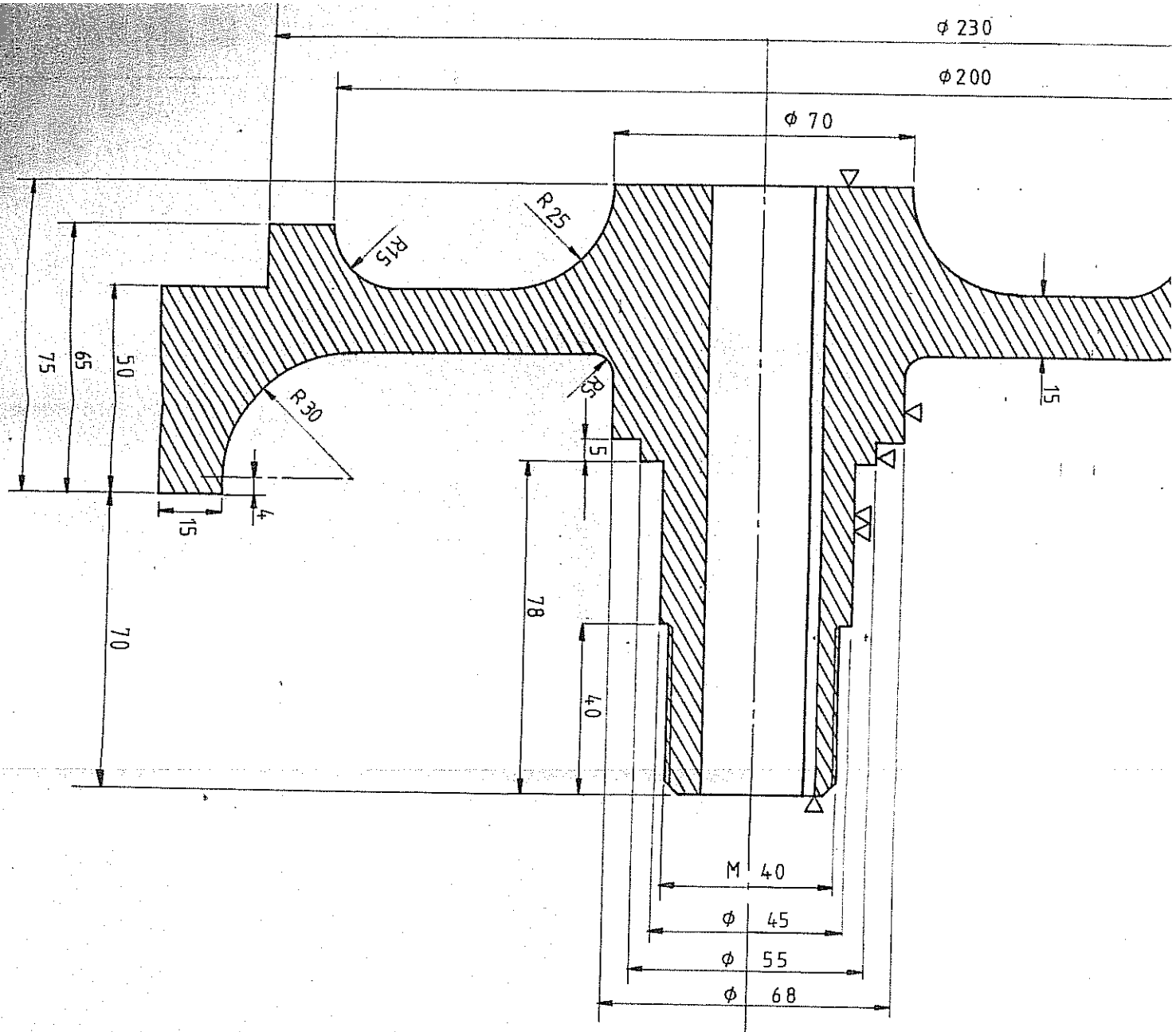




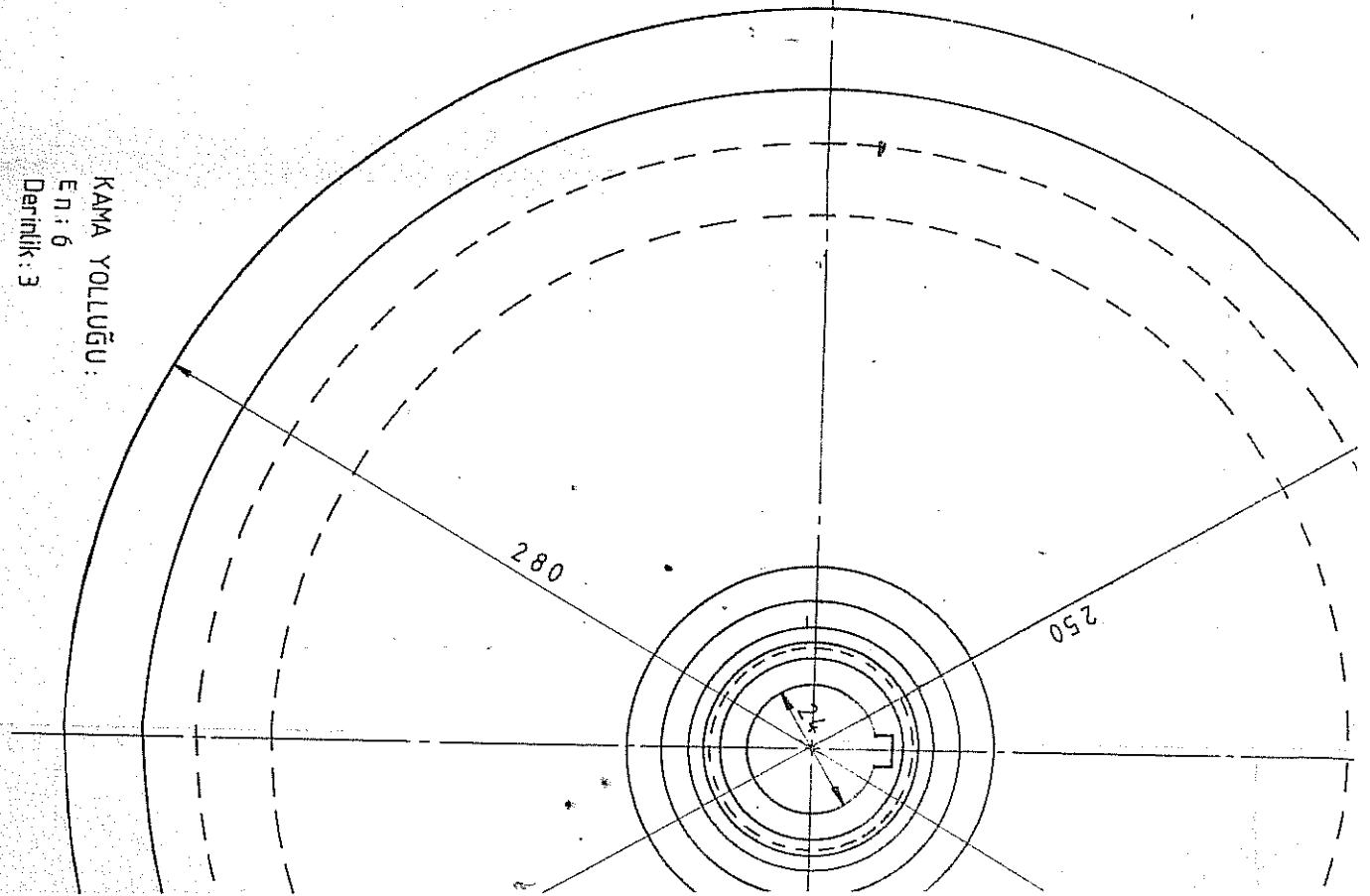
KAMA YOLLUĞU:  
En: 6  
Derinlik: 3

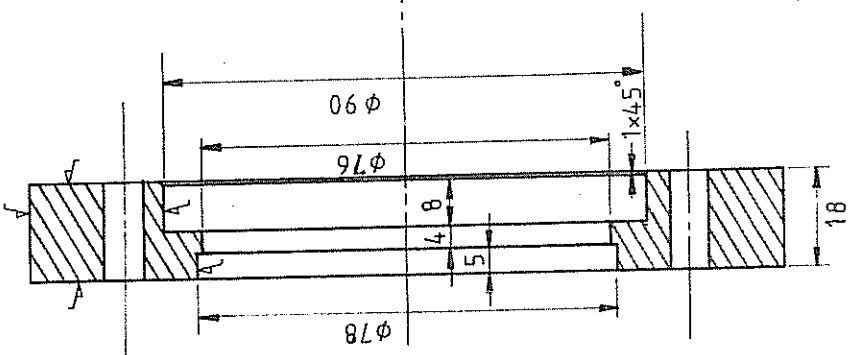
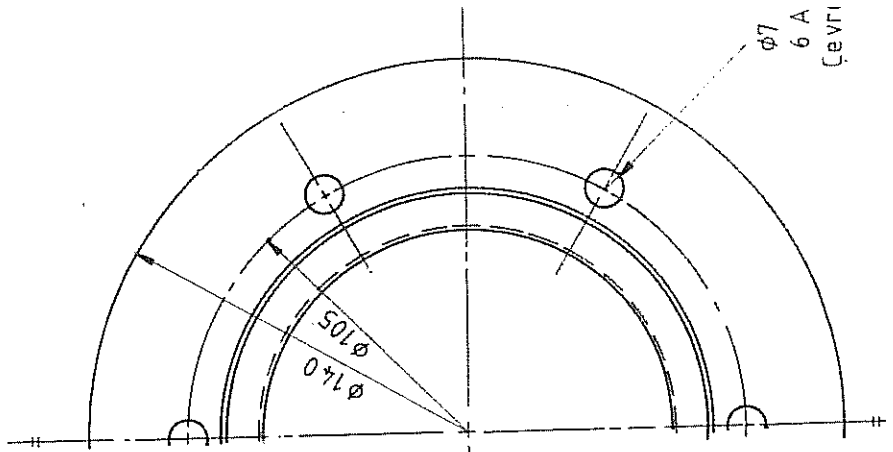


İsim	Tarih	TÜBİTAK
Cizim	Ö.E.Hatır	MAG 597 PROJESİ
Ongu		



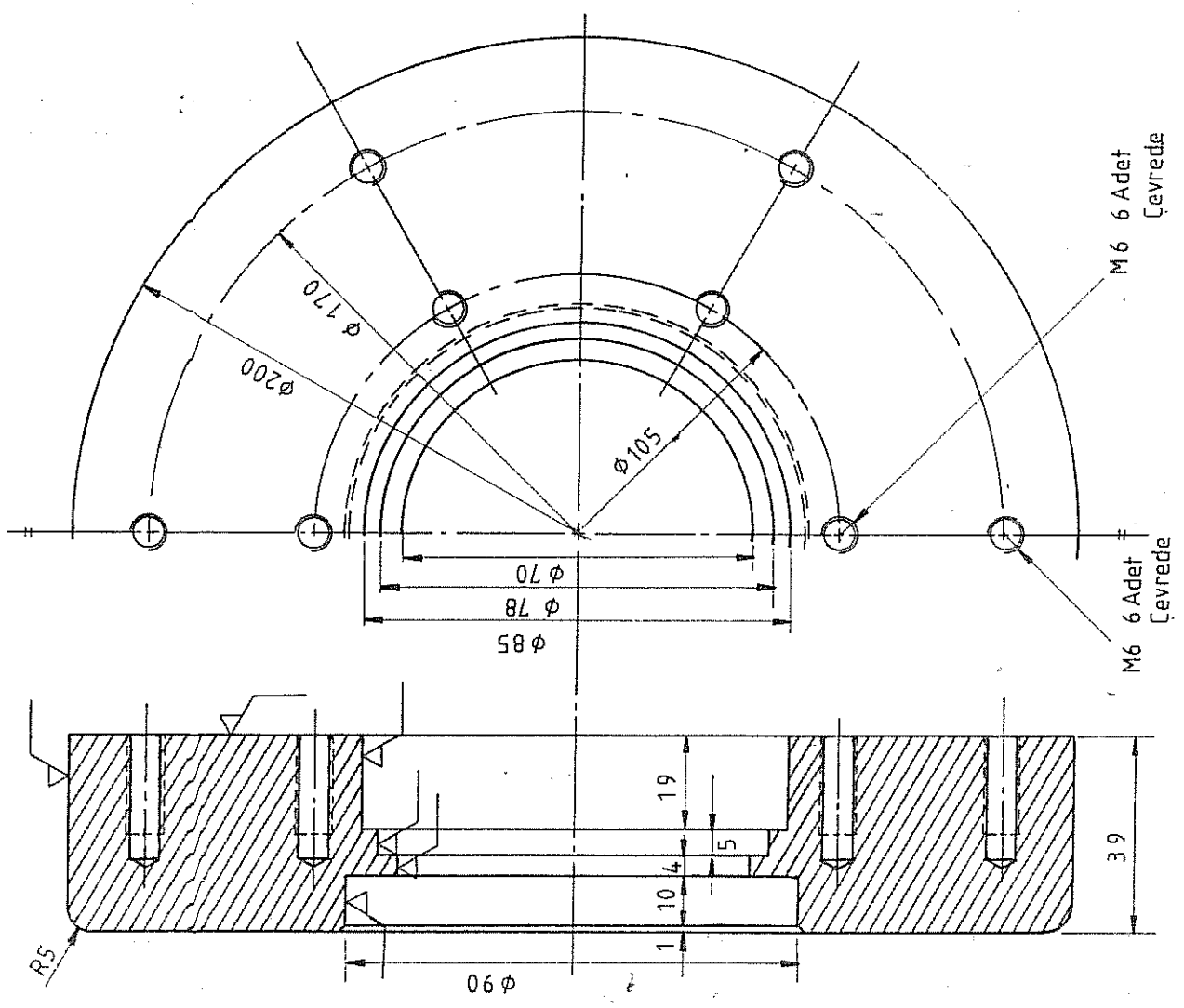
KAMA YOLUĞU:  
Eπ: 6  
Derinlik: 3

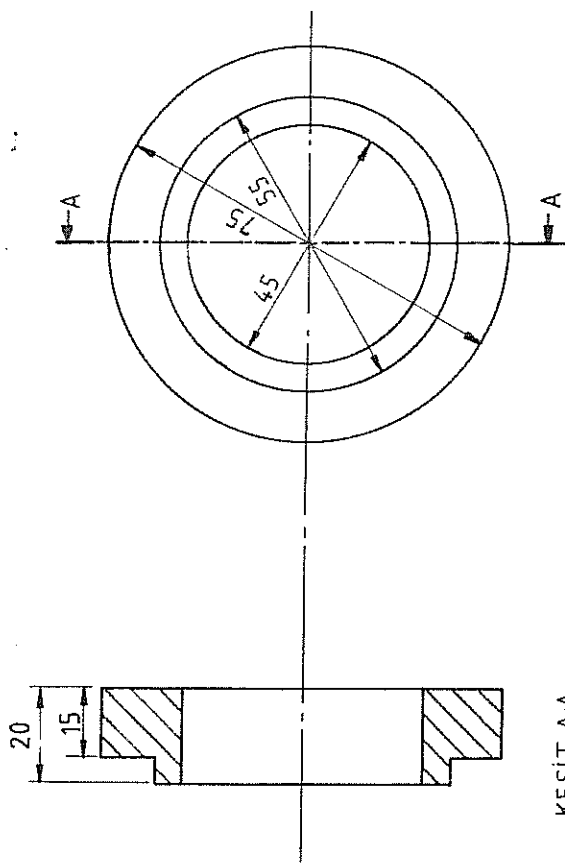




İsim	Tarîh	TÜBİTAK
Cizim	17-8-83	MAG 597 PROJESİ
Onay	19-8-83	
EKSENEL AKISLI KOMPRESÖR		
1:1	ARKA YATAK ARKA KAPĀI	RESİ
NO:13.1		

İsim	Tarîh	TÜBİTAK
Cizim	17-8-83	MAG 597 PROJESİ
Onay	19-8-83	
EKSENEL AKISLI KOMPRESÖR		
1:1	ARKA YATAK ÖN KAPĀI	RESİM
NO:13.1		





KESİT A-A

İSİM	TARİH	TÜBİTAK
Cizim Ö.E. Hatip	17-8-83	MAG 597 PROJESİ
Onay S.E. Küç	17-8-83	
Ölçek	EKSENEL AKIŞLI KOMPRESÖR	RESİM
1:1	ARKA YATAK BURCU	NO 13-3

$\phi 430$

$\phi 7,6$  Delik

$\phi 504$

$\phi 474$

$\phi 436$

$\phi 200$

$\phi 170$

-10 -18

R 20

50

86

$\phi 250$

R 15

M7 16 mm  
12 adet

2,5

A-A KESİTİ

15

170

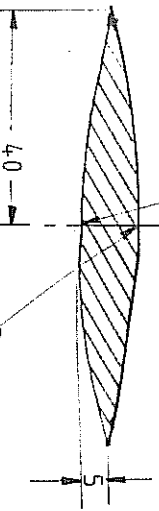
190

2

15

B-B KESİTİ  
İyüster 167,5 mm.

$\phi 12$ , 8 Dalık



$\phi 460$

$\phi 400$

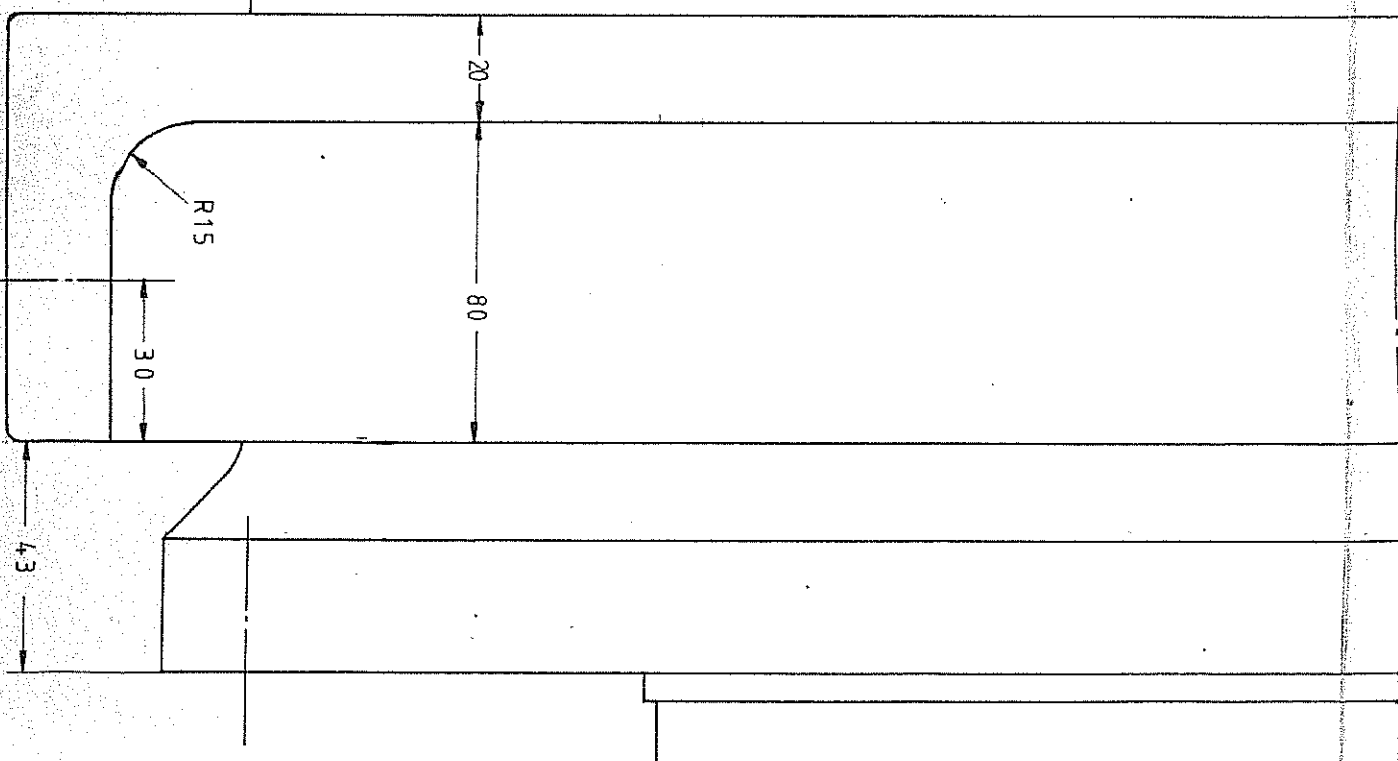
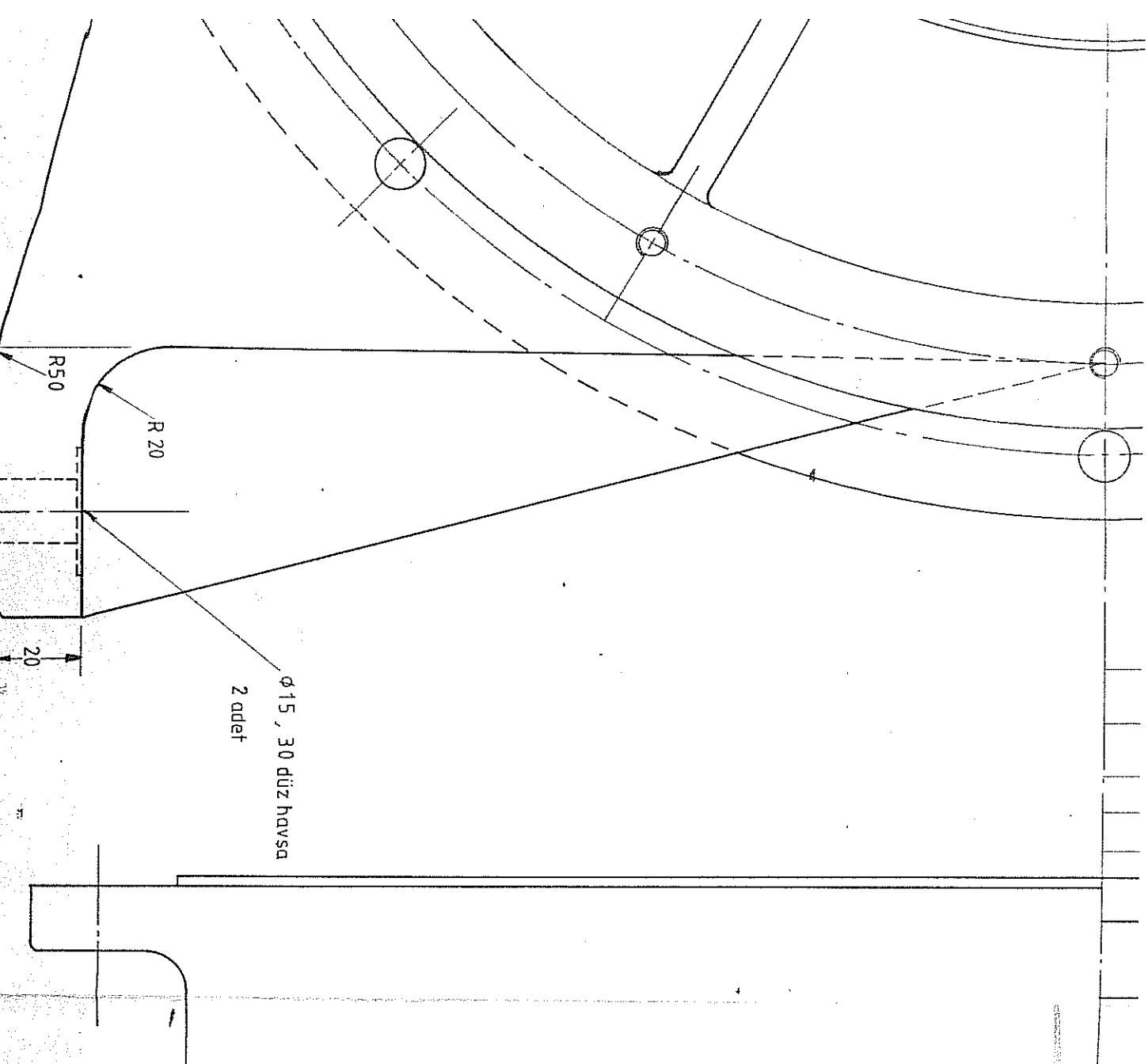
A

$\phi 280$

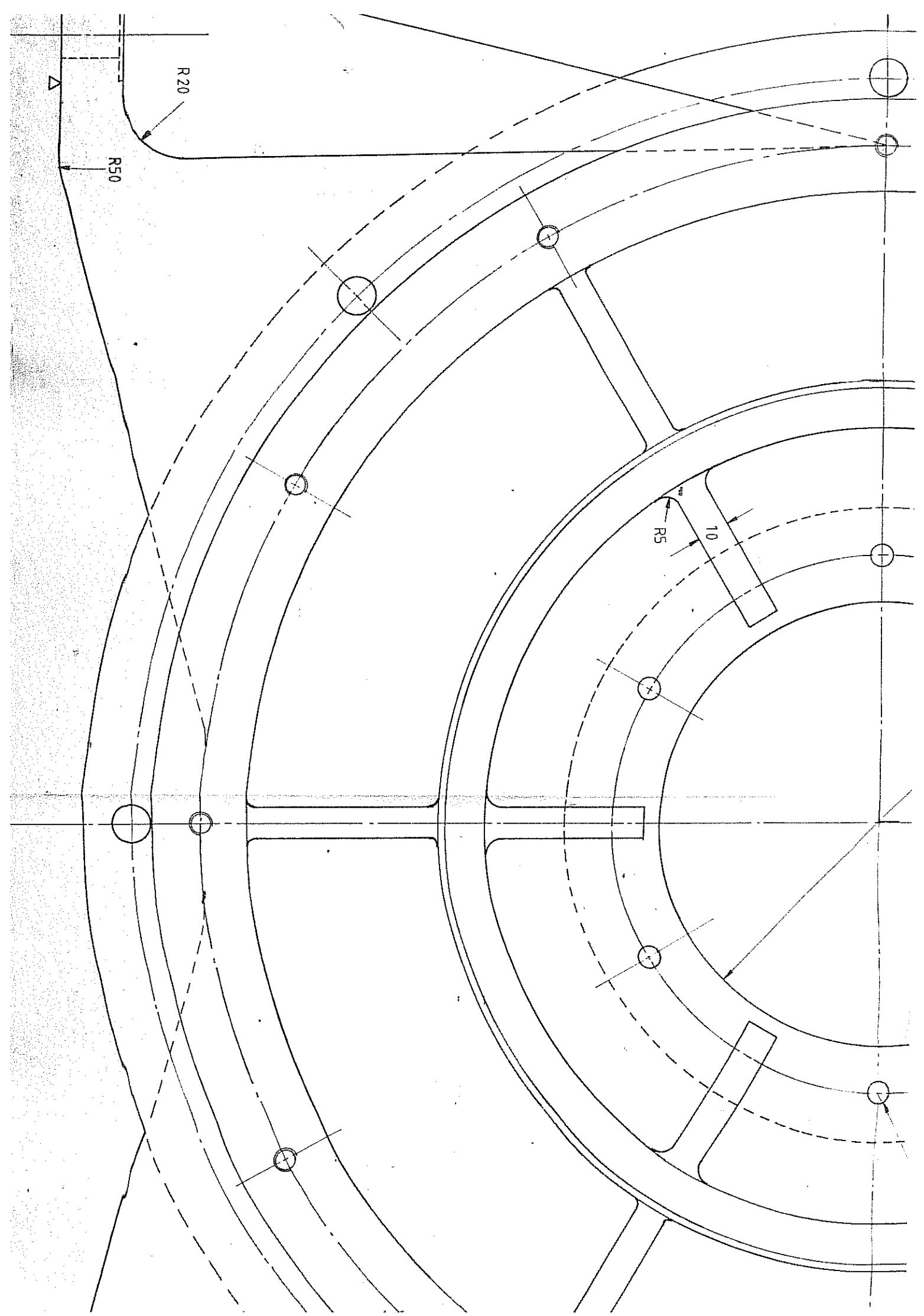
B  
B

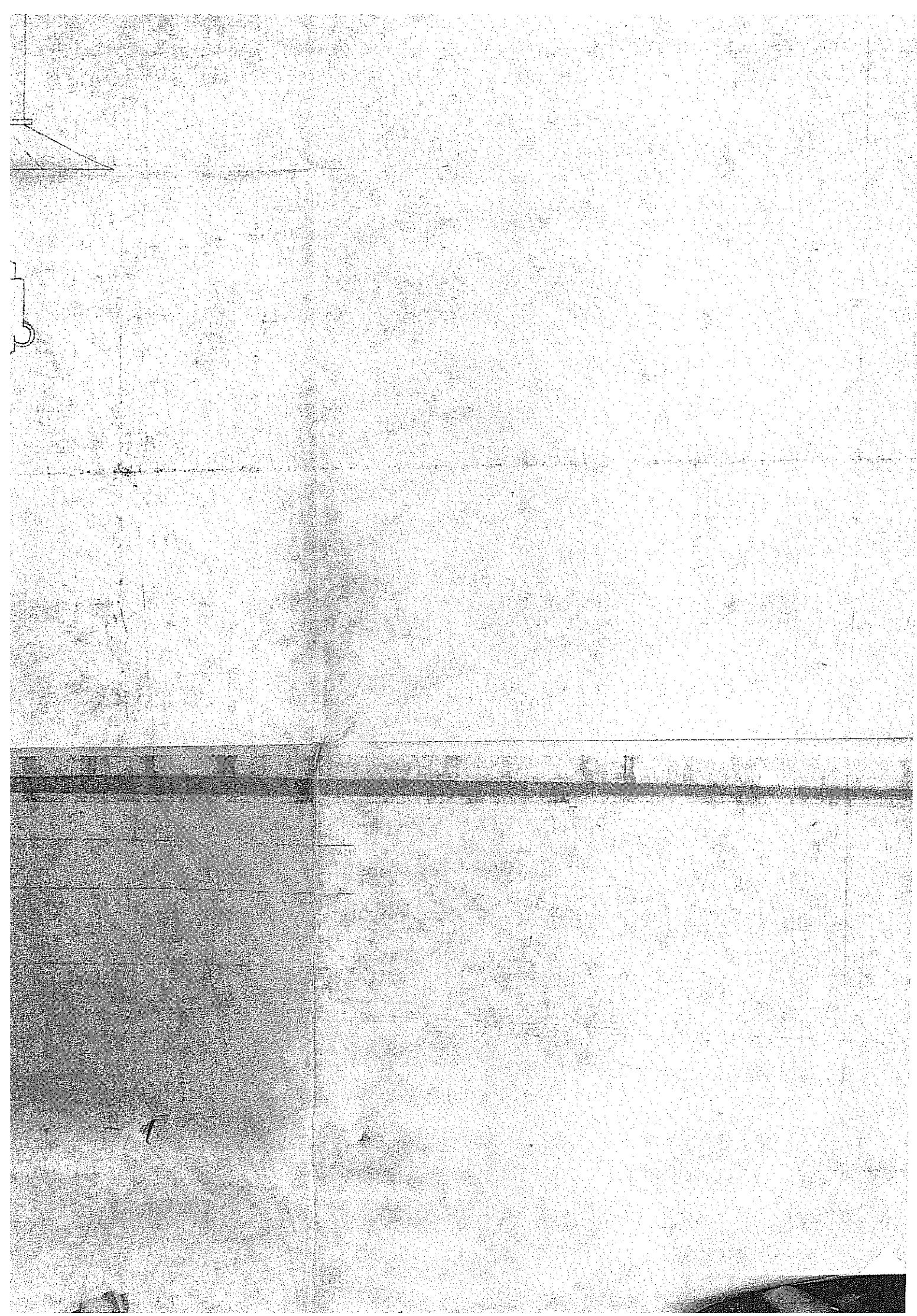
$\phi 50$

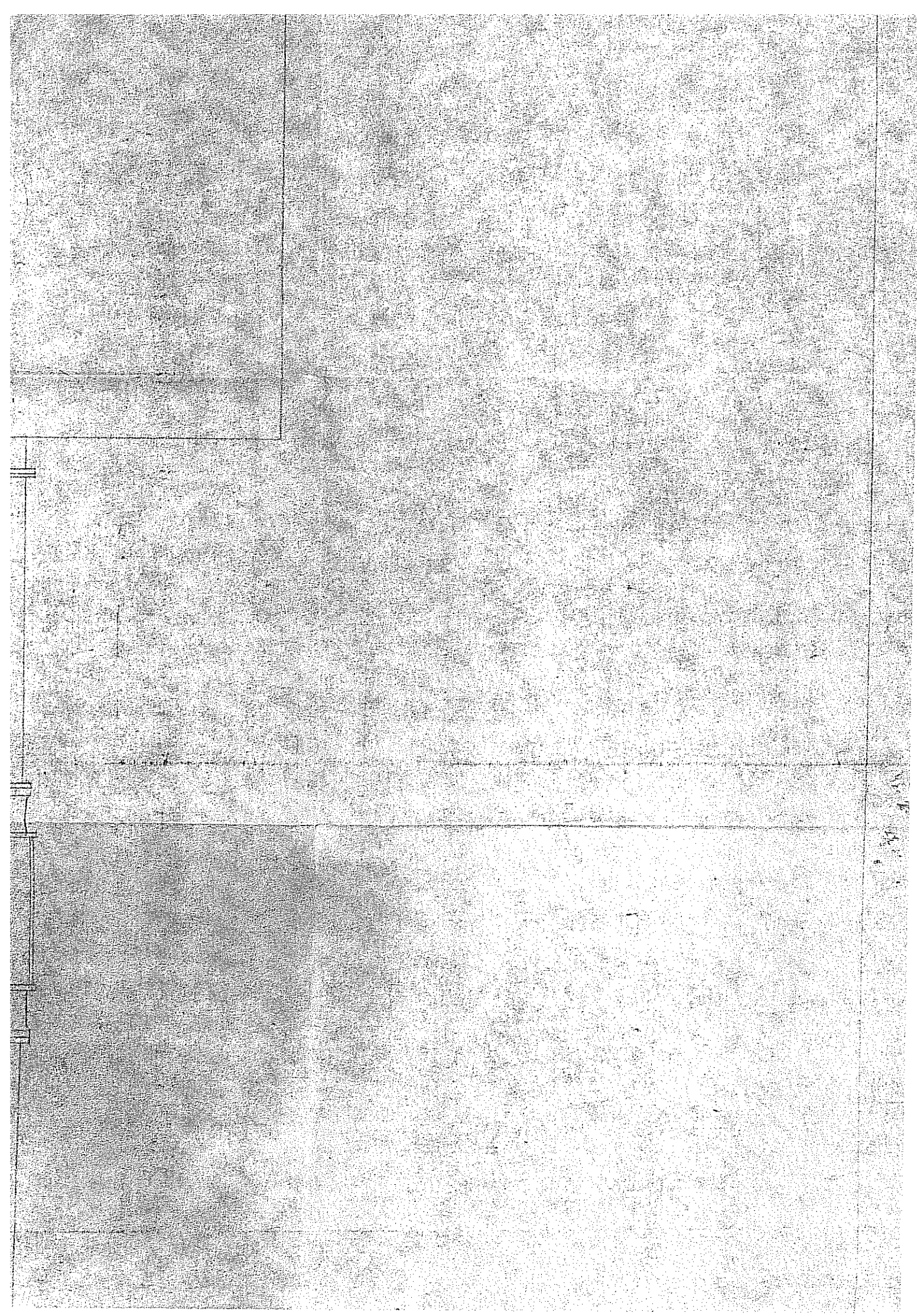
A



İSİM	TARİH
Cizim	5-8-83
TÜBİTAK	







KESM 15

